

2) MODELAGEM MATEMÁTICA



*Controle Automático I
Prof. Fernando Passold*

v1 (2022.1), v2 (2022.2)

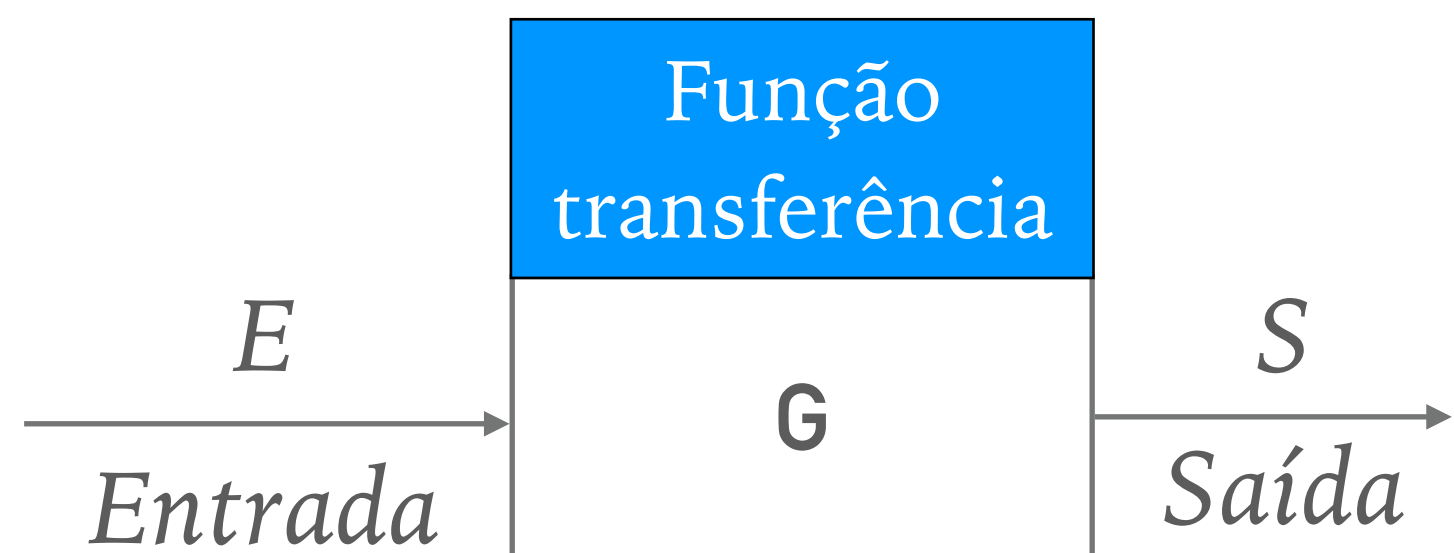
MODELOS MATEMÁTICOS DE SISTEMAS

Objetivo: Entender comportamento de um sistema

Definição:

Um modelo matemático de um sistema é uma réplica das relações entre a(s) entrada(s) e a(s) saída(s), descritas em expressões matemáticas.

$$\text{Função transferência, } G = \frac{S \text{ (Saída)}}{E \text{ (Entrada)}}$$



MODELOS MATEMÁTICOS DE SISTEMAS

Exemplo 1: Suponha um motor, a entrada do motor é uma tensão de V e a saída é a rotação ω do motor. Se sua função de transferência é: 500 RPM/Volts, qual será a velocidade de saída (em regime permanente) para este motor, quando a entrada é de 12 Volts?

Nota: Para muitos sistemas, existe uma **relação linear** razoável entre a entrada e a saída, ou seja, a saída é proporcional à entrada. Assim, se a entrada dobra, a saída também dobra, isto é, se a entrada é multiplicada por uma constante, a saída é multiplicada pela mesma constante.

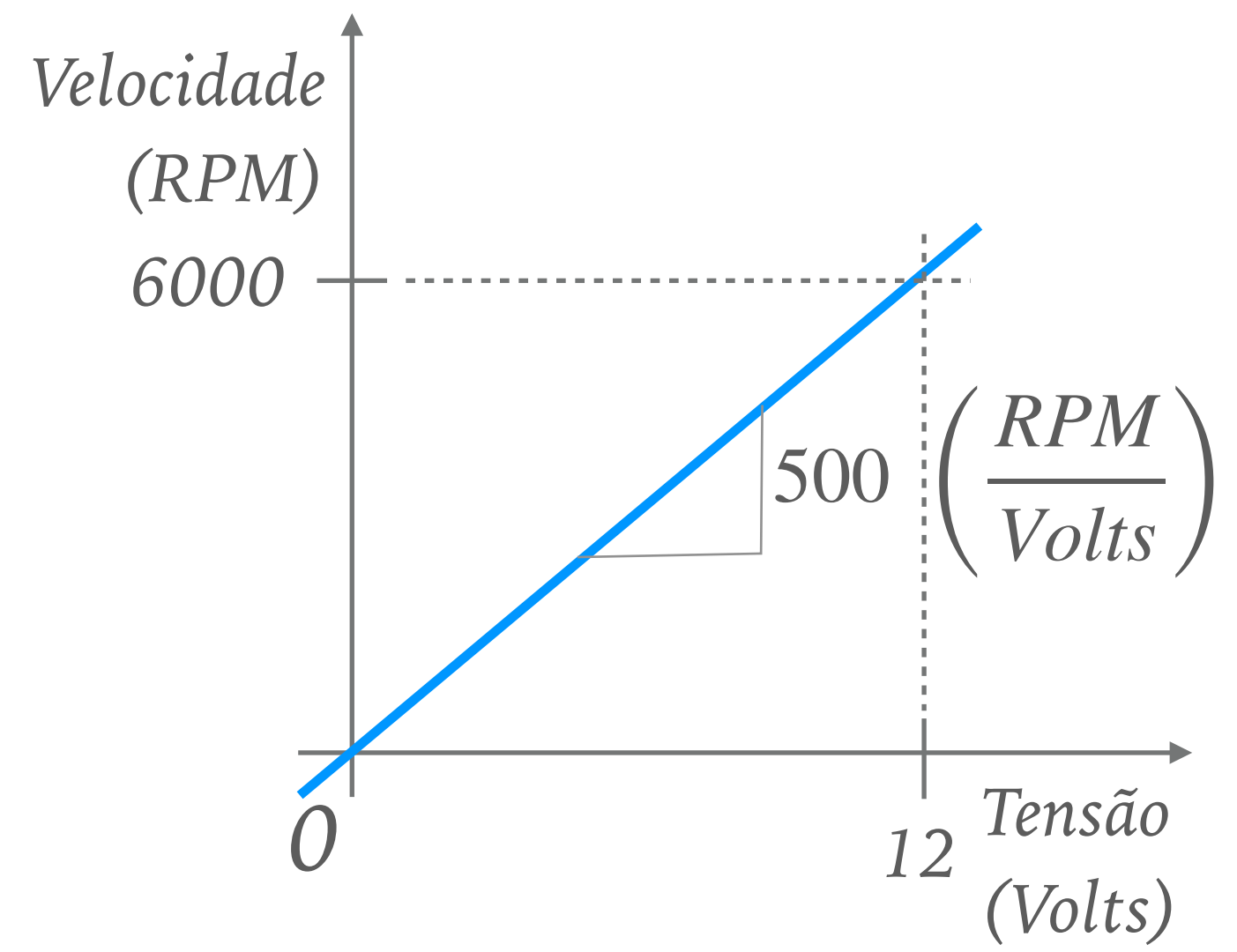
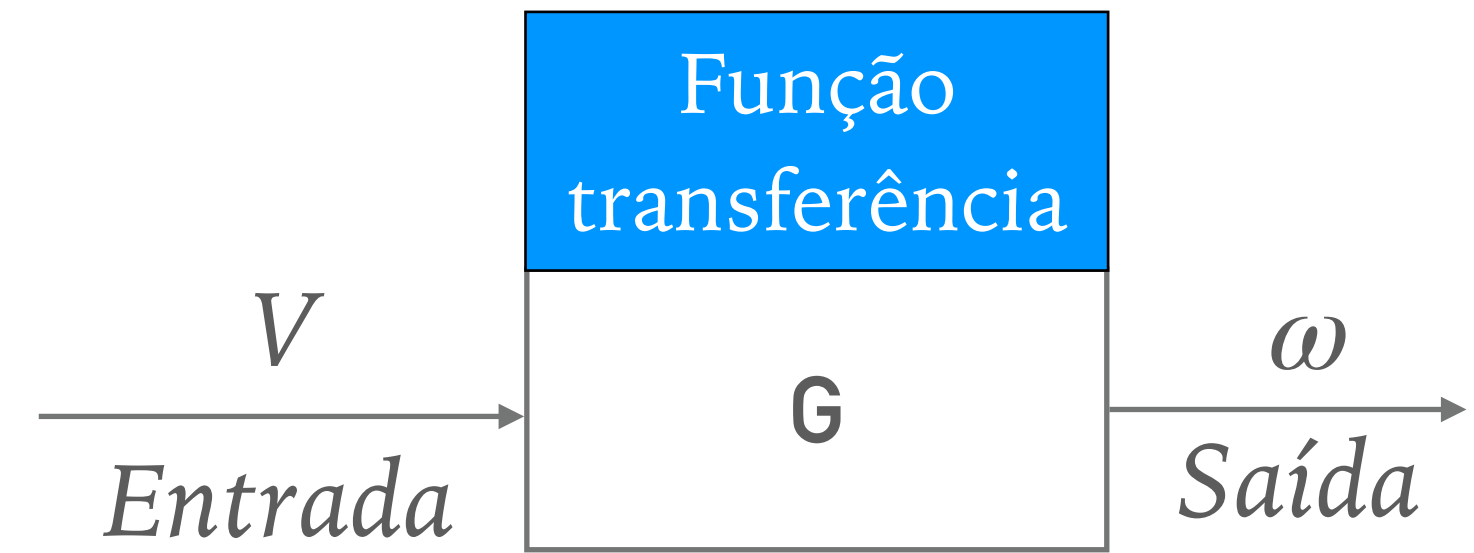
No caso do motor, se existe uma relação linear entre a saída (ω) e entrada (V), seu modelo matemático seria:

$$G = \frac{\omega}{V}$$

Solução:

$$\omega = G \cdot V$$

$$\omega = 500 \left(\frac{\text{RPM}}{\text{Volts}} \right) \cdot 12 \text{ (Volts)} = 6.000 \text{ (RPM)}$$



MODELOS MATEMÁTICOS DE SISTEMAS

Exemplo 2: Seja uma saída de áudio de uma placa micro-controlada. Através de medições em laboratório se percebeu que quando se programa certo registrador com o número 1, é gerada uma onda quadrada na frequência de 98,4 Hz e quando este registrador assume o valor 127, a freqüência de saída muda para 10.550 Hz. Levante uma função transferência que relate a frequência gerada × valor do registrador, e determine que valor deveria ser programado neste registrador para gerar uma saída em 440 Hz? Na prática se deseja usar um comando como:

sound (valor_registrador, duração).

Solução:

A função transferência aqui é linear, isto é, se faz necessário levantar a equação da reta para este problema:

Equação da reta: $y = ax + b$

Montando um sistema de equações:

$$(1) \quad 10500 = 127a + b$$

$$(2) \quad 98,4 = 1a + b$$

Resolvendo:

Fazendo: (1) – (2), teremos:

$$127a + b = 10550$$

$$-a - b = -98,4$$

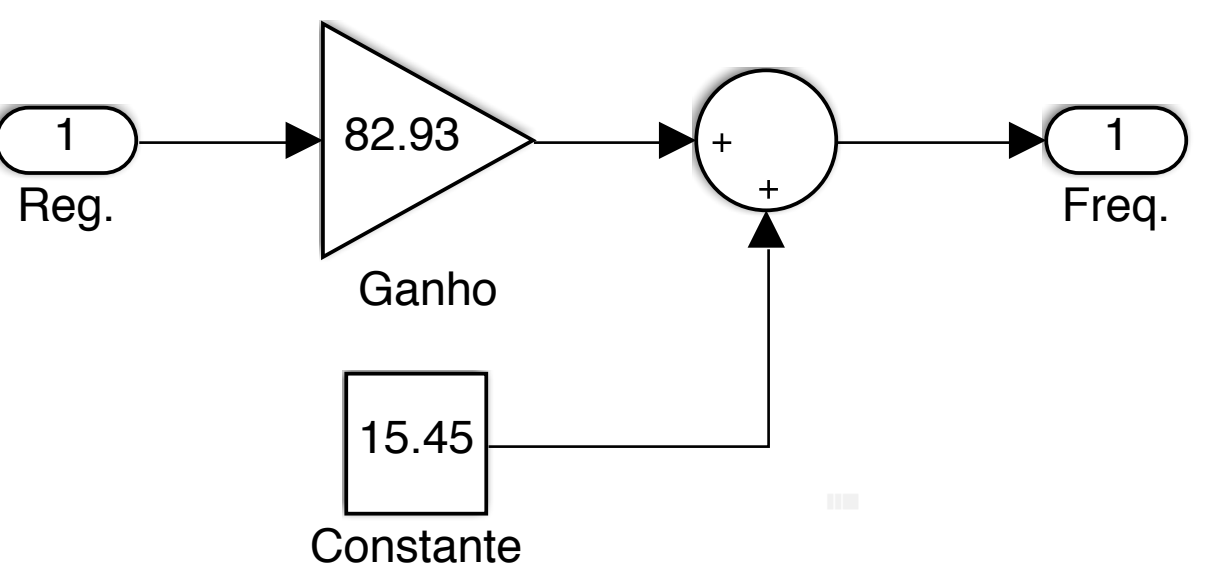
$$(127 - 1)a = 10550 - 98,4$$

$$a = (10550 - 98,4)/126 = 82,9492$$

Então:

$$82,9492 \cdot 1 + b = 98,4$$

$$b = 98,4 - 82,9492 = 15,4508$$



E assim, têm-se a função transferência:

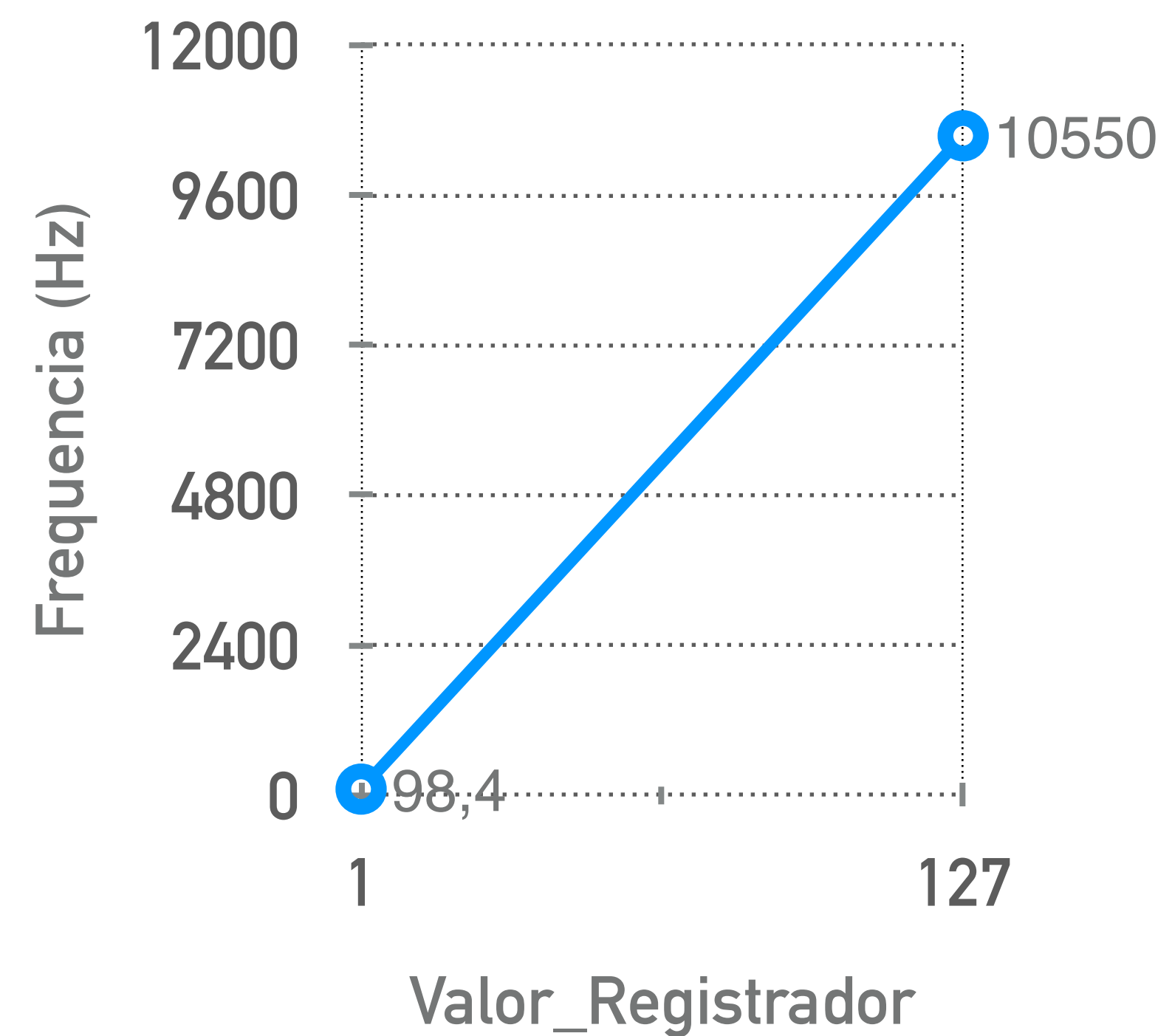
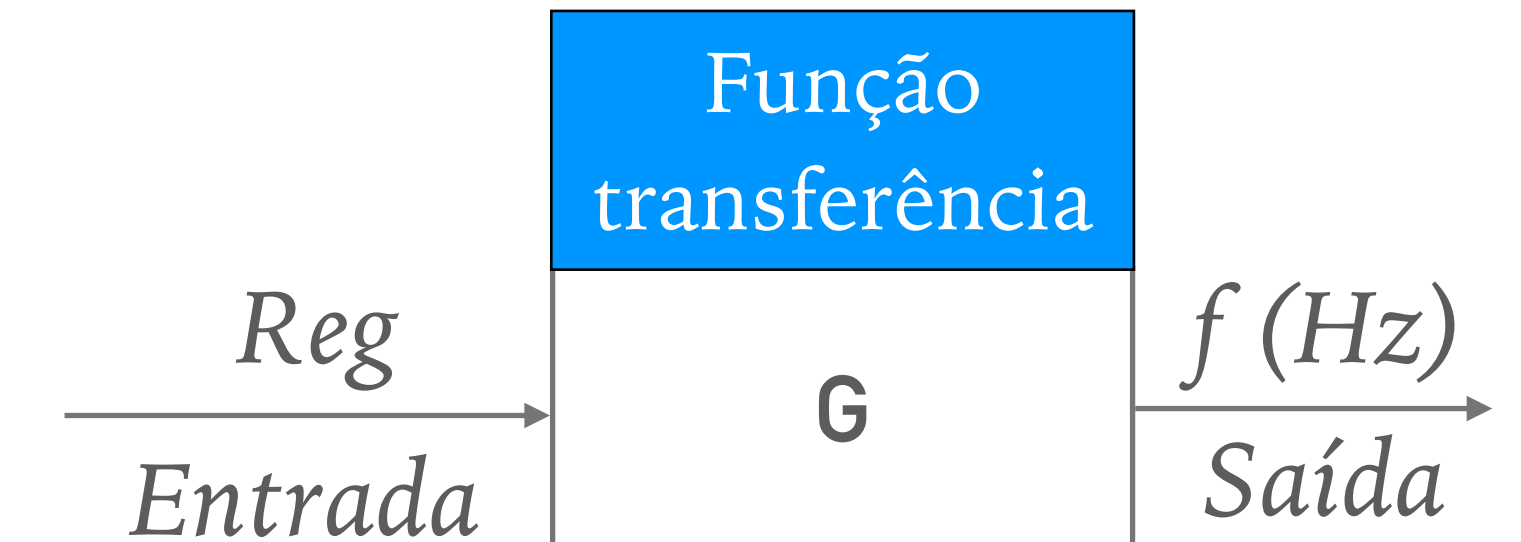
$$Freq = 82,9492 \cdot Reg + 15,4508$$

Finalmente:

$$440 = 82,9492 \cdot Reg + 15,4508$$

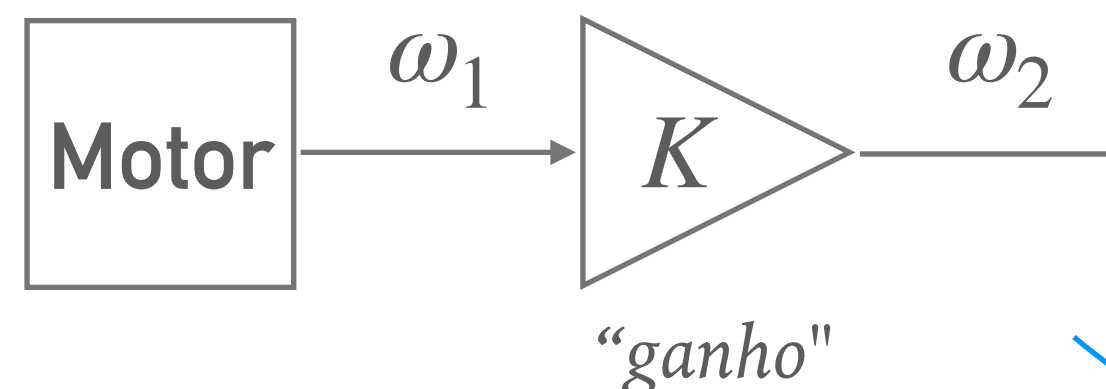
$$Reg = \frac{440 - 15,4508}{82,9492}$$

$$Reg = 5,1182.$$



EXEMPLOS DE MODELAGENS SIMPLES

► Sistema de engrenagens:



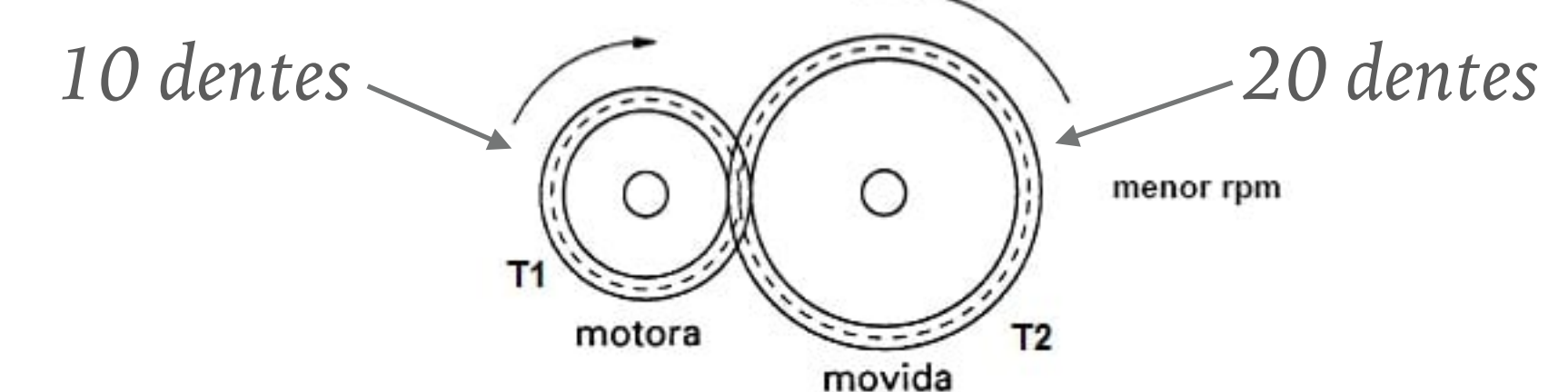
$$\omega_2 = K \cdot \omega_1$$

$$K = \frac{\omega_2}{\omega_1}$$

$$\frac{\omega_1}{\omega_2} = \frac{n_2}{n_1} \quad \therefore \quad \frac{\omega_2}{\omega_1} = \frac{n_1}{n_2}$$

$$K = \frac{n_1}{n_2} = \frac{10}{20} = \frac{1}{2} = 0,5$$

Relação de engrenagens



Relação de transmissão:

$$10:20, \text{ ou}$$

$$1:2$$

Relação de Velocidades:

$$\frac{\omega_1}{\omega_2} = \frac{n_2}{n_1}$$

Onde:

ω_1 = velocidade engrenagem 1 (rad/s);

ω_2 = velocidade engrenagem 2 (rad/s);

n_1 = número dentes engrenagem 1;

n_2 = número dentes engrenagem 2.

$$\frac{\tau_1}{\tau_2} = \frac{n_2}{n_1}$$

Onde:

τ_1 = torque na engrenagem 1 ($N \cdot m$);

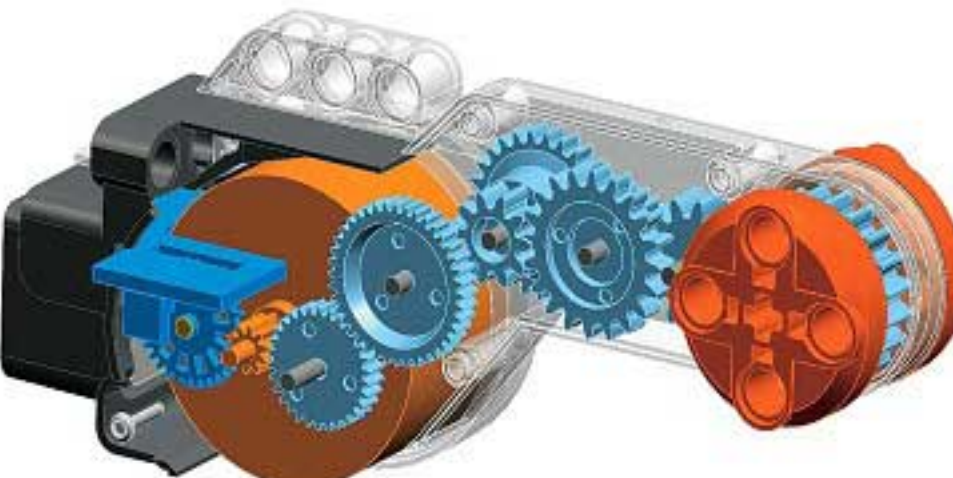
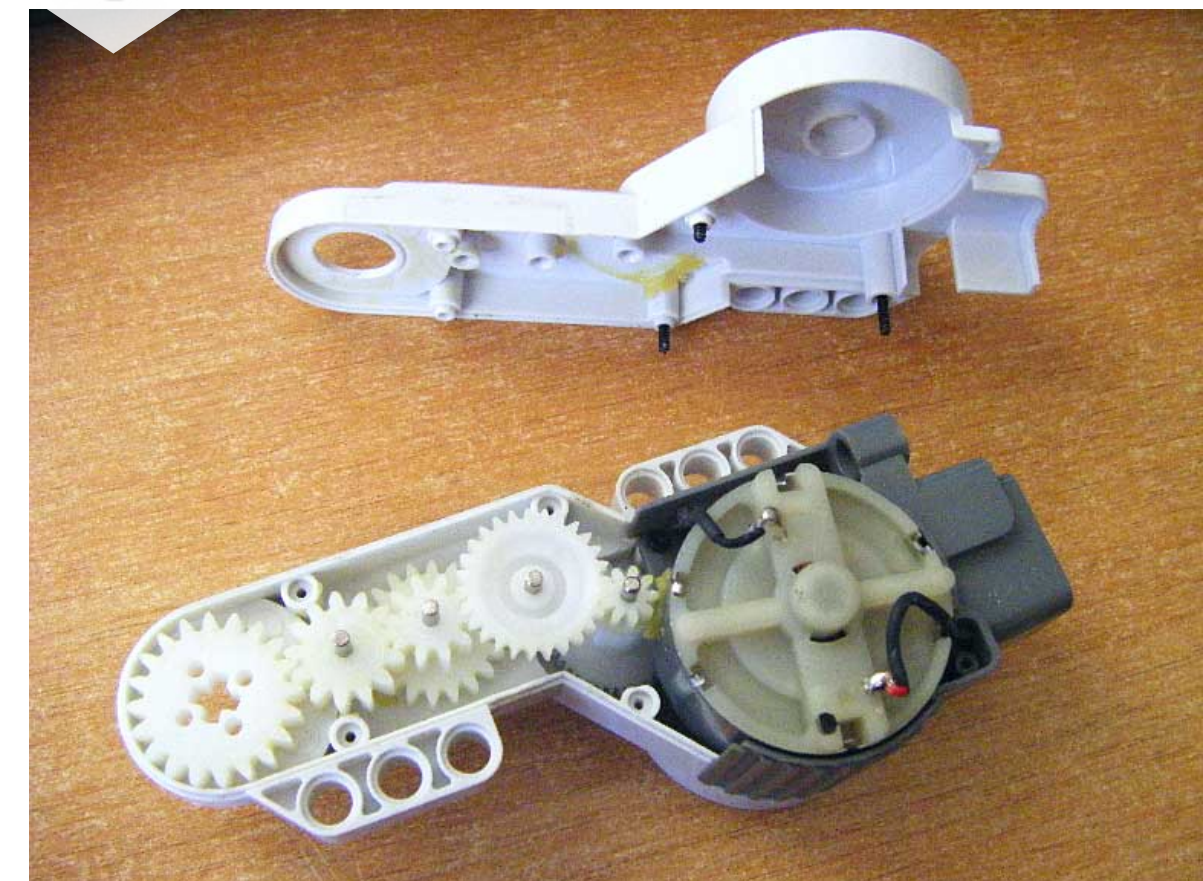
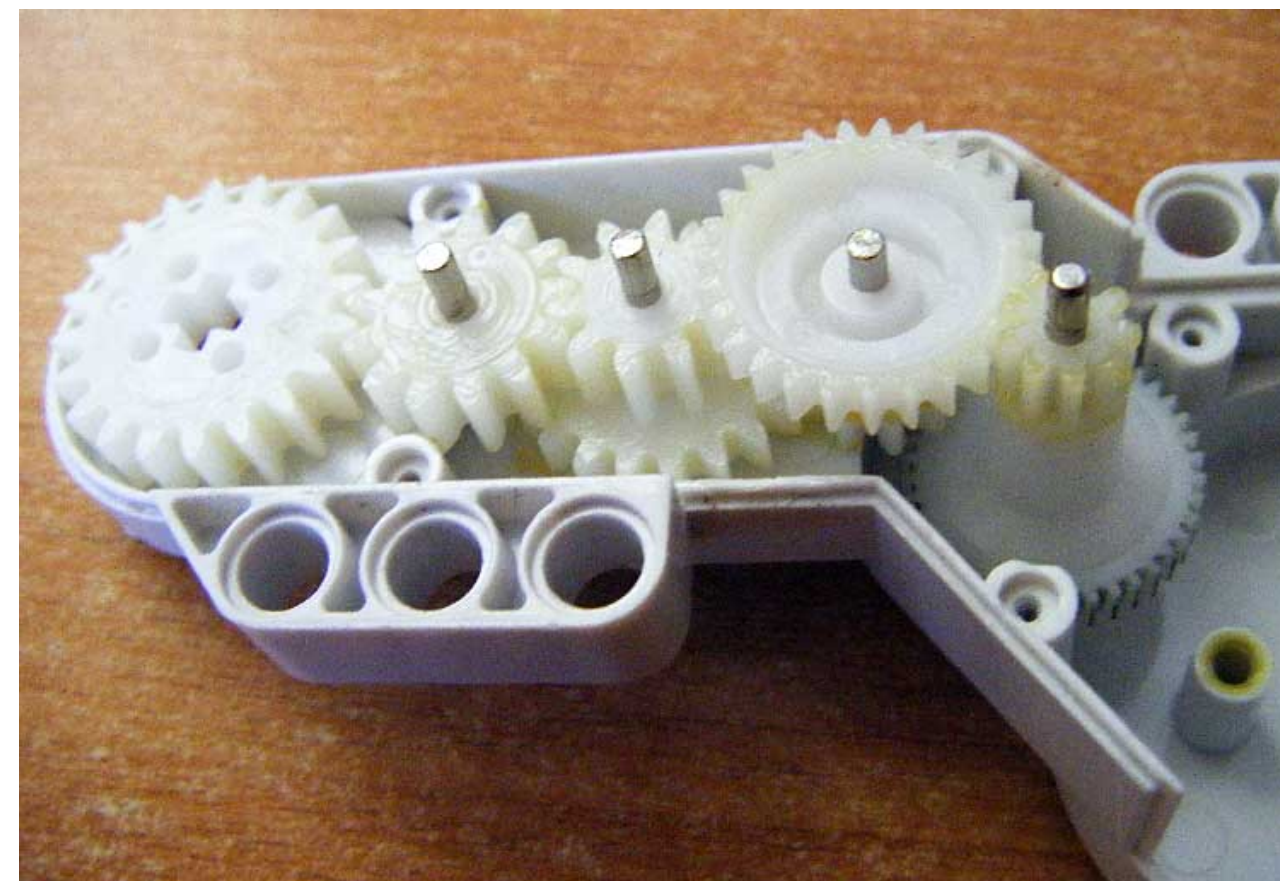
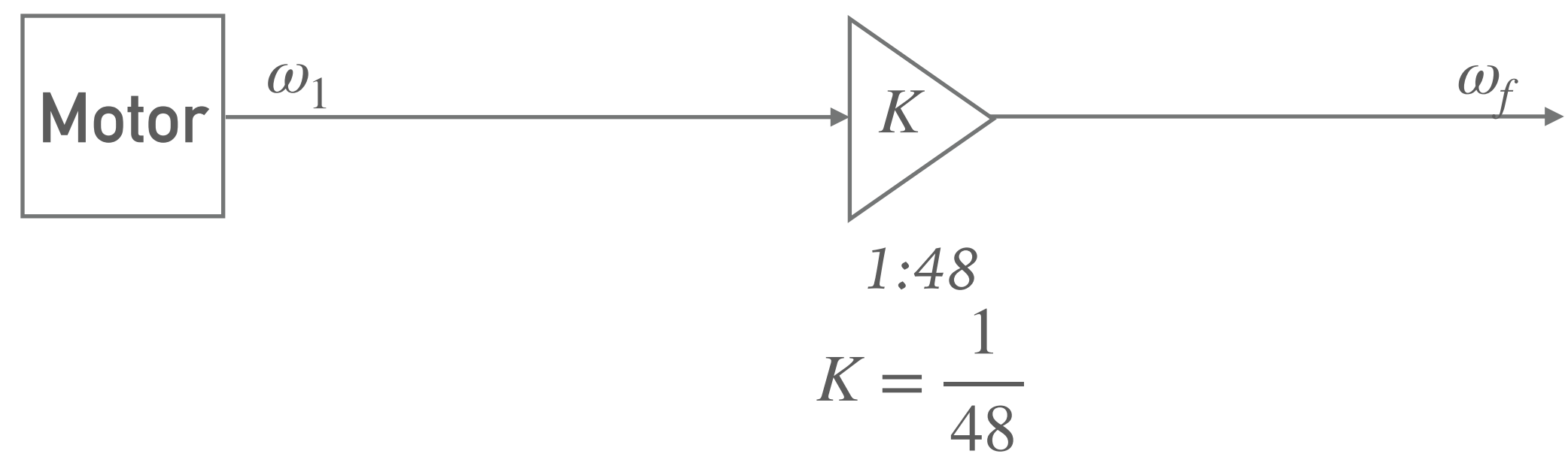
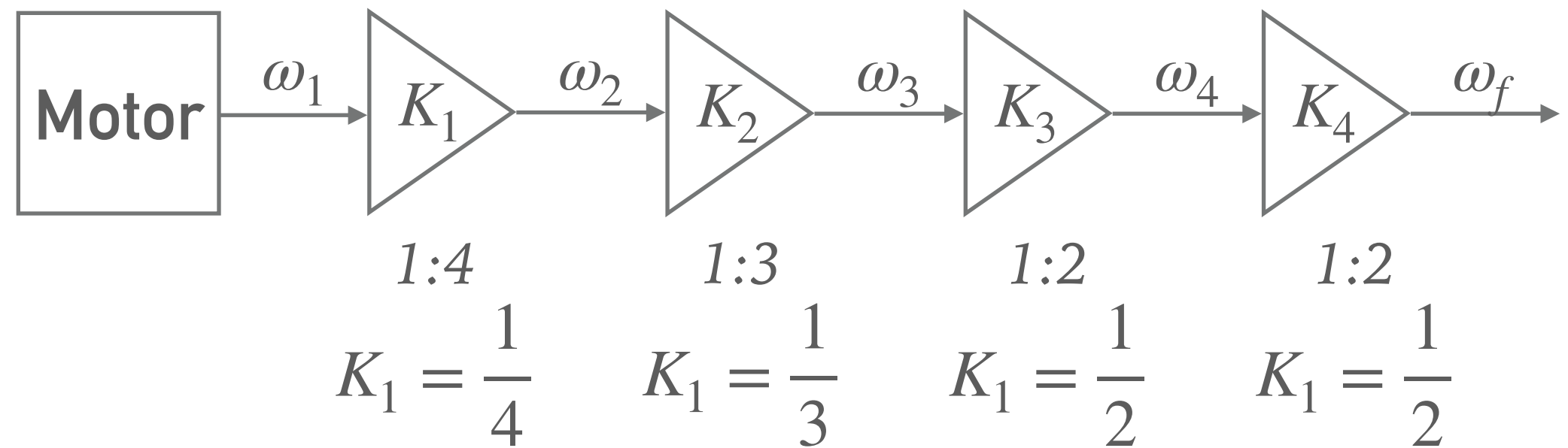
τ_2 = torque na engrenagem 2 ($N \cdot m$);

n_1 = número dentes engrenagem 1;

n_2 = número dentes engrenagem 2.

EXEMPLOS DE MODELAGENS SIMPLES

- Sistema com caixa de redução de engrenagens:



Relação de Velocidades:

$$\frac{\omega_1}{\omega_2} = \frac{n_2}{n_1}$$

Onde:

ω_1 = velocidade engrenagem 1 (rad/s);

ω_2 = velocidade engrenagem 2 (rad/s);

n_1 = número dentes engrenagem 1;

n_2 = número dentes engrenagem 2.

Relações internas:

$$10:40 = 1:4$$

$$9:27 = 1:3$$

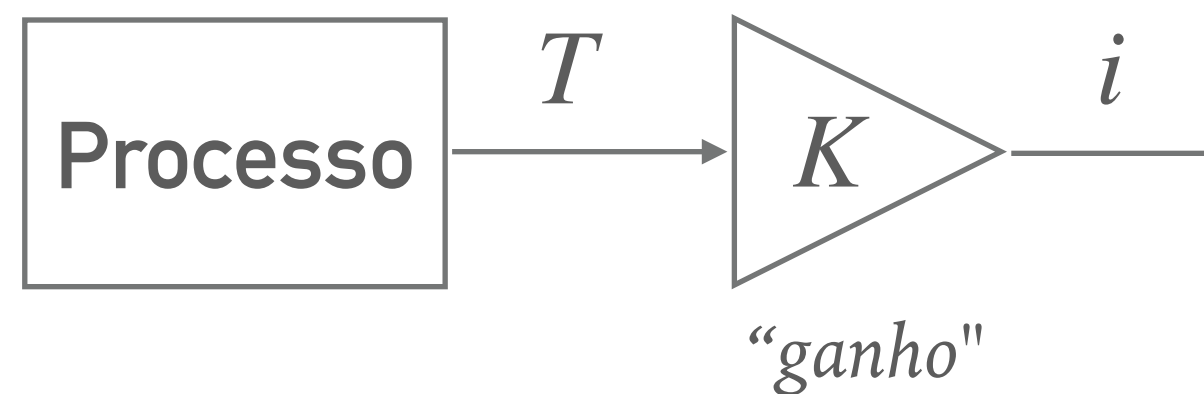
$$10:20 = 1:2$$

$$10:20 = 1:2$$

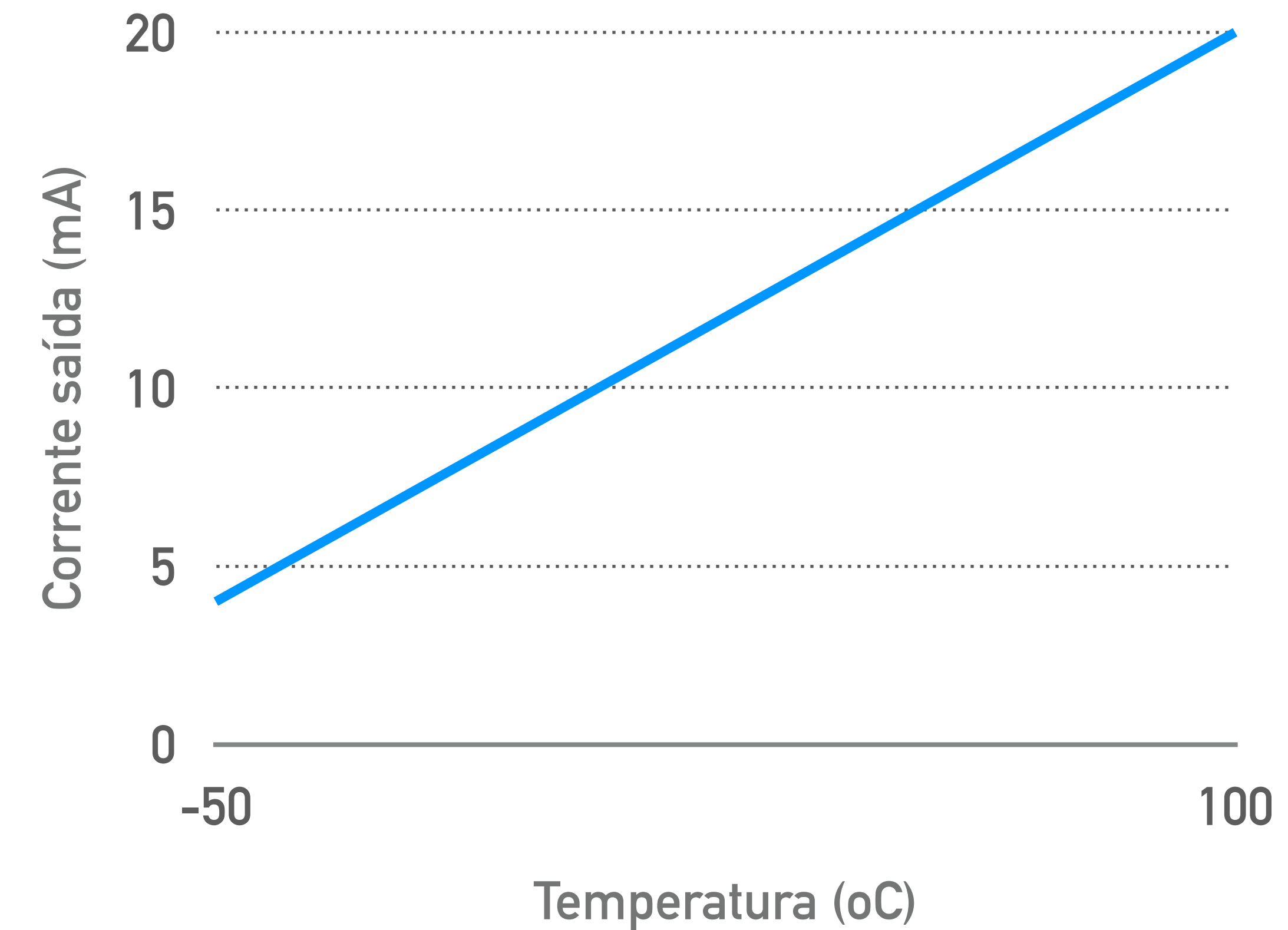
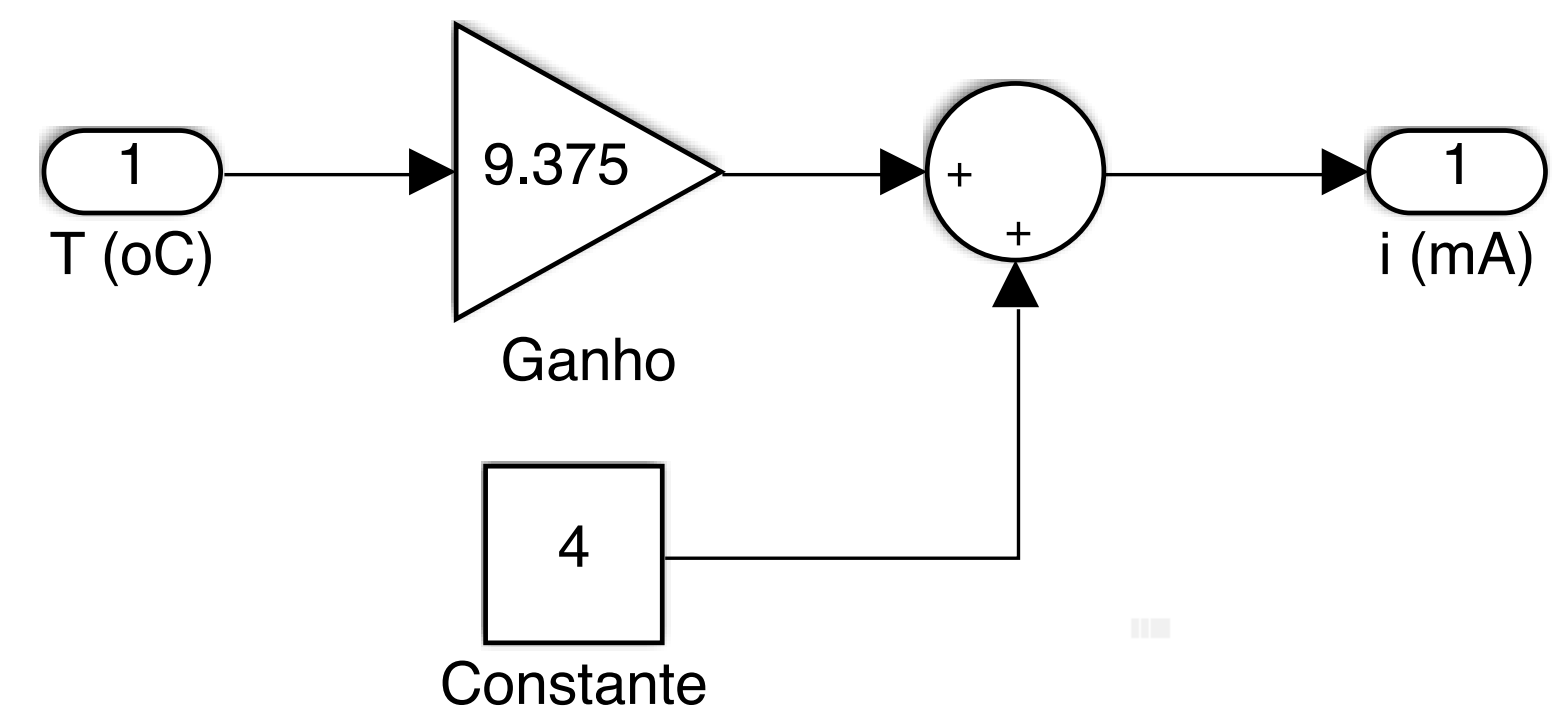
$$\text{Total} = 1:48$$

EXEMPLOS DE MODELAGENS SIMPLES

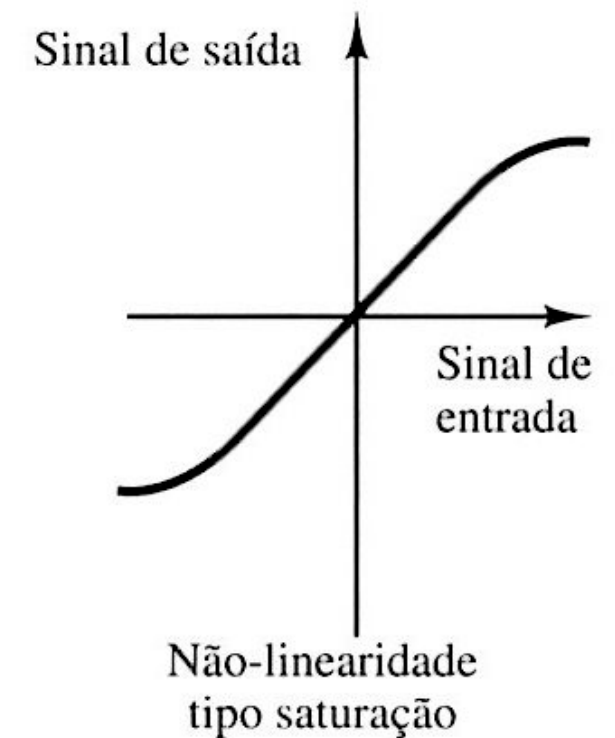
- Sistema sensor de temperatura de -50°C até 100°C , analógico, padrão industrial 4-20 mA:



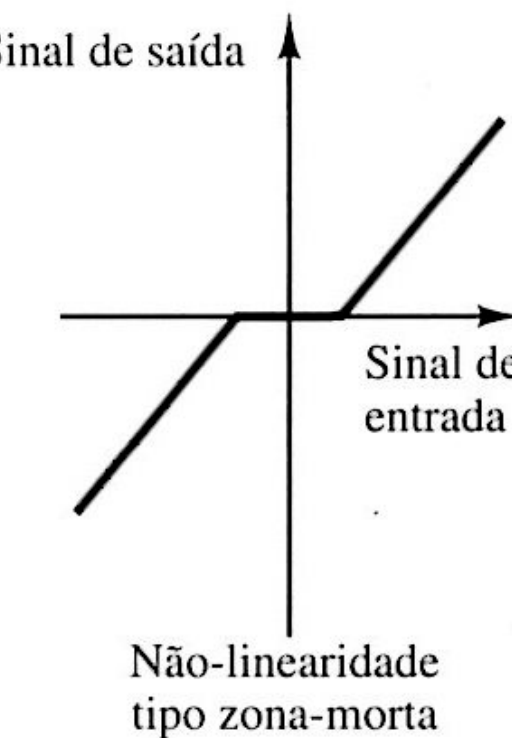
$$K = \frac{100 - (-50)}{20 - 4} = 9,375$$



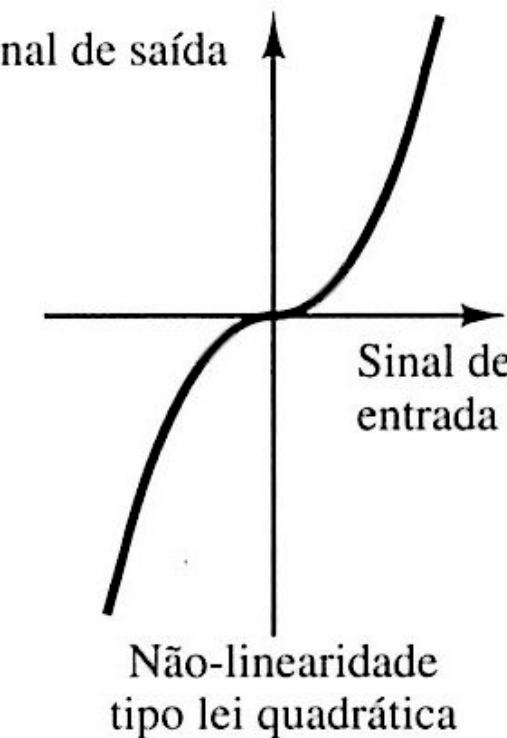
SISTEMAS LINEARES E NÃO-LINEARES



Não-linearidade tipo saturação



Não-linearidade tipo zona-morta



Não-linearidade tipo lei quadrática

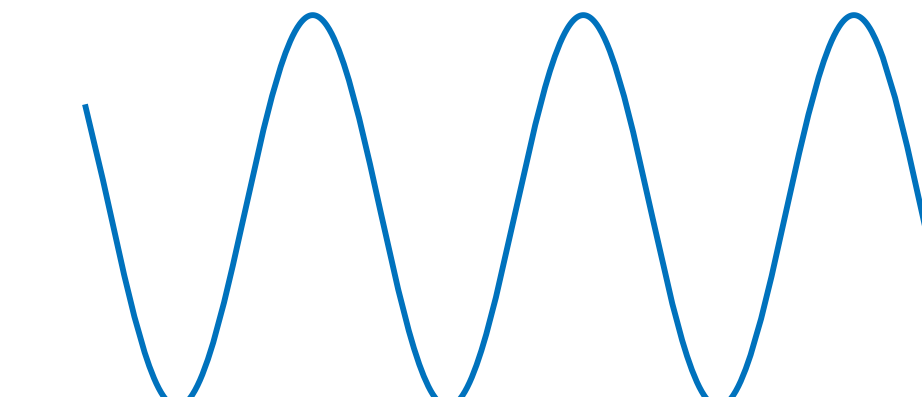
Sistema Linear: é dito linear se sobre ele se aplica o princípio da superposição.

O Princípio da Superposição estabelece que a resposta produzida pela aplicação simultânea de 2 excitações diferentes é igual à soma das 2 repostas individuais a cada uma das excitações. Portanto, para sistemas lineares, a resposta a vias entradas pode ser calculada considerando-se uma única entrada de cada vez e adicionando-se os resultados.

Existem Sistemas Lineares Invariantes no tempo x Sistemas lineares variantes no tempo.

Sistemas não-lineares: se a ele não se aplica o princípio da superposição. Assim, nos sistemas não-lineares, a resposta a 2 entradas não pode ser calculada tratando-se uma entrada de cada vez e somando-se os resultados. Por exemplo:

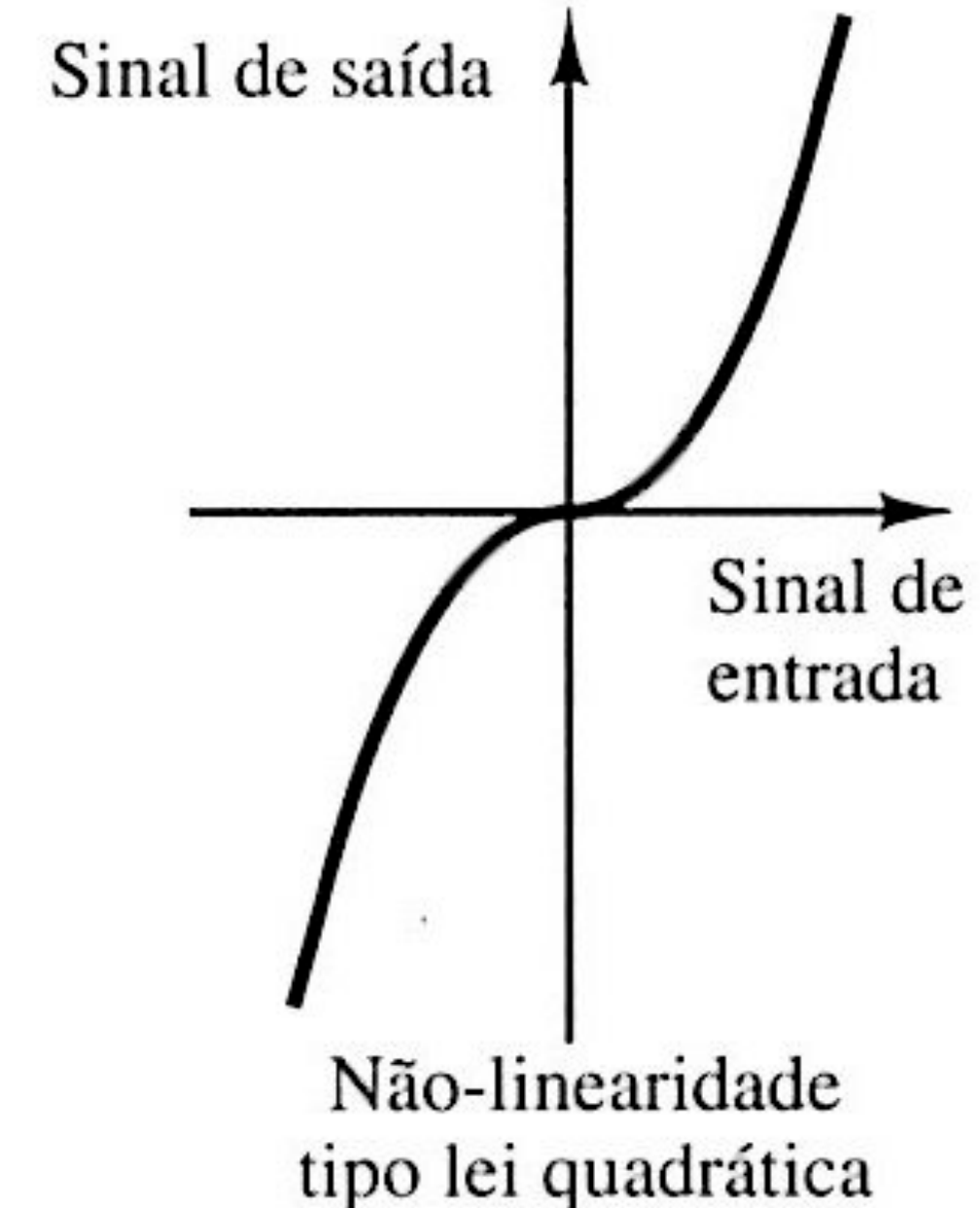
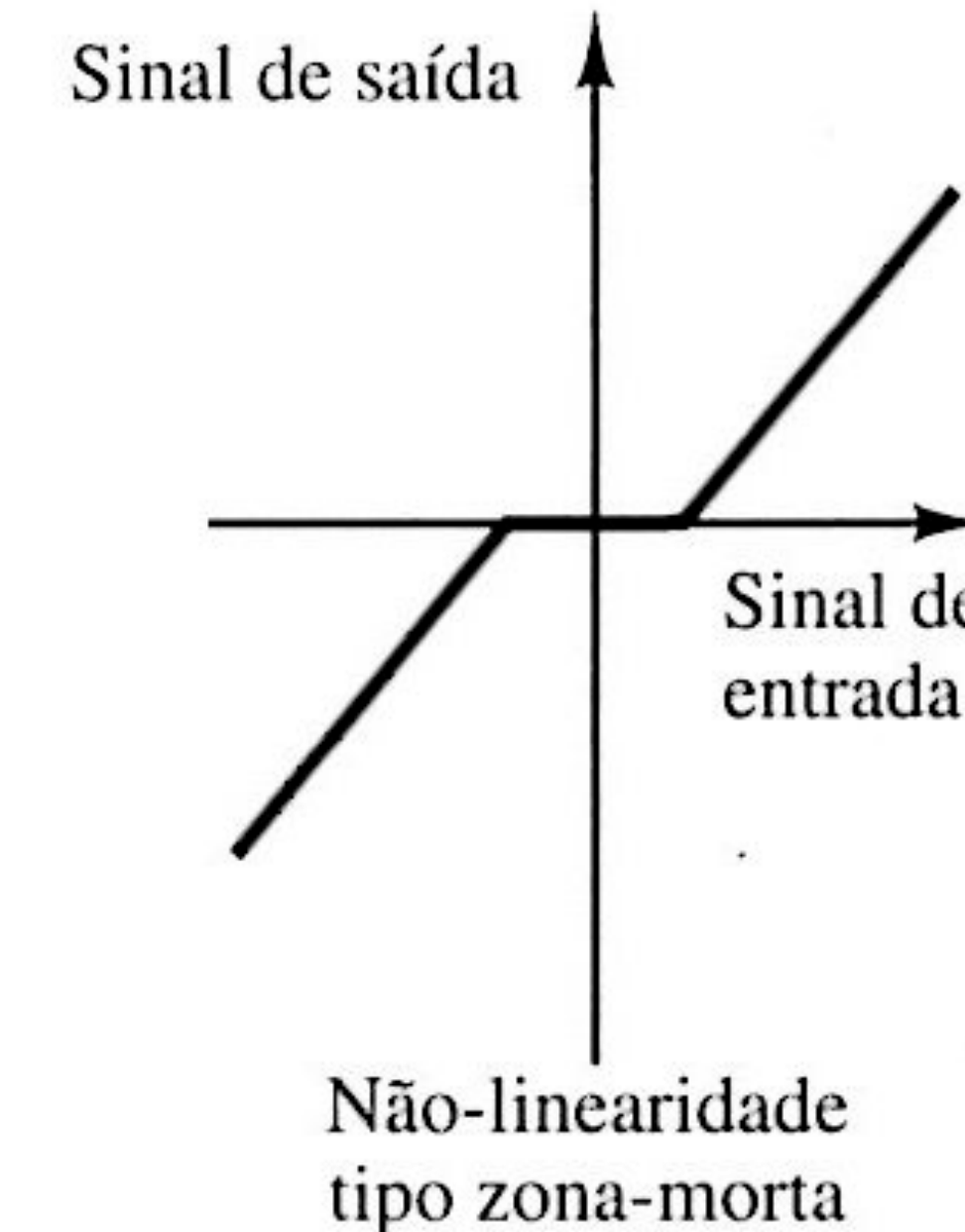
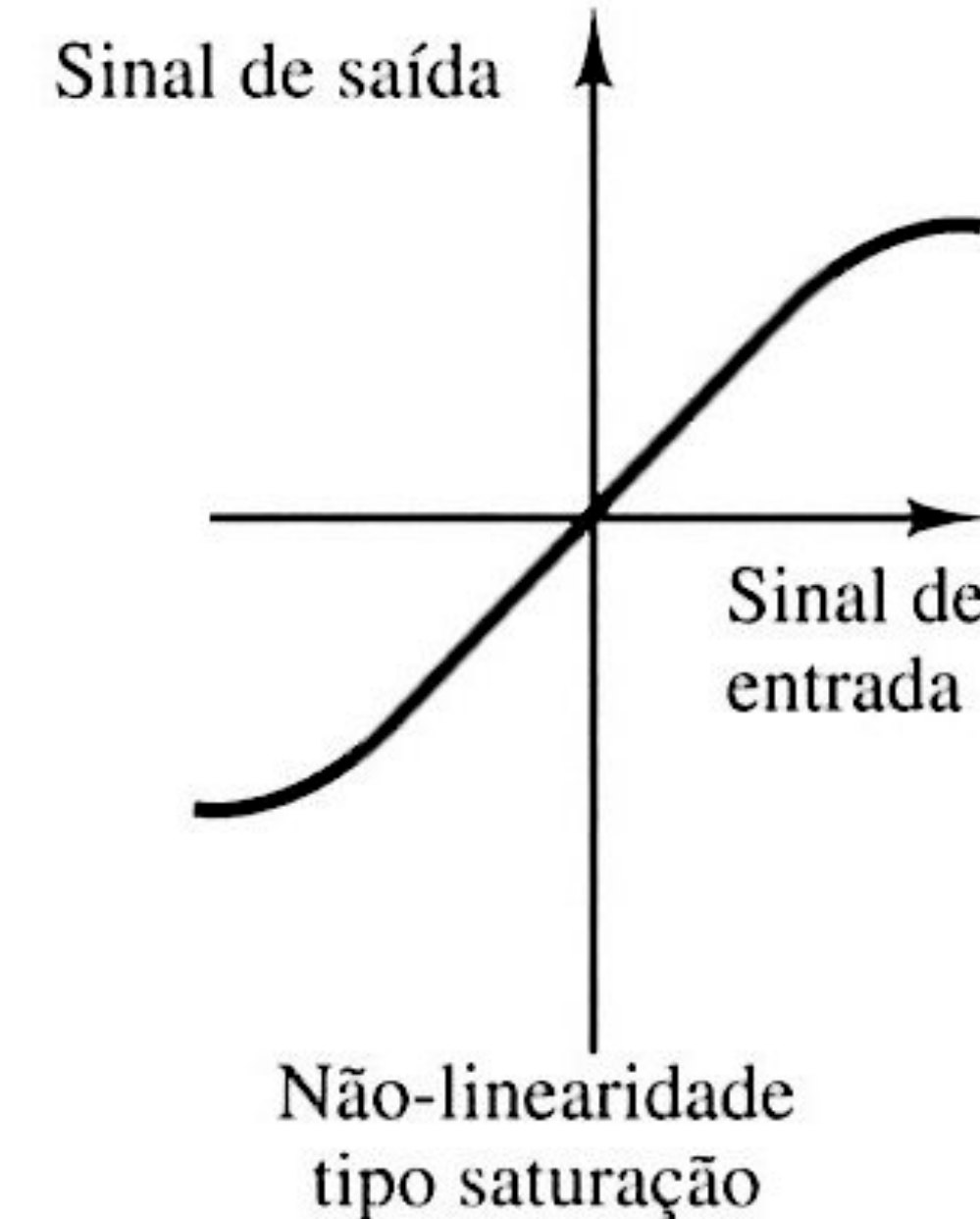
$$\ddot{x} + \dot{x}^2 + x = A \sin \omega t$$



SISTEMAS NÃO-LINEARES

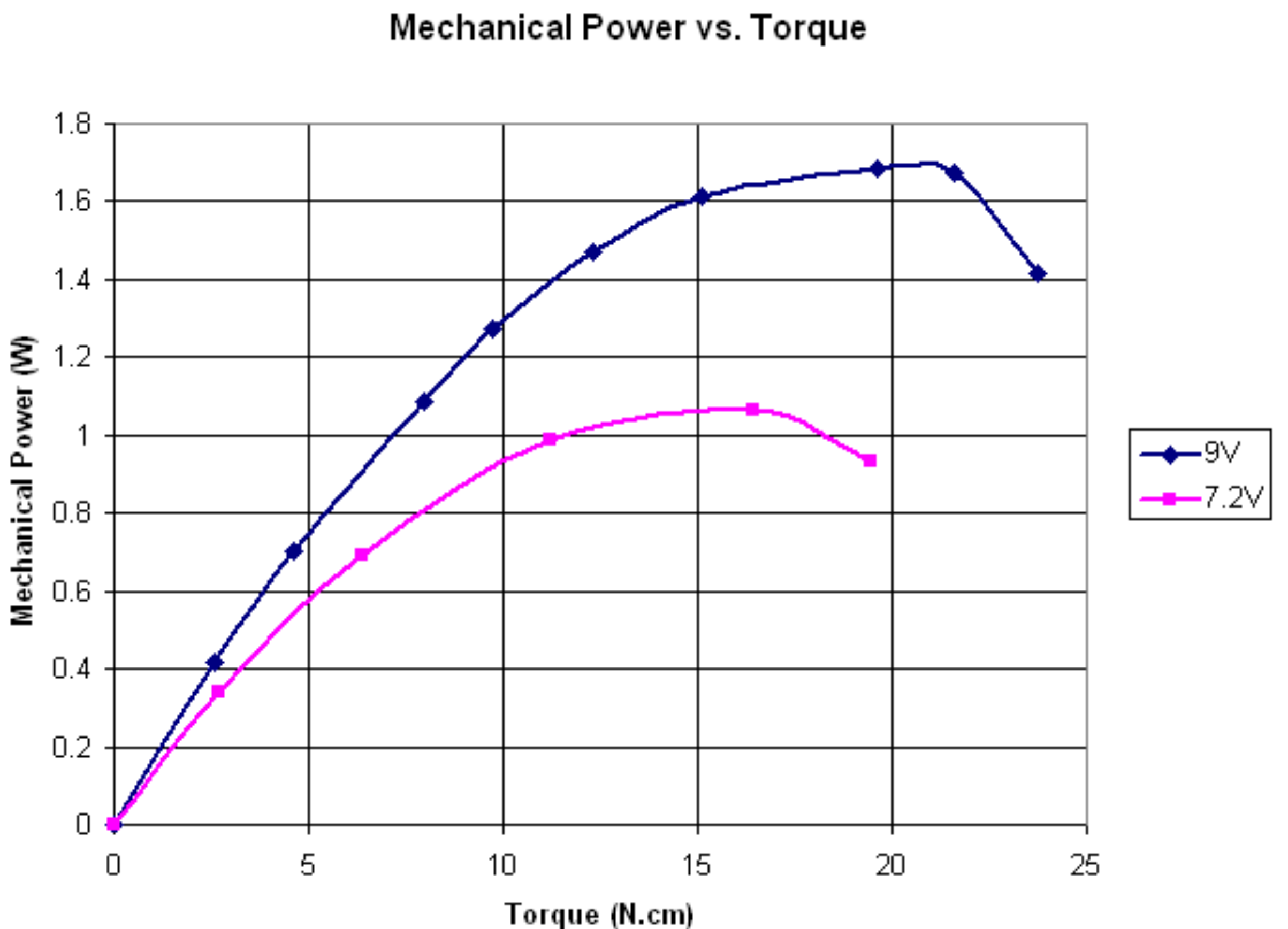
Exemplos:

- Sistemas eletromecânicos, hidráulicos, pneumáticos.
- A saída de um componente pode saturar para sinais elevados na entrada (“saturação”);
- Pode haver uma “zona-morta” no sistema causado por folgas ou desgastes num sistema de engrenagens ou cremalheira; Neste caso, a saída do sistema não varia (fica insensível) para pequenas variações no sinal de entrada.
- Sistemas de controle liga-desliga (*on-off*): não há uma ação linear entre a entrada e saída do controlador.



SISTEMAS NÃO-LINEARES

- Exemplo: curva de torque de motores



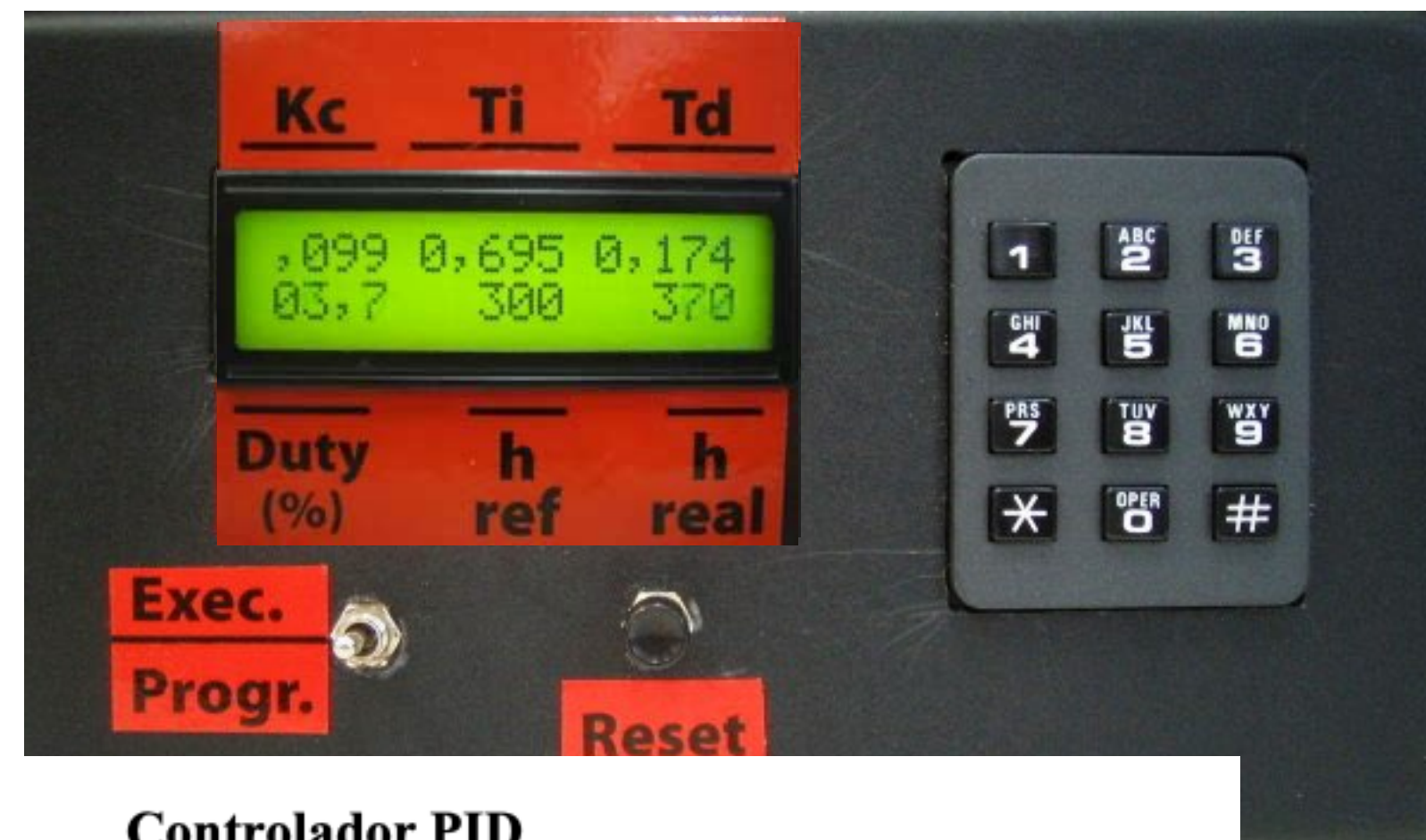
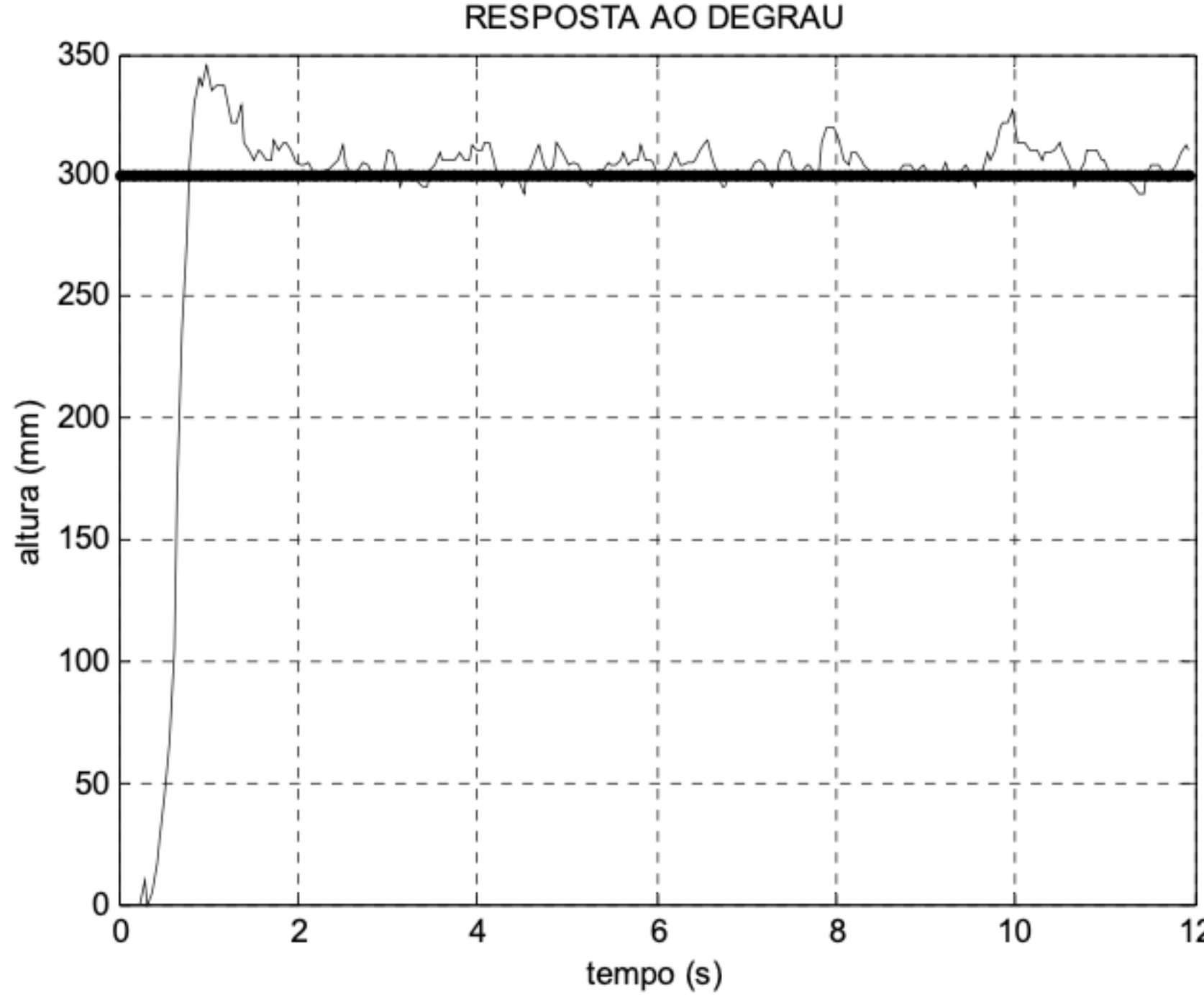
ENTENDENDO RESPOSTA DE UM SENSOR

- O sensor de distância GP2Y0A02YK baseado em IR do fabricante Sharp:



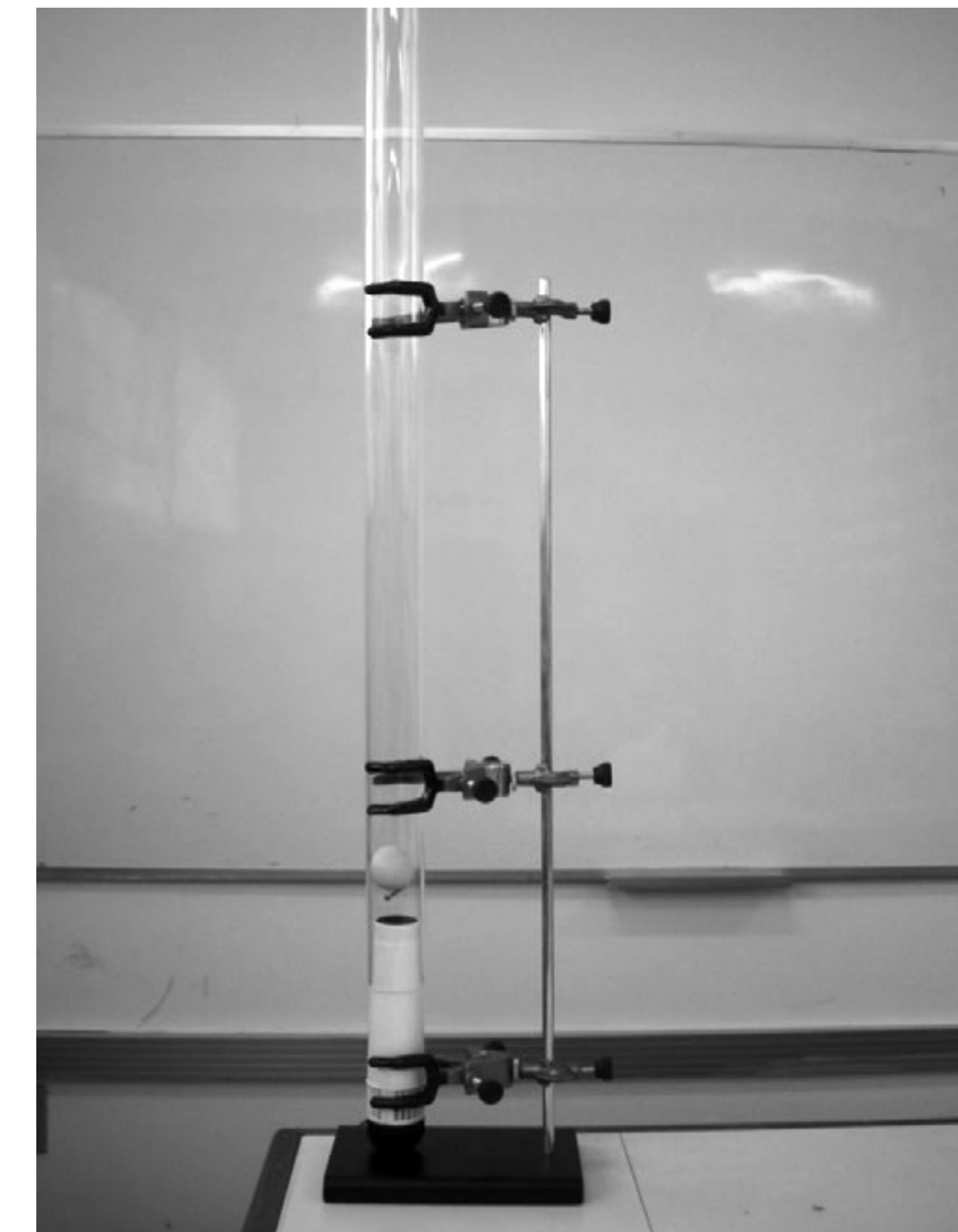
- mede de 20 à 150 cm; máximo de $f_s = 20,87$ Hz.

Obs.: Uso do processo “Bola no Tubo”:



Controlador PID

$$-e_{n-1}) + \frac{T_s}{T_i} e_n + \frac{T_d}{T_s} (e_n - 2e_{n-1} + e_{n-2})]$$



Processo bola e tubo, TCC (Eng. Elétrica/UPF), 114p, 2006.

Prof. Fernando Passold

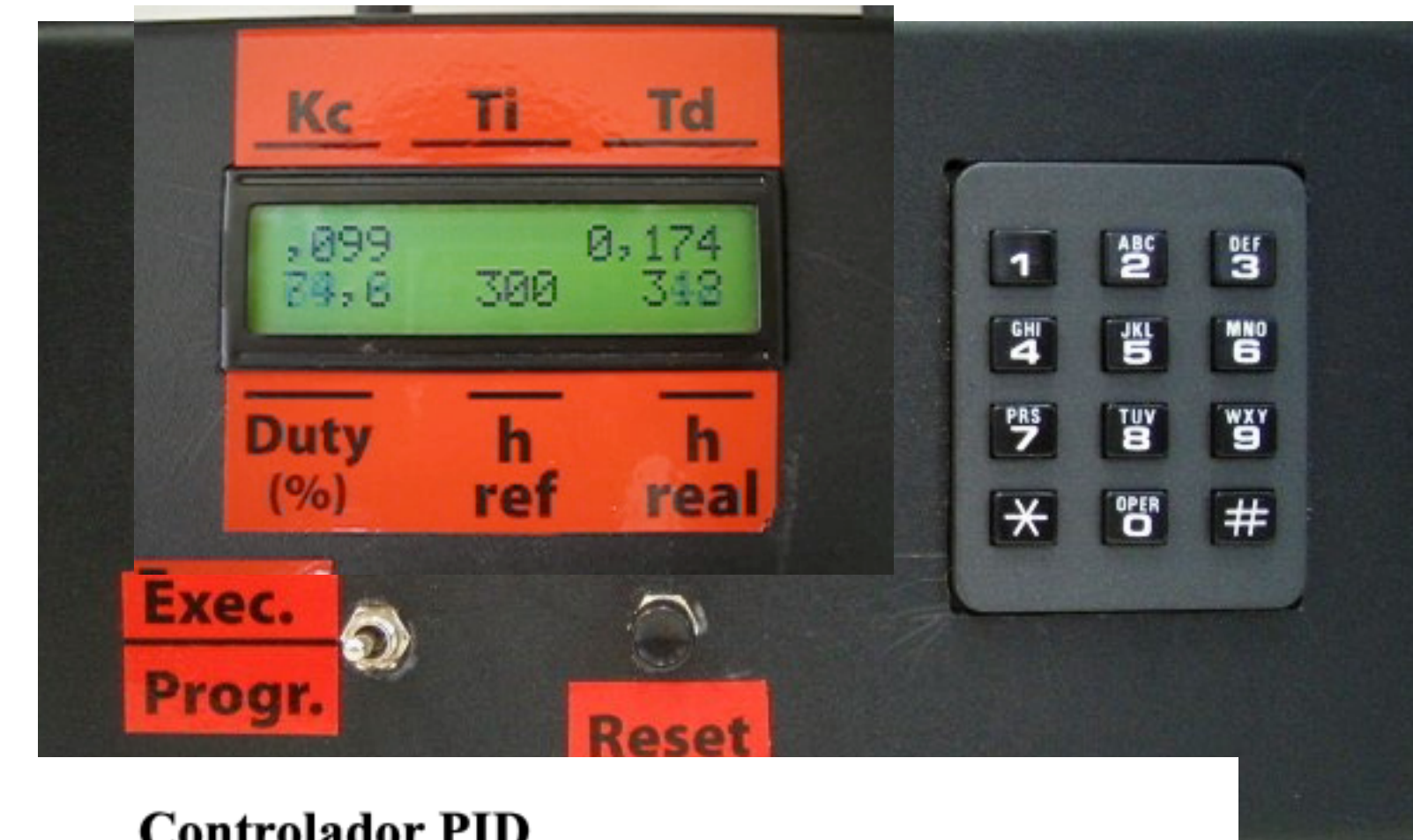
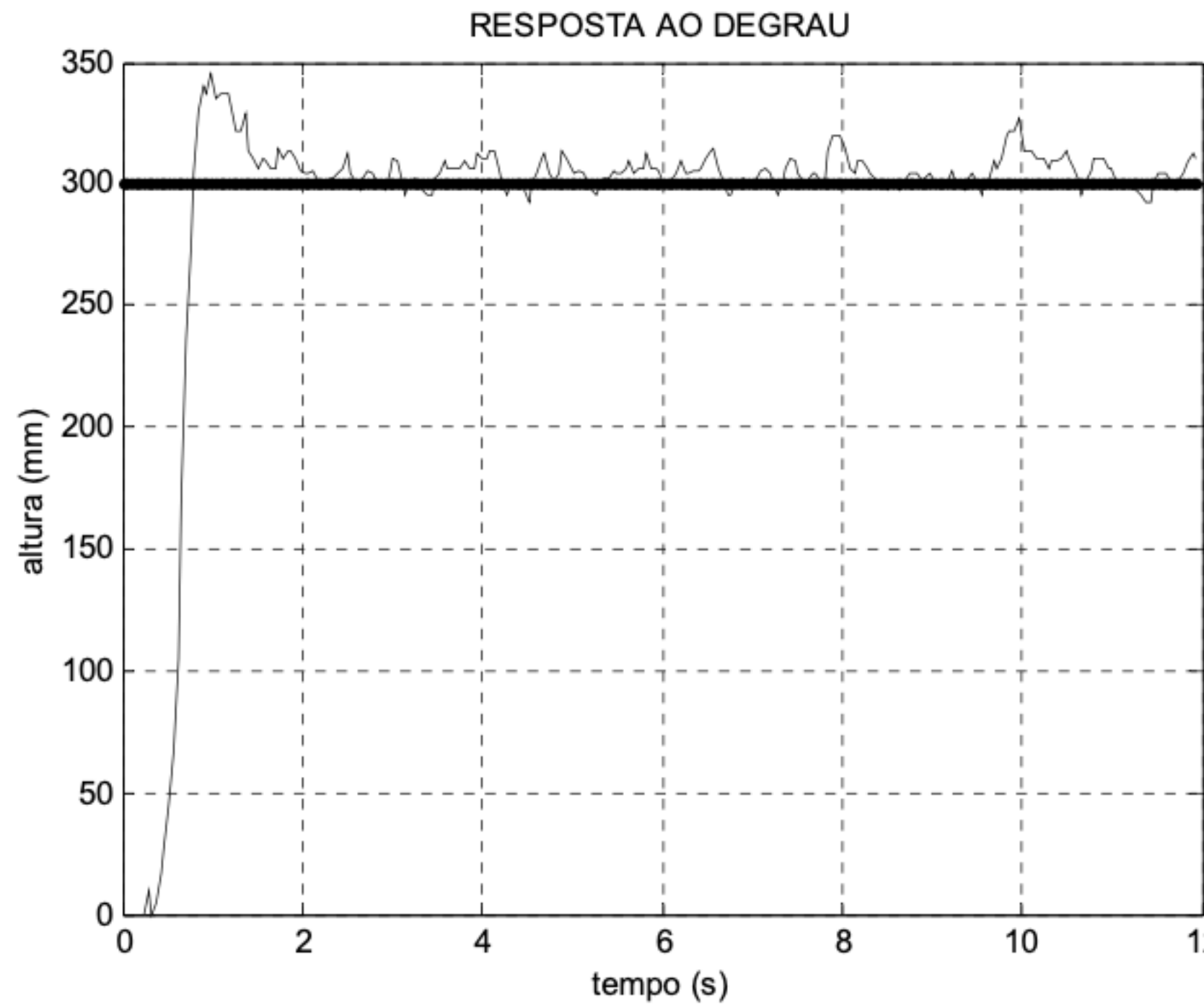
Figura 58 - Curva de resposta com controlador PD

ENTENDENDO RESPOSTA DE UM SENSOR

- O sensor de distância GP2Y0A02YK baseado em IR do fabricante Sharp:



- mede de 20 à 150 cm; máximo de $f_s = 20,87$ Hz.
- Obs.: Uso do processo “Bola no Tubo”:



$$-e_{n-1}) + \frac{T_s}{T_i} e_n + \frac{T_d}{T_s} (e_n - 2e_{n-1} + e_{n-2})]$$

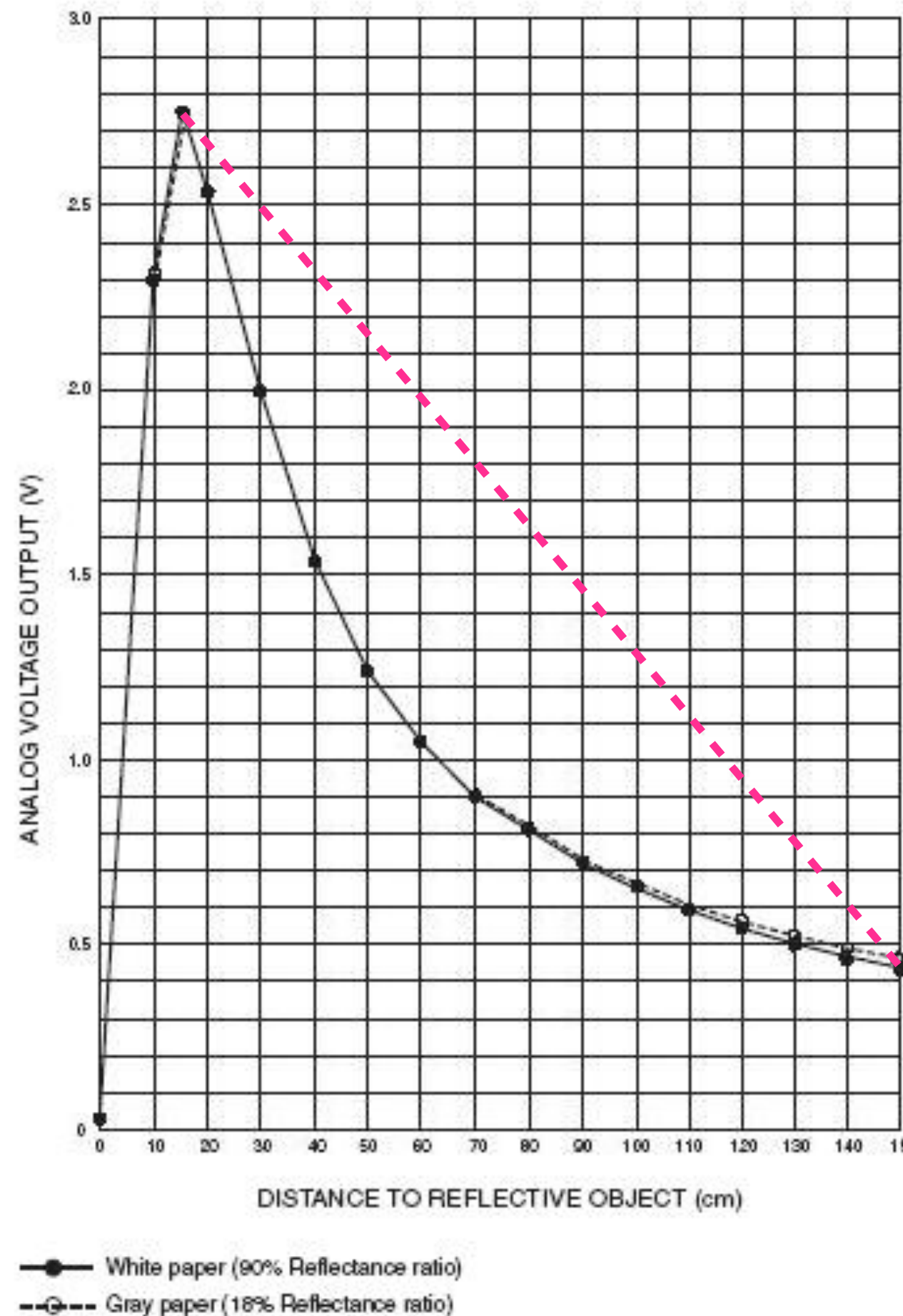


Processo bola e tubo, TCC (Eng. Elétrica/UPF), 114p, 2006.
Prof. Fernando Passold

Figura 58 - Curva de resposta com controlador PD

ENTENDENDO RESPOSTA DE UM SENSOR

- O sensor de distância GP2Y0A02YK baseado em IR do fabricante Sharp:



- mede de 20 à 150 cm; máximo de $f_s = 20,87$ Hz.
- Dados reais levantados → Excel:*

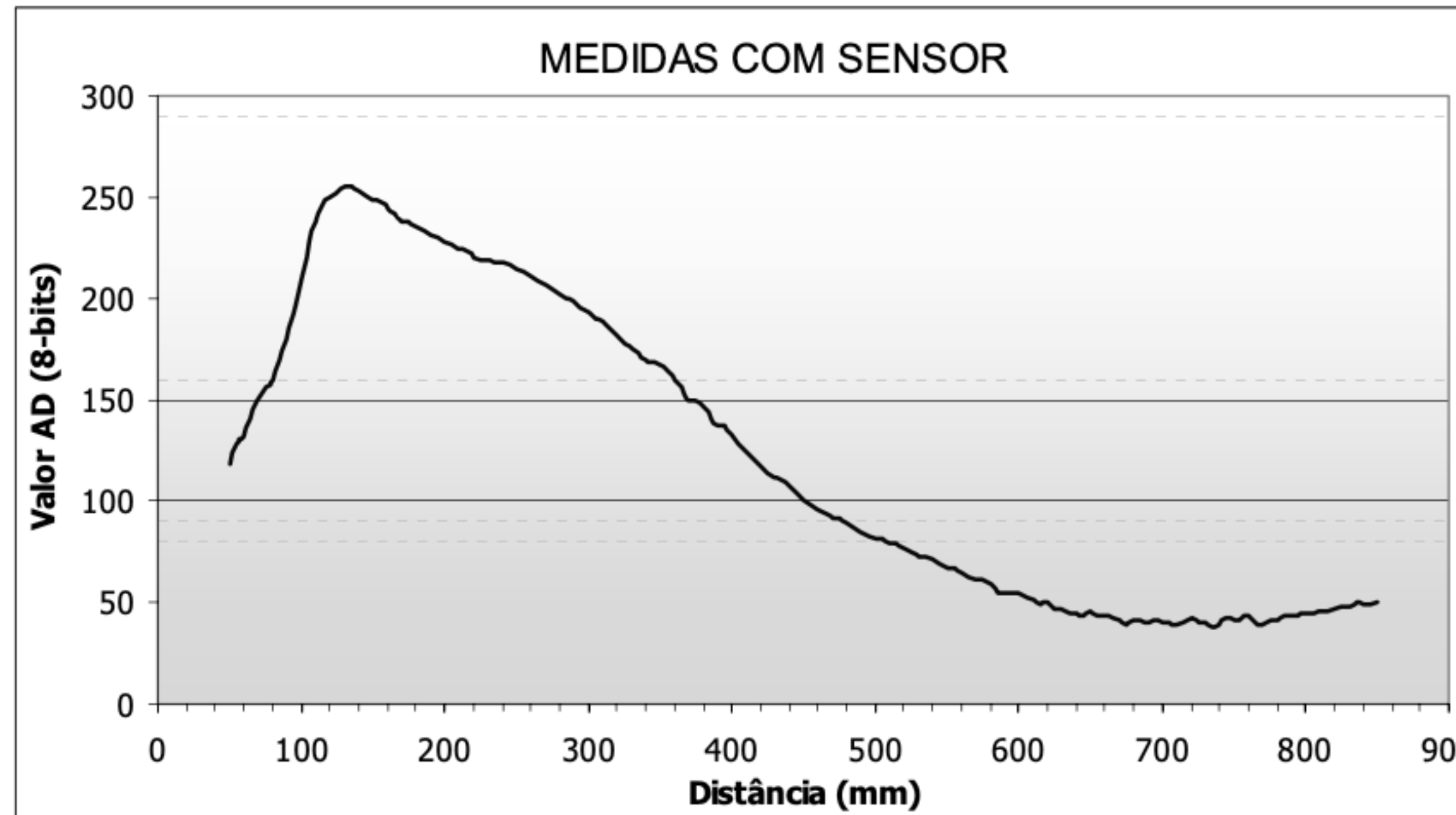


Figura 45 - Resposta do sensor IR obtida experimentalmente

Ref.: Vanz, Robinson Caldart, Controlador digital para processo bola e tubo, TCC (Eng. Elétrica/UPF), 114p, 2006.

Controle I: Modelagem matemática

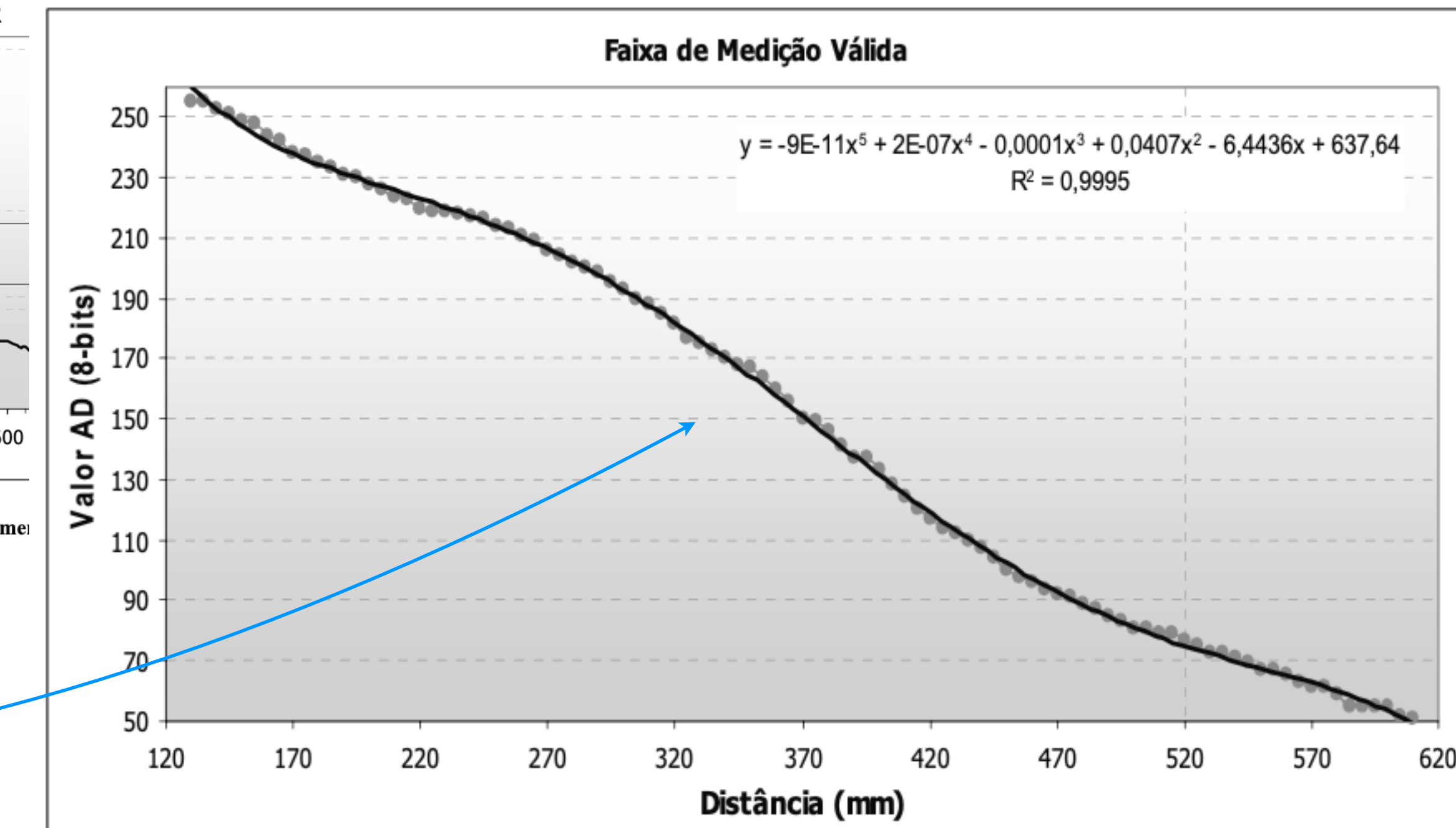
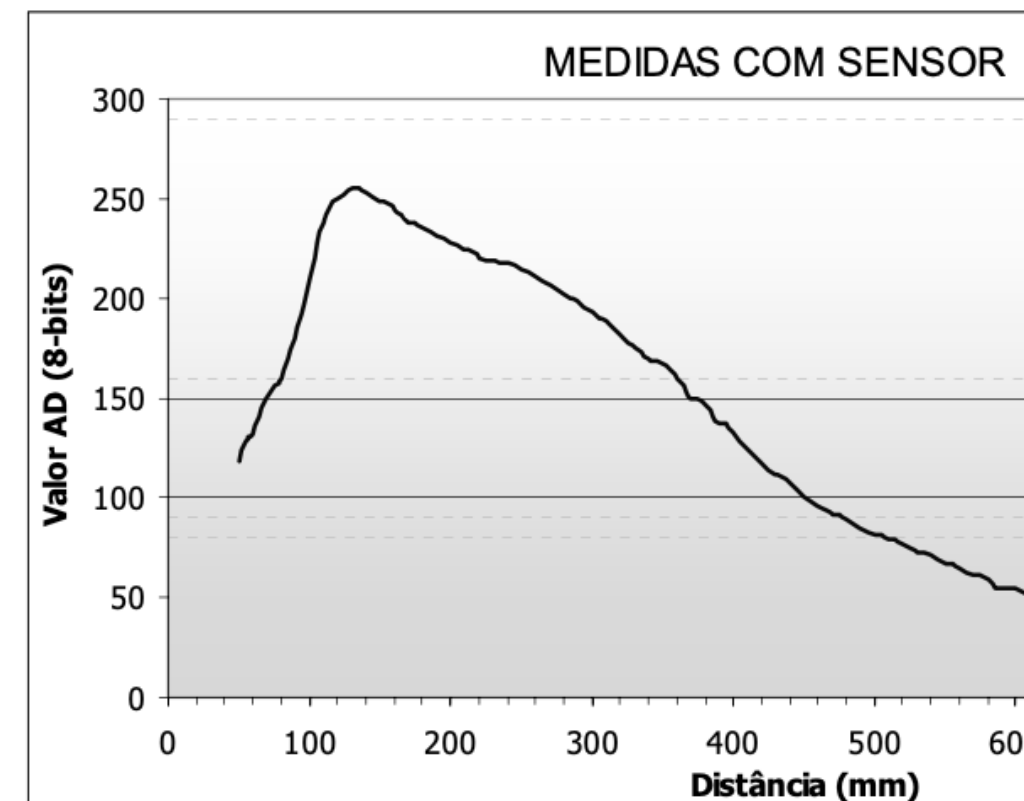
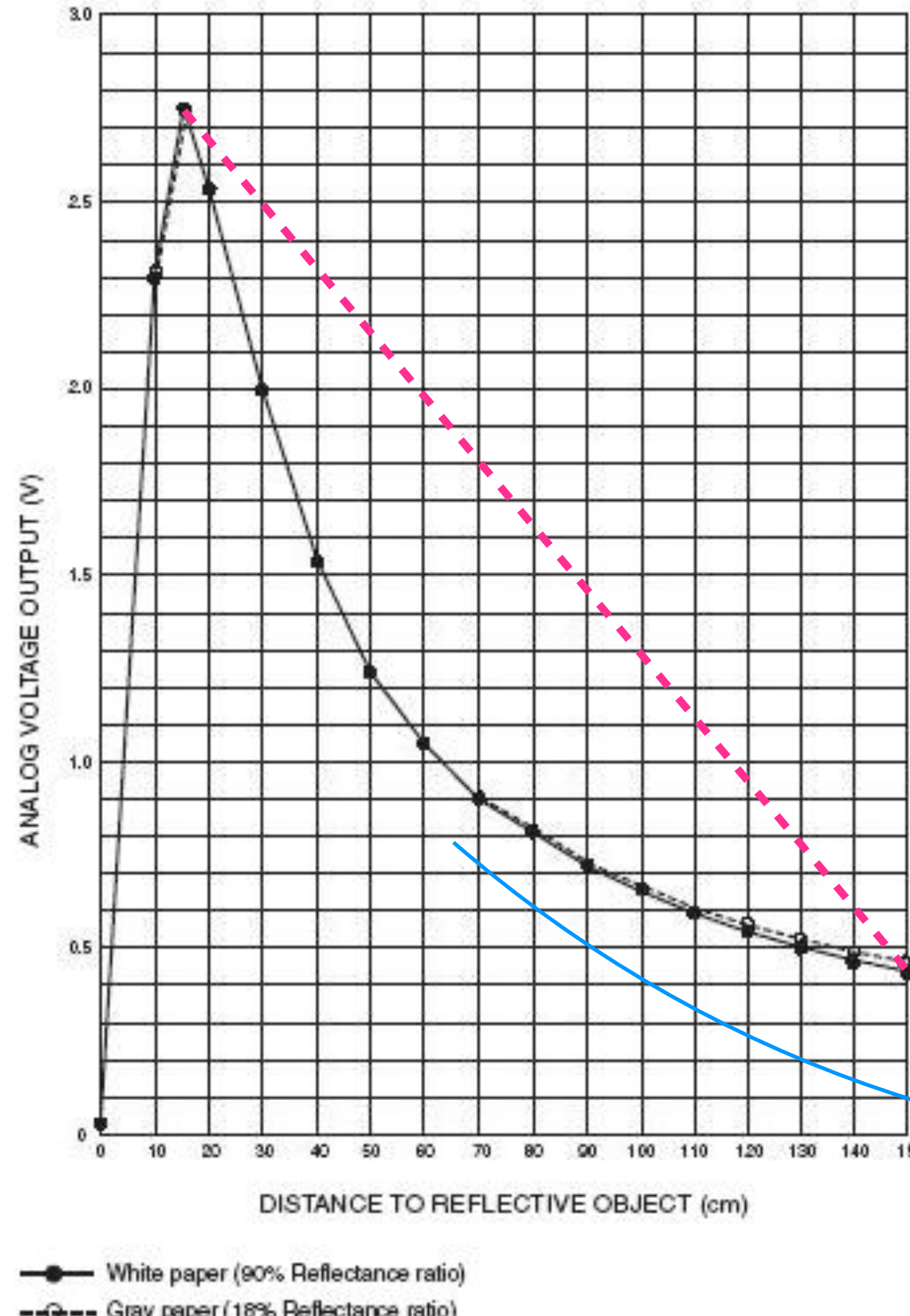
Prof. Fernando Passold

ENTENDENDO RESPOSTA DE UM SENSOR

- O sensor de distância GP2Y0A02YK baseado em IR do fabricante Sharp:

- mede de 20 à 150 cm; máximo de $f_s = 20,87$ Hz.

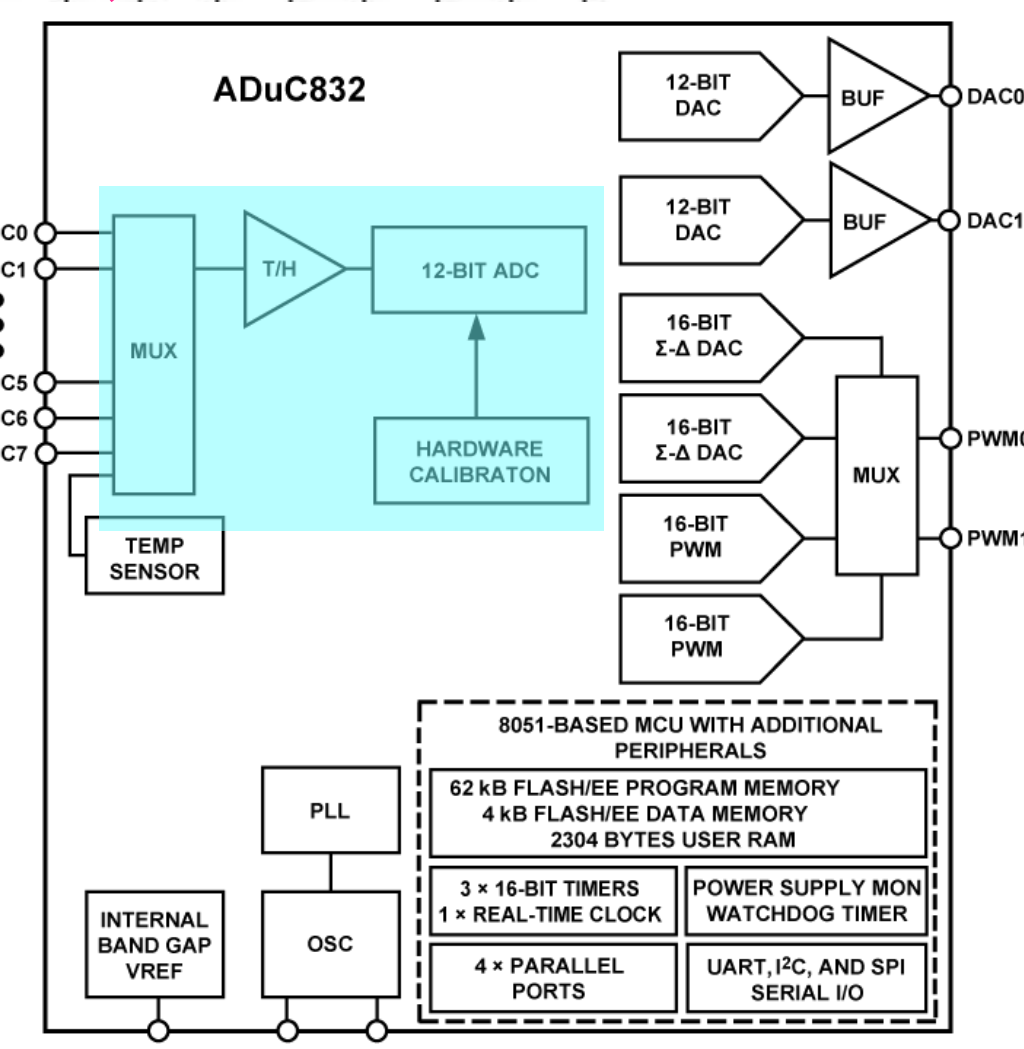
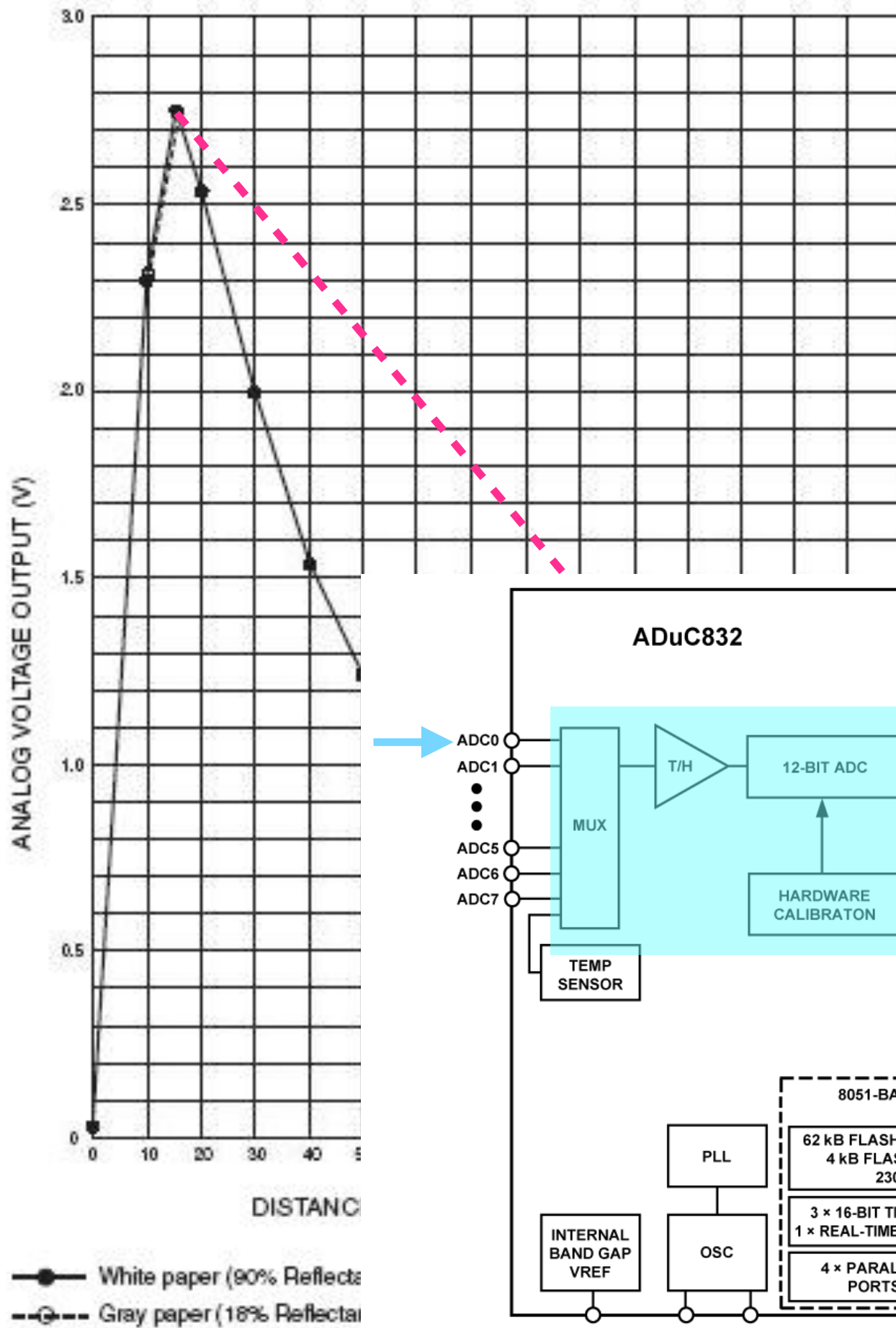
Dados reais levantados → Excel:



Ref.: Vanz, Robinson Caldart, Controlador digital para processo bola e tubo, TCC (Eng. Elétrica/UPF), 114p, 2006.

ENTENDENDO RESPOSTA DE UM SENSOR

- O sensor de distância GP2Y0A02YK baseado em IR do fabricante Sharp:



- mede de 20 à 150 cm; máximo de $f_s = 20,87$ Hz.

Obs.: Uso do processo “Bola no Tubo”:

Dados reais do sensor foram capturados, a eq. da curva foi levantada e uma “lookup table” (tabela de transformação) foi exportada para código em C à partir dos dados levantados no Excel:

“Lookup table”
(≤ 1,6 Kbytes/2KB
do μC ADuC 832)

Valor A/D	Altura [mm]
1	610
112	430
253	140

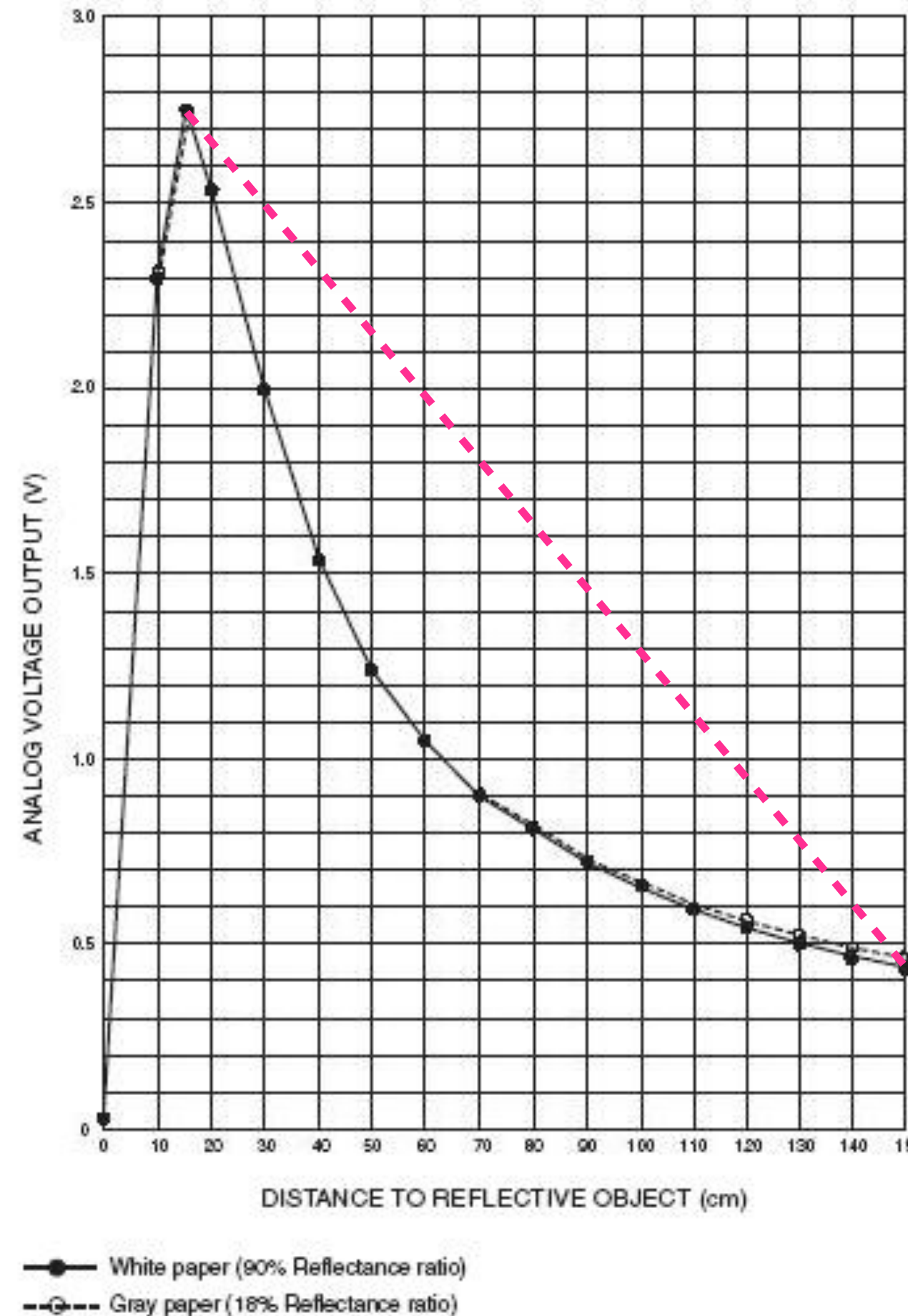
Saída A/D (12-bits) → "SL" (Shift-right 4-bits) → “index” para ponteiro (8-bits ⇒ $2^8 = 256$)

Distância (corrigida, [mm])

Ref.: Vanz, Robinson Caldart, Controlador digital para processo bola e tubo, TCC (Eng. Elétrica/UPF), 114p, 2006.

ENTENDENDO RESPOSTA DE UM SENSOR

- O sensor de distância GP2Y0A02YK baseado em IR do fabricante Sharp:
 - mede de 20 à 150 cm; máximo de $f_s = 20,87$ Hz.



Dados reais levantados → Lookup table em C:

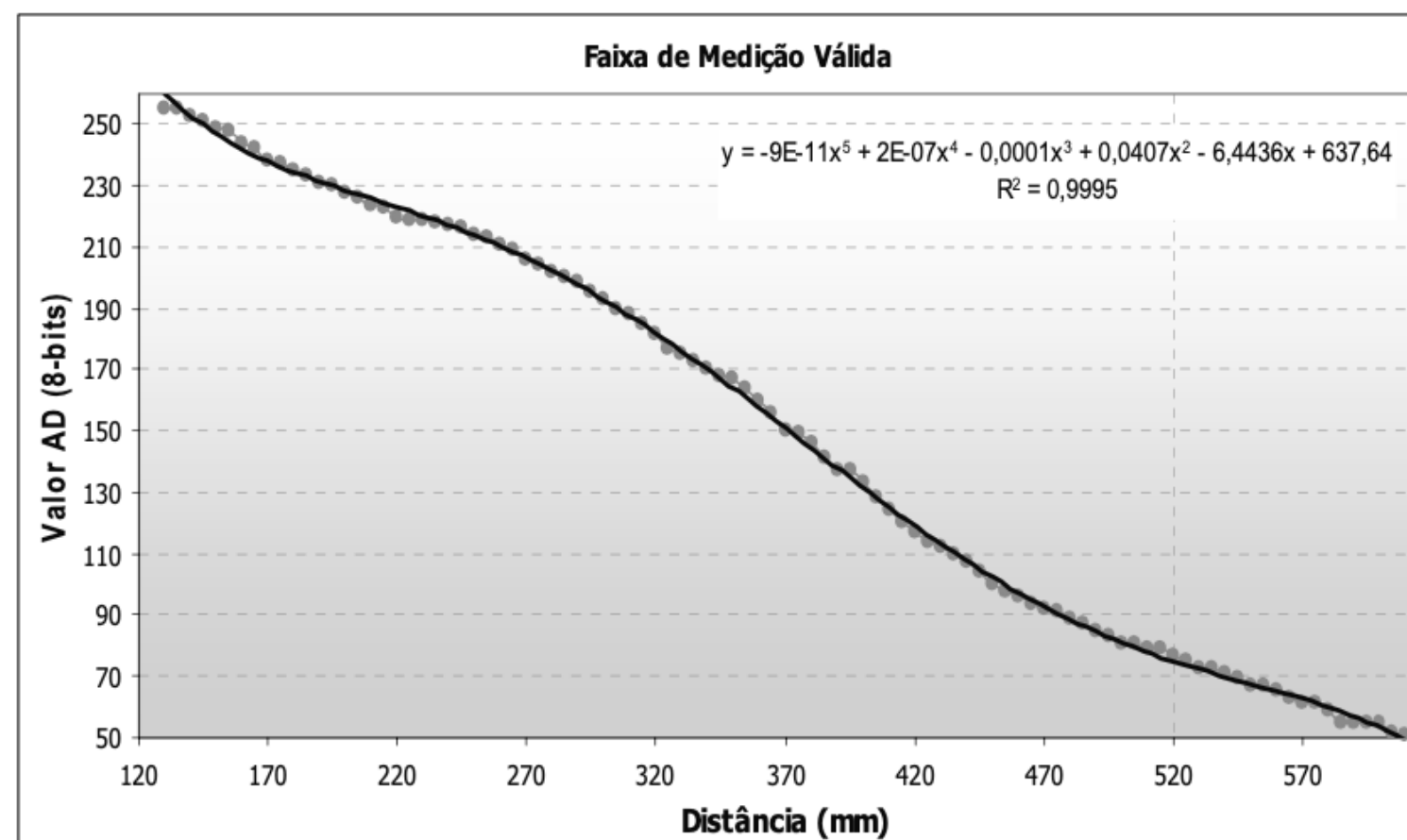


Figura 47 - Interpolação da resposta do sensor de IR

```
*****
***ROTINA GRAVA TABELA DE RESPOSTA DO SENSOR***
*****
void grava_dados(void)
{
/* Declarando e inicializando variavel com dados
ajustados para o sensor de distancia da SHARP
e convertidos para o A/D, 8 bits
*/
xdata unsigned int tabela[256]=
/* 0   1   2   3   4   5   6   7   8   9 */
{610, 610, 610, 610, 610, 610, 610, 610,
/*10  11  12  13  14  15  16  17  18  19 */
610, 610, 610, 610, 610, 610, 610, 610,
/*20  21  22  23  24  25  26  27  28  29 */
610, 610, 610, 610, 610, 610, 610, 610,
/*30  31  32  33  34  35  36  37  38  39 */
610, 610, 610, 610, 610, 610, 610, 610,
/*40  41  42  43  44  45  46  47  48  49 */
610, 610, 610, 610, 610, 610, 610, 610,
/*50  51  52  53  54  55  56  57  58  59 */
610, 610, 605, 601, 597, 593, 590, 587, 583, 580,
/*60  61  62  63  64  65  66  67  68  69 */
577, 573, 568, 565, 563, 560, 557, 553, 549, 545,
/*250 251 252 253 254 255 256 */
148, 145, 143, 140, 137, 133};

xdata unsigned int resp_altura[256]; //vetor p/ gravar a resposta do sistema
xdata unsigned int resp_saida[256]; //vetor p/ gravar a ação de controle
altura=&resp_altura;
duty_saida=&resp_saida;
sensor=&tabela;
} //o ponteiro recebe endereço da tabela
}
```

Ref.: Vanz, Robinson Caldart, Controlador digital para processo bola e tubo, TCC (Eng. Elétrica/UPF), 114p, 2006.

ENTENDENDO RESPOSTA

► O sensor de distância G

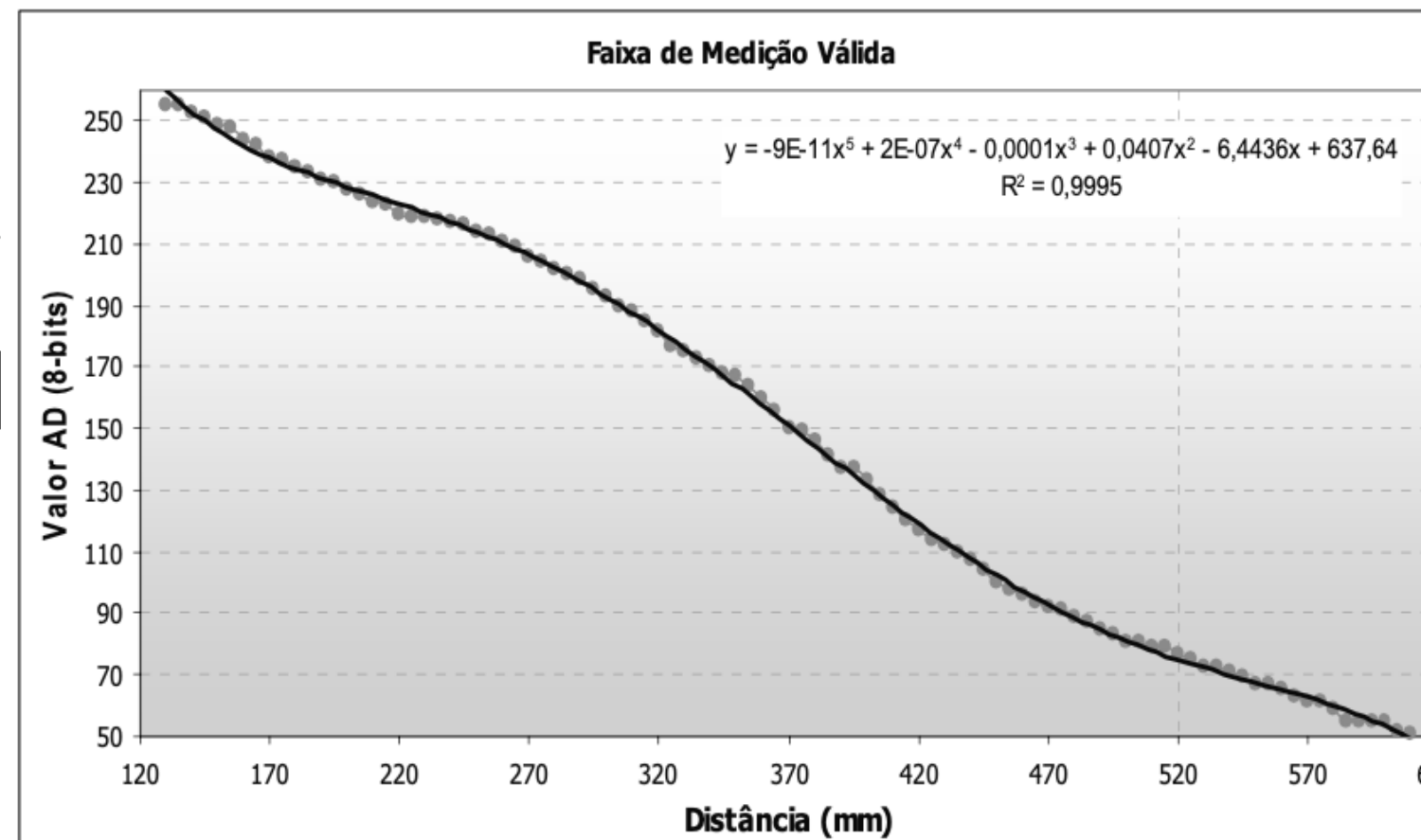
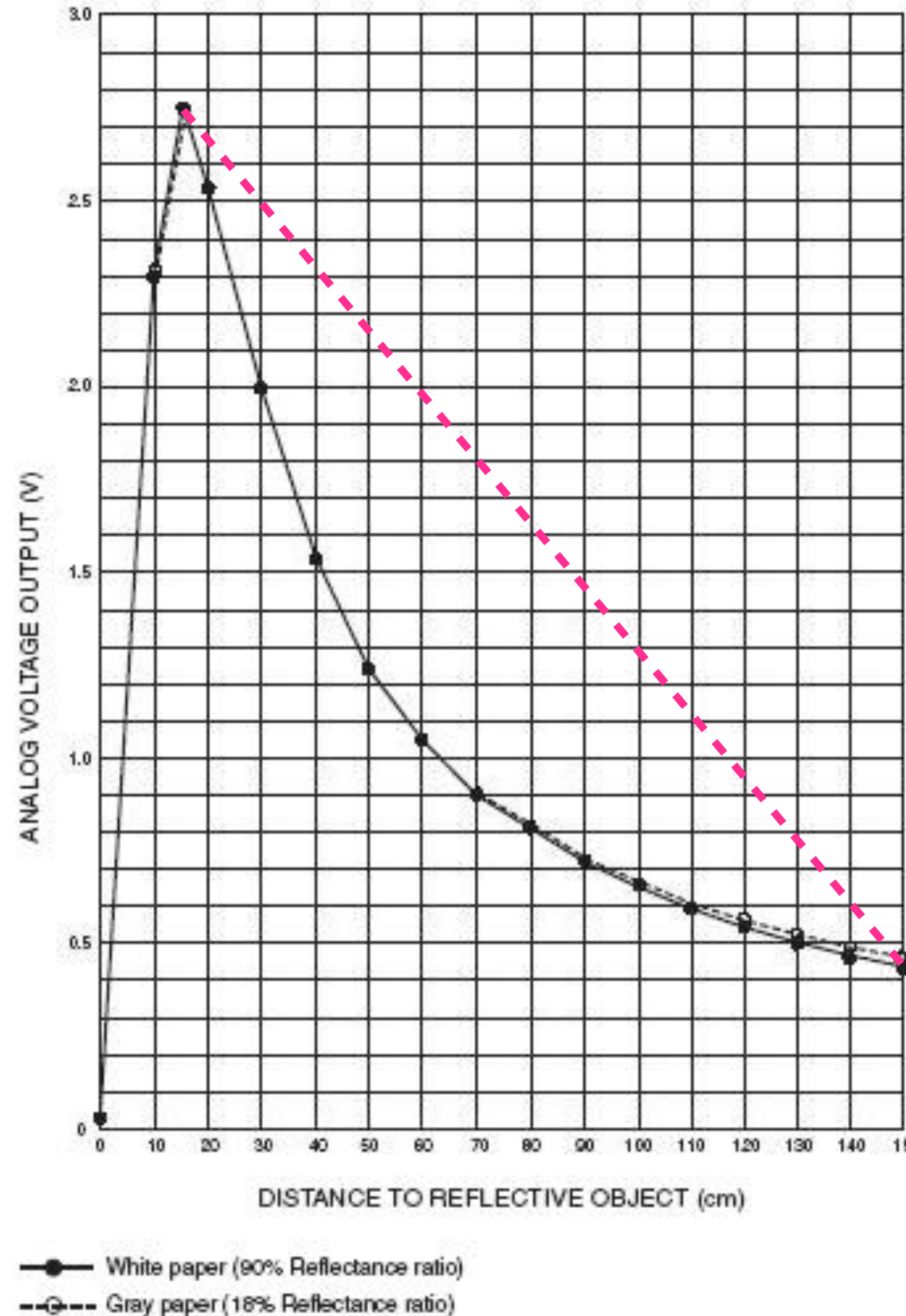


Figura 47 - Interpolação da resposta do sensor de IR

```
*****
*****ROTINA DE CONTROLE***INTERRUPÇÃO*****
*****
void cont1(void) interrupt 3
{
    SCONV=1;                                //Ativa uma conversão simples pelo bit SCONV
    while(!ADCI);                            //Espera pelo flag de fim de conversão
    ADCI=0;                                  //reset no flag de fim de conversão
    leitura = ADCDATAH*256 + ADCDATAL;      //armazena o valor lido pelo AD
    leitura = leitura>>4;                   //converte a leitura de 12 para 8 bits
    h_real = 620-(*sensor+leitura);          //converte a leitura do AD para milímetros
    erro0 = h_ref - h_real;                  //calcula erro

    switch(controle){
        case '1':                           //PID no formato de velocidade
            u0 = u1 + Kc*((erro0-erro1) + (Ts/Ti)*erro0 + (Td/Ts)*(erro0-2*erro1+erro2));
            if (u0>99.99) u0=99.99;
            if (u0<0) u0=0;
            u1=u0;                            //passa os valores para amostras em atraso
            erro2=erro1;
            erro1=erro0;
            break;
    }
}
```

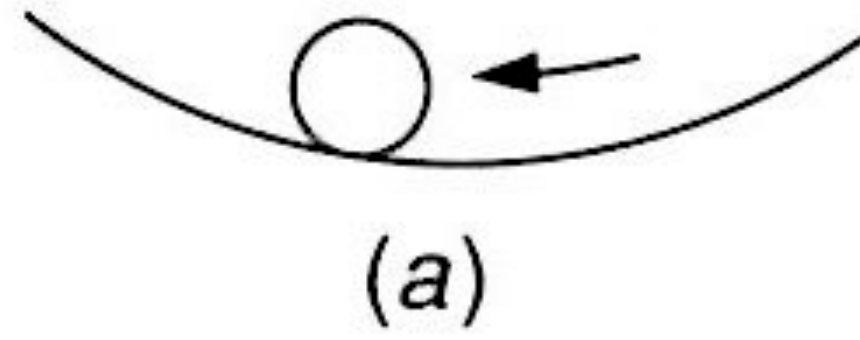
```
*****
***ROTINA GRAVA TABELA DE RESPOSTA DO SENSOR***
*****
void grava_dados(void)
{
    /* Declarando e inicializando variável com dados
     * ajustados para o sensor de distância da SHARP
     * e convertidos para o A/D, 8 bits
    */
    xdata unsigned int tabela[256]=
    {
        /* 0   1   2   3   4   5   6   7   8   9 */
        {610, 610, 610, 610, 610, 610, 610, 610, 610,
         /*10  11  12  13  14  15  16  17  18  19 */
         610, 610, 610, 610, 610, 610, 610, 610, 610,
         /*20  21  22  23  24  25  26  27  28  29 */
         610, 610, 610, 610, 610, 610, 610, 610, 610,
         /*30  31  32  33  34  35  36  37  38  39 */
         610, 610, 610, 610, 610, 610, 610, 610, 610,
         /*40  41  42  43  44  45  46  47  48  49 */
         610, 610, 610, 610, 610, 610, 610, 610, 610,
         /*50  51  52  53  54  55  56  57  58  59 */
         610, 610, 605, 601, 597, 593, 590, 587, 583, 580,
         /*60  61  62  63  64  65  66  67  68  69 */
         577, 573, 568, 565, 563, 560, 557, 553, 549, 545,
         /*70  71  72  73  74  75  76  77  78  79 */
         /*80  81  82  83  84  85  86  87  88  89 */
         /*90  91  92  93  94  95  96  97  98  99 */
         /*100 101 102 103 104 105 106 107 108 109 */
         /*110 111 112 113 114 115 116 117 118 119 */
         /*120 121 122 123 124 125 126 127 128 129 */
         /*130 131 132 133 134 135 136 137 138 139 */
         /*140 141 142 143 144 145 146 147 148 149 */
         /*150 151 152 153 154 155 156 157 158 159 */
         /*160 161 162 163 164 165 166 167 168 169 */
         /*170 171 172 173 174 175 176 177 178 179 */
         /*180 181 182 183 184 185 186 187 188 189 */
         /*190 191 192 193 194 195 196 197 198 199 */
         /*200 201 202 203 204 205 206 207 208 209 */
         /*210 211 212 213 214 215 216 217 218 219 */
         /*220 221 222 223 224 225 226 227 228 229 */
         /*230 231 232 233 234 235 236 237 238 239 */
         /*240 241 242 243 244 245 246 247 248 249 */
         /*250 251 252 253 254 255 256 */
         148, 145, 143, 140, 137, 133 };
    esp_altura[256]; //vetor p/ gravar a resposta do sistema
    esp_saida[256]; //vetor p/ gravar a ação de controle
    ;
    saida;
}
```

//o ponteiro recebe endereço da tabela

Ref.: Vanz, Robinson Caldart, Controlador digital para processo bola e tubo, TCC (Eng. Elétrica/UPF), 114p, 2006.

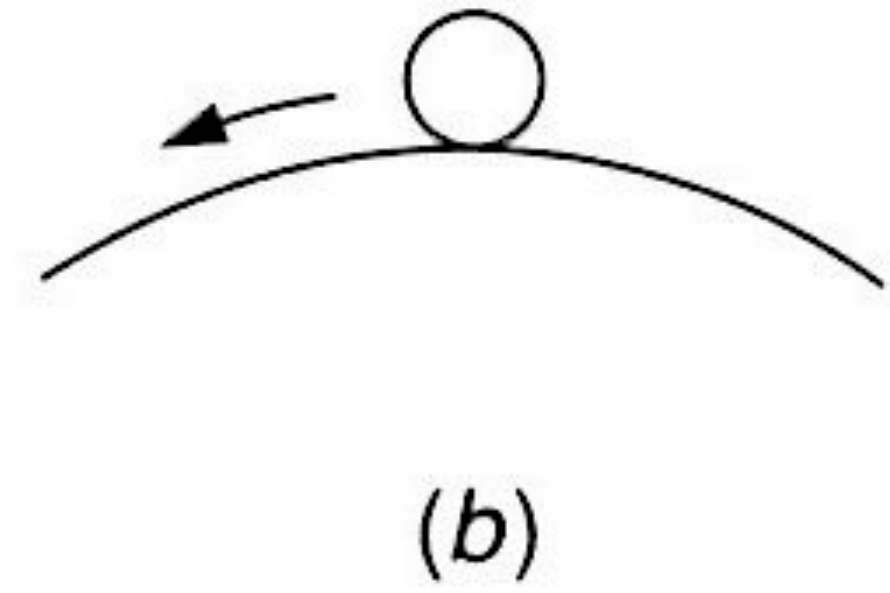
SISTEMA ESTÁVEL X INSTÁVEL

Retorna à
posição
inicial depois
do impulso



(a)

Não retorna à posição
inicial depois do impulso



(b)

(a) Estável

(b) Instável

FUNÇÃO TRANSFERÊNCIA, SISTEMAS MALHA-ABERTA

- São comuns elementos em cascata neste tipo de sistema:



Elemento 1:

$$G_1 = \frac{u_1}{u_i}$$

Elemento 2:

$$G_2 = \frac{u_2}{u_1}$$

Elemento 3:

$$G_3 = \frac{u_o}{u_2}$$

Função transferência (global) do sistema completo: $G = G_1 \cdot G_2 \cdot G_3$

$$G = \frac{u_o}{u_i} = \frac{u_1}{u_i} \cdot \frac{u_2}{u_1} \cdot \frac{u_o}{u_2}$$

EXEMPLO SISTEMA MALHA-ABERTA

- Um sistema de medição usado com um sistema de controle consiste em 2 elementos: um sensor e um transmissor de sinais. Se o sensor tem uma função transferência de 0,1 mA/Pa e o transmissor de sinais uma função de transferência de 20, qual será a função de transferência final do sistema de medição?

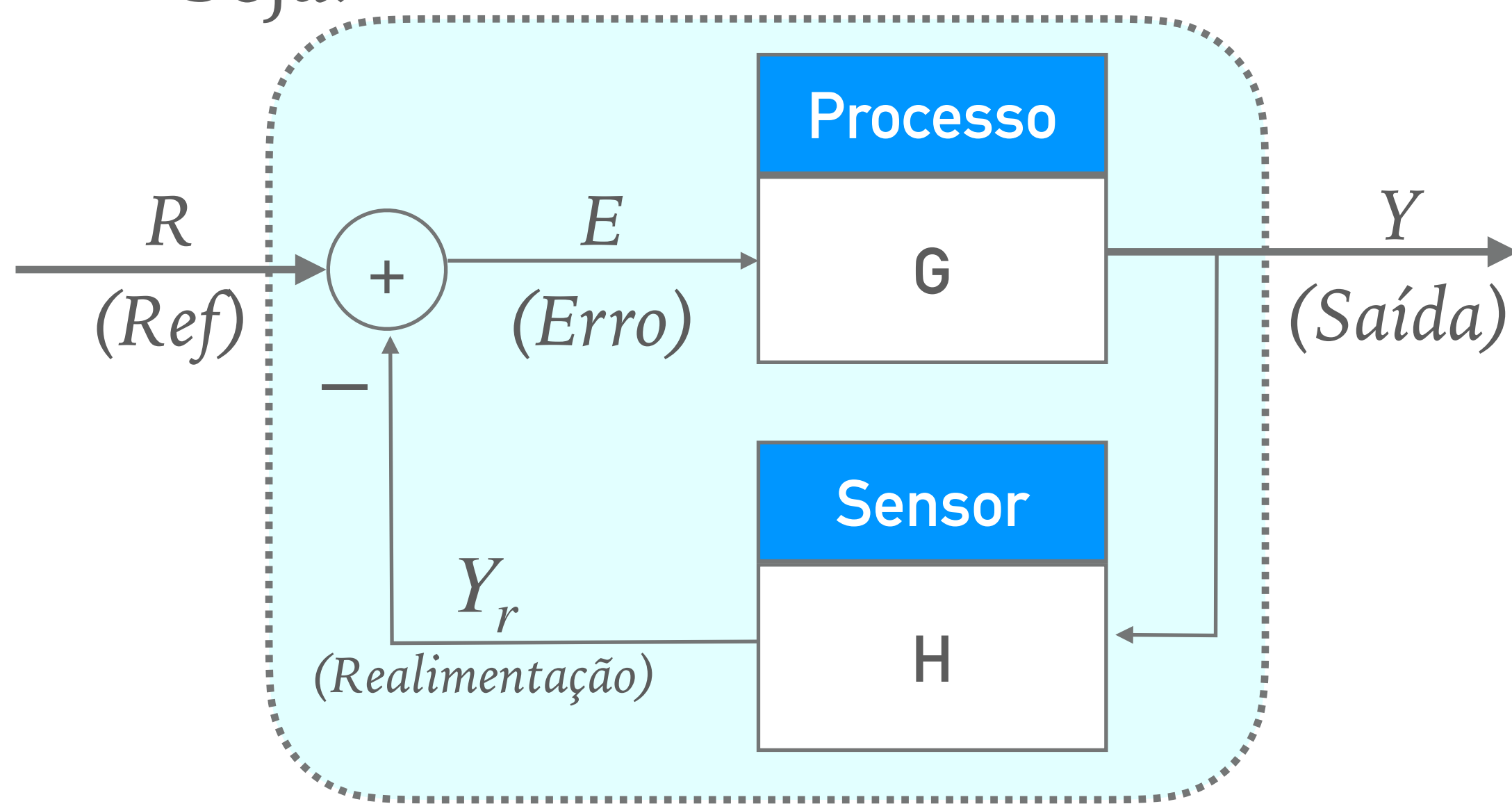


- Solução:

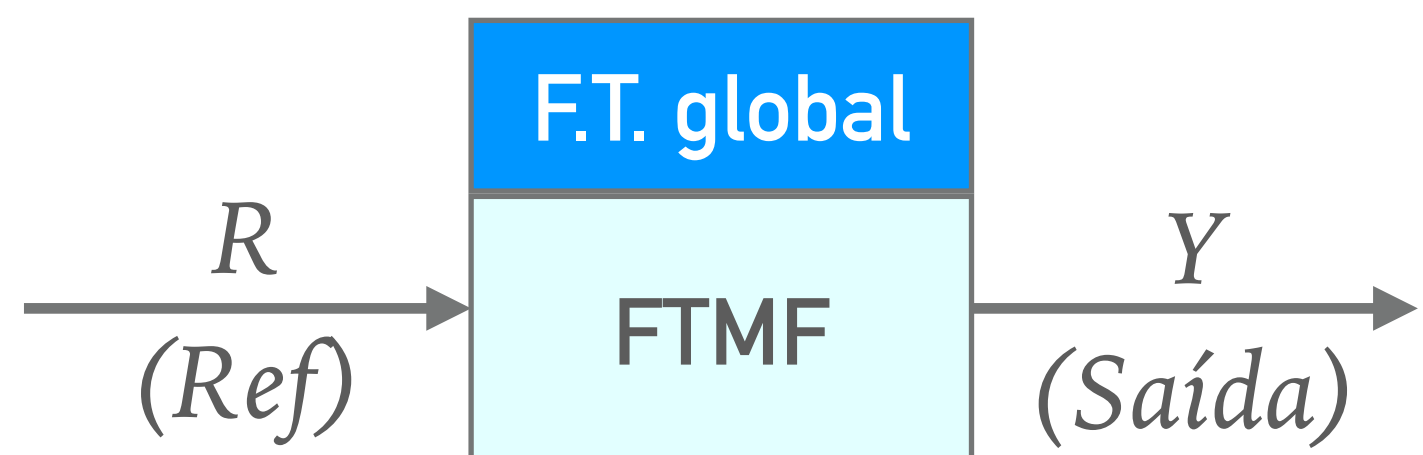
Função transferência final, $G = 0,1 \times 20 = 2 \text{ mA/Pa}$.

FUNÇÃO TRANSFERÊNCIA DE MALHA-FECHADA

► Seja:



Deseja-se obter o sistema equivalente em MF, ou seja:



Dedução:

$$(1) Y = E \cdot G$$

$$(2) E = R - Y_r$$

$$(3) Y_r = Y \cdot H$$

Substituindo-se (3) em (2):

$$(4) E = R - Y \cdot H$$

Substituindo-se (4) em (1):

$$Y = [R - Y \cdot H] G$$

$$Y = R \cdot G - Y \cdot H \cdot G$$

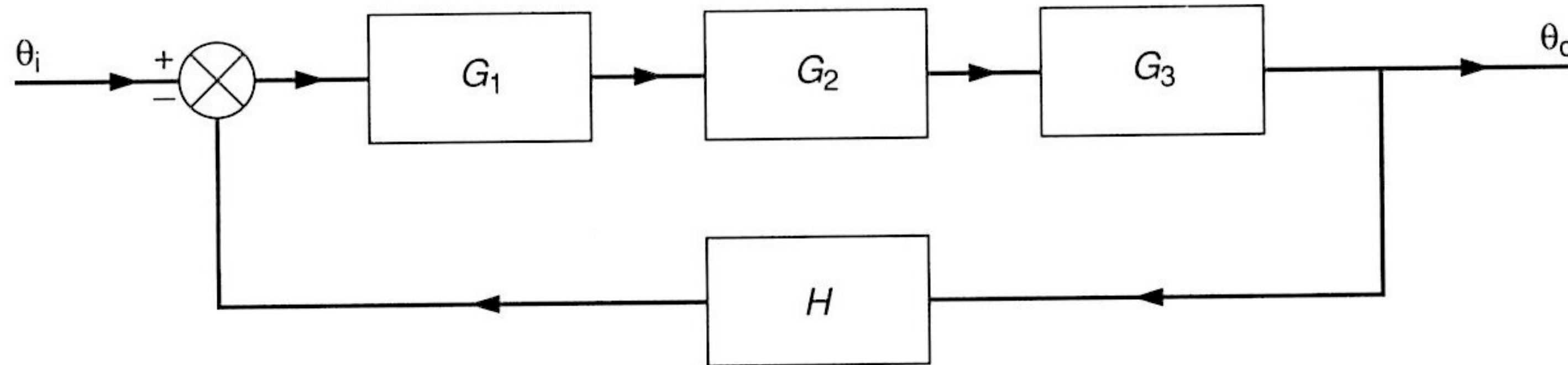
Isolando Y:

$$Y [1 + H \cdot G] = R \cdot G$$

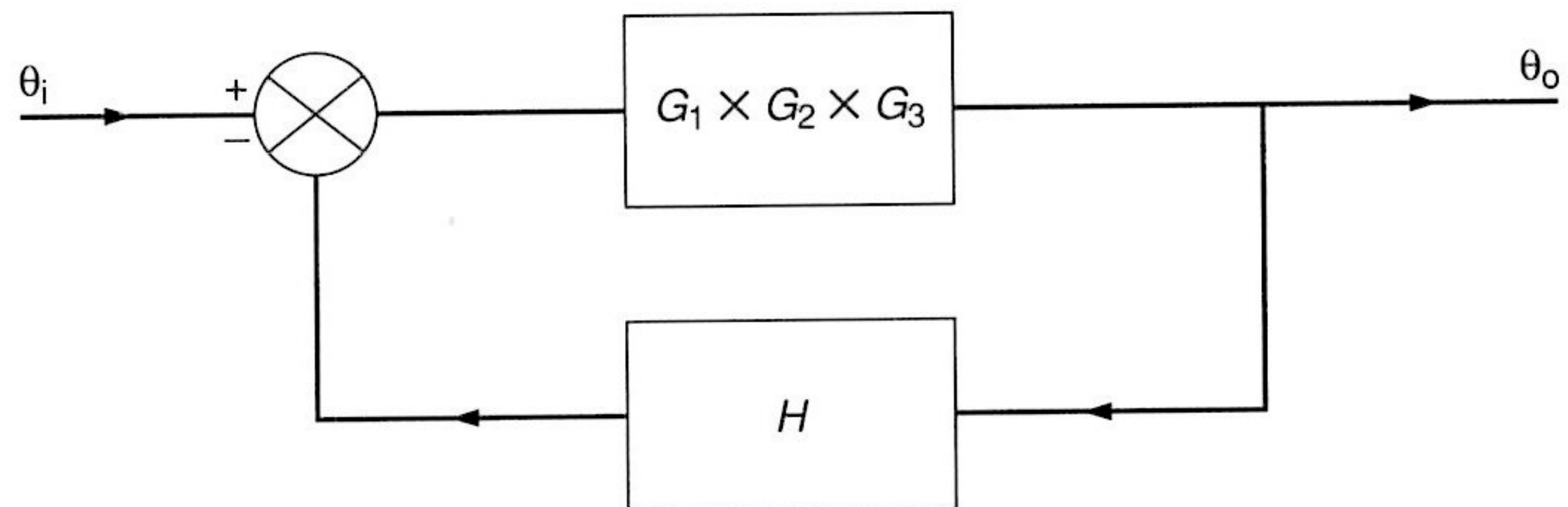
Como queremos $\frac{Y}{R}$:

$$FTMF = \frac{Y}{R} = \frac{G}{1 + H \cdot G}$$

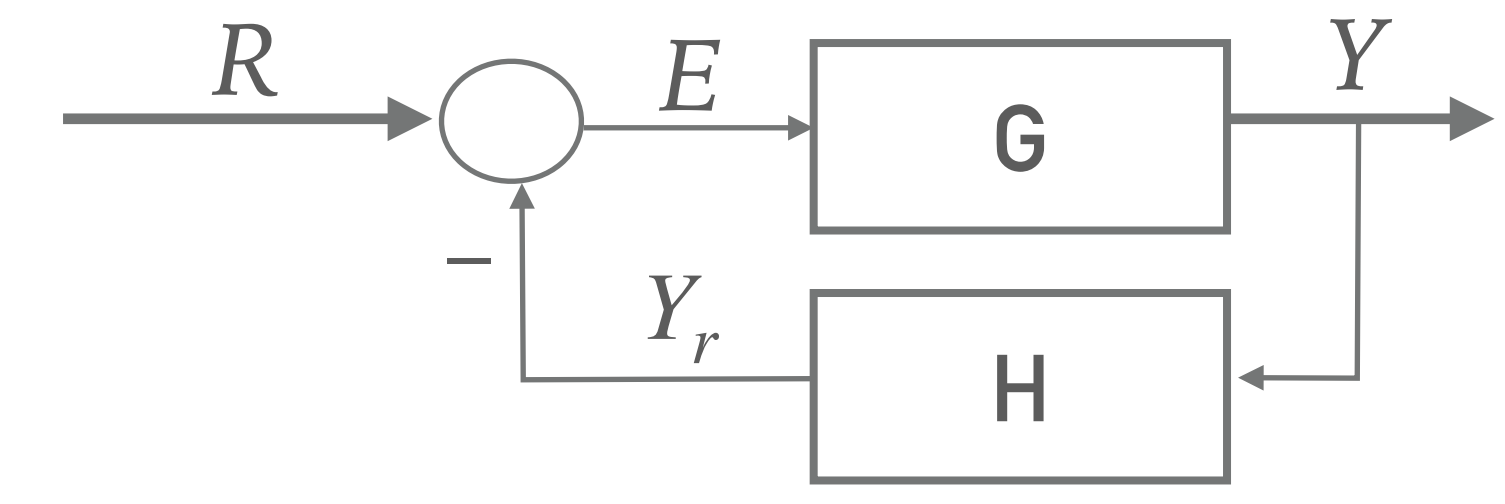
SISTEMAS MALHA-FECHADA COM VÁRIOS ELEMENTOS



Função transferência dos elementos em série (em cascata) = $G_1 \cdot G_2 \cdot G_3$

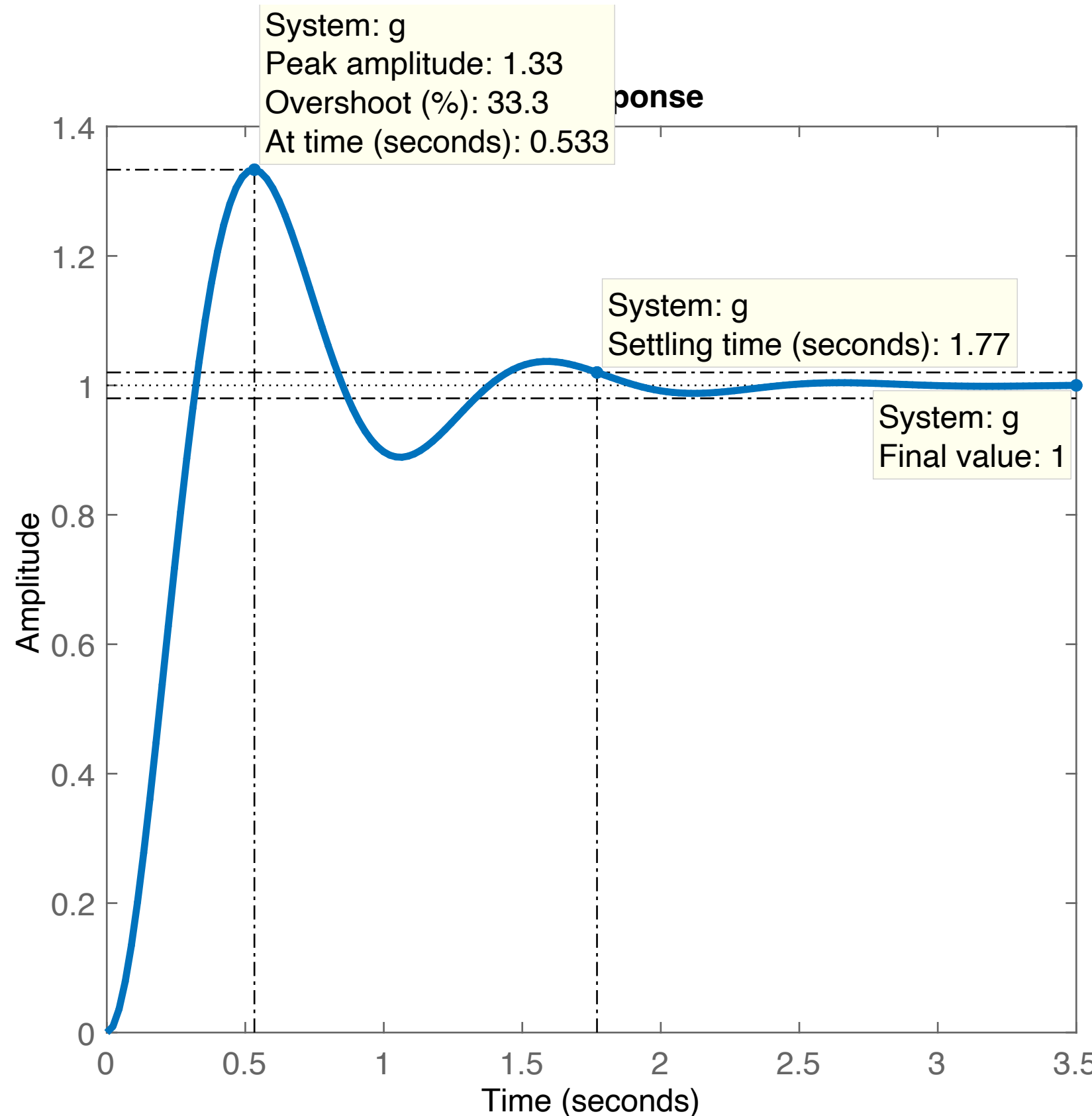


Função transferência final, $G = \frac{\theta_o}{\theta_i} = \frac{G_1 G_2 G_3}{1 + (G_1 G_2 G_3) H}$



$$FTMF = \frac{Y}{R} = \frac{G}{1 + H \cdot G}$$

E A "DINÂMICA" DE UM SISTEMA?....



Obs.: Falta considerar a "*dinâmica do sistema*":

Até este momento nenhum modelo apresentado considera a "dinâmica" do sistema, ou seja, a forma como o mesmo responde ao longo do tempo. Seriam análises "DC" e não "AC".

Importante considerar a dinâmica de um sistema porque um requisito importante de controle é "*tempo de assentamento*": período de tempo máximo estipulado para que a resposta de um sistema não varie mais que 2% (eventualmente 5% quando indicado) (o que se chama comumente de "*regime permanente*").

Notar que em nenhuma equação anterior apareceu a variável t (tempo).

SISTEMAS MECÂNICOS

- Elementos básicos: Molas, Amortecedores, Massa e transmissões.
As **molas** representam a rigidez do sistema;
Os **amortecedores**, as forças de oposição ao movimento, os efeitos de amortecimento e fricção;
As **massas**, a inércia ou resistência à aceleração.
- Sua análise envolve 2 tipos distintos de movimentos: **translacional** × **rotacional**.
- O equacionamento do sistema pode ser realizado usando **leis de Newton**.
- Assim: sistemas mecânicos estão sujeitos à:
 - **forças (quando translacionais)** e
 - **torques (quando rotacionais)**.
- Outro enfoque: envolver a **análise energética** do movimento mecânico do sistema.
Não usariamos as leis de Newton, mas sim equações de Lagrange.
Porém os mesmos resultados seriam obtidos, mas neste caso, considerando-se um equacionamento com base em energias e potências envolvidas no movimento de um sistema.

SISTEMAS MECÂNICOS

- Elementos básicos: Molas, Amortecedores, Massa e transmissões.
As **molas** representam a rigidez do sistema;
Os **amortecedores**, as forças de oposição ao movimento, os efeitos de amortecimento e fricção;
As **massas**, a inércia ou resistência à aceleração
- Sua análise envolve 2 tipos distintos de movimento:
- O equacionamento do sistema pode ser realizado:
- Assim: sistemas mecânicos estão sujeitos à:
 - **forças (quando translacionais)** e
 - **torques (quando rotacionais)**.
- Outro enfoque: envolver a análise energética
Não usariamos as leis de Newton, mas sim equações de conservação de energia.
Porém os mesmos resultados seriam obtidos, com base em energias e potências envolvidas no movimento de um sistema.

Quando abordamos **movimentos translacionais**, estamos associando o movimento de uma massa geralmente conectada a outras massas por meio de molas e amortecedores.

O movimento linear pode ser realizado no espaço (em 3 eixos), porém aqui, estaremos restringindo os movimentos à um plano.

SISTEMA MECÂNICO TRANSLACIONAL: MOLA

► Bloco mola:

Uma mola é um componente que **resiste a aplicação de força** proporcionalmente com sua elongação:

► Obedece a lei de Hooke:

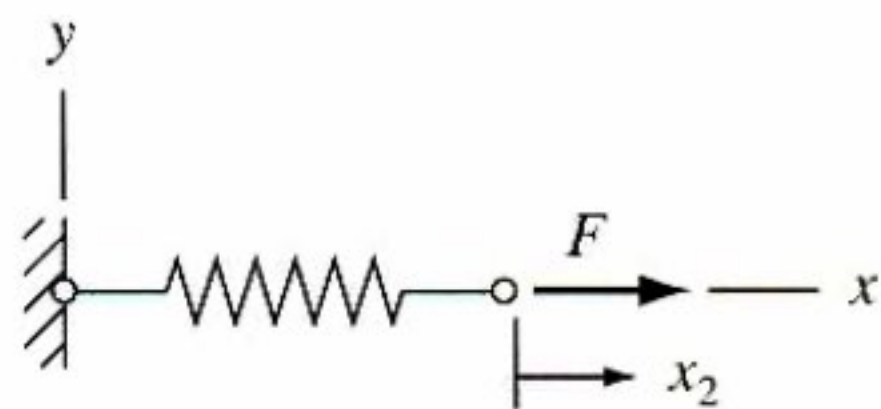
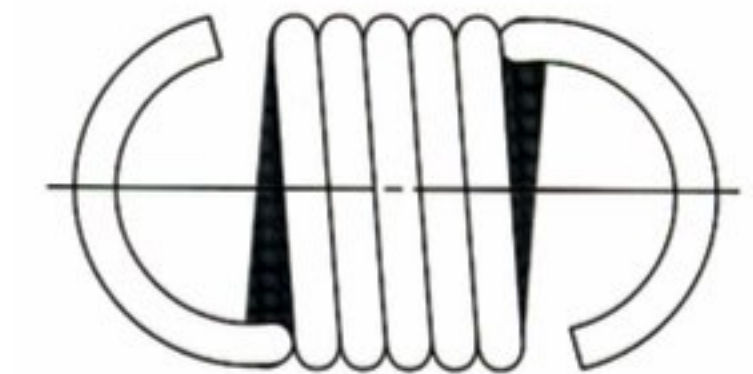
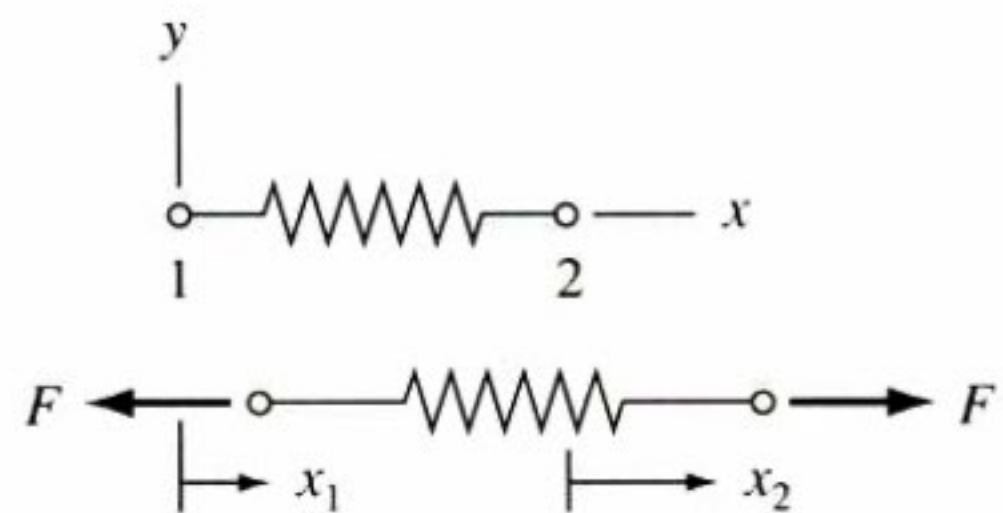
$$F = k(x_1 - x_2)$$

onde k = constante elástica da mola [$N \cdot m$]

► Caso estiver engastada:

$$F = k \cdot x_2$$

► Mola: também serve como acumulador de energia.



SISTEMA MECÂNICO TRANSLACIONAL: AMORTECEDOR

► Bloco amortecedor:

Representa as forças experimentadas quando nos esforçamos para empurrar um objeto através de um fluido ou para mover um objeto contra forças de atrito.

O “amortecedor” usado para representar essas forças que retardam o movimento de objetos pode ser considerado um “pistão” movendo-se em um cilindro fechado. É um componente mecânico que **resiste a velocidade imposta**.

$$\mathbf{F} = b \cdot (\dot{x}_2 - \dot{x}_1)$$

onde b = coeficiente de atrito viscoso [$N \cdot s/m$]

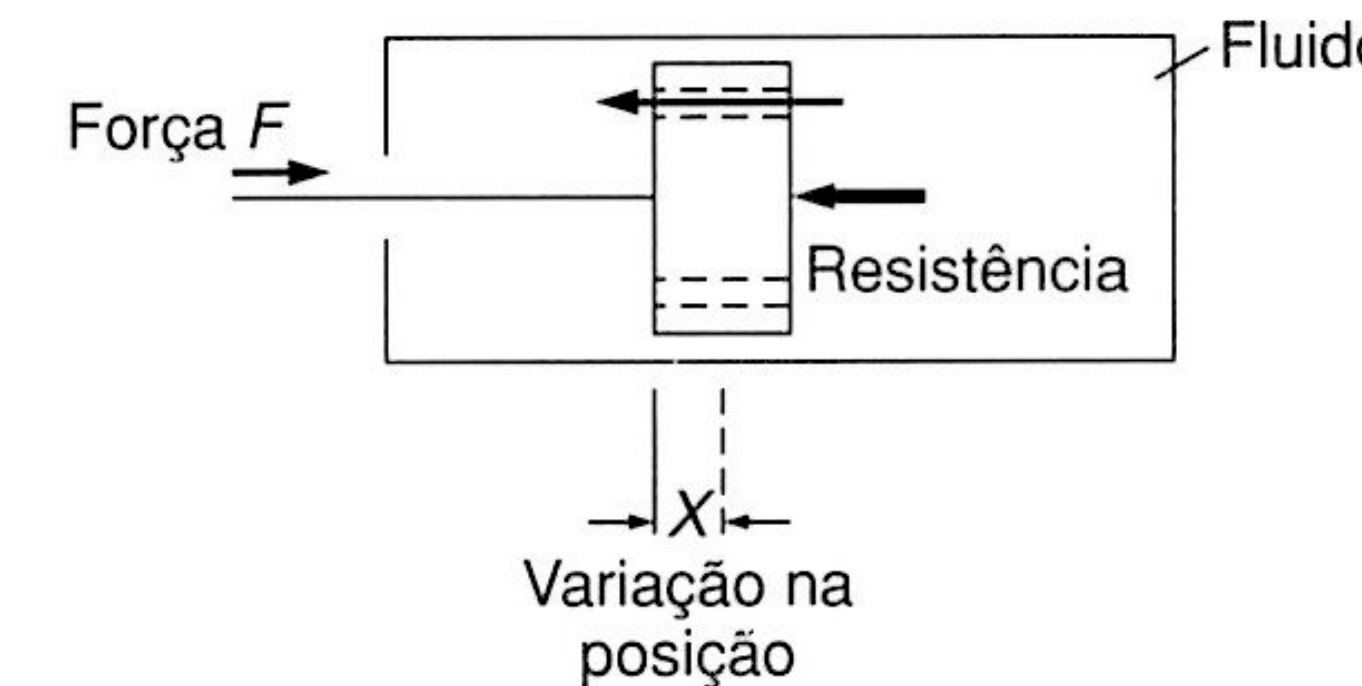
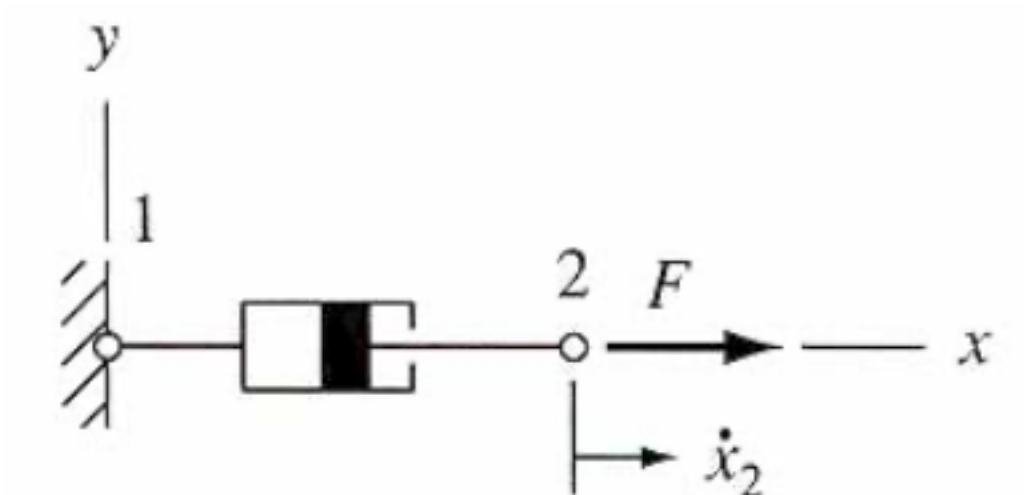
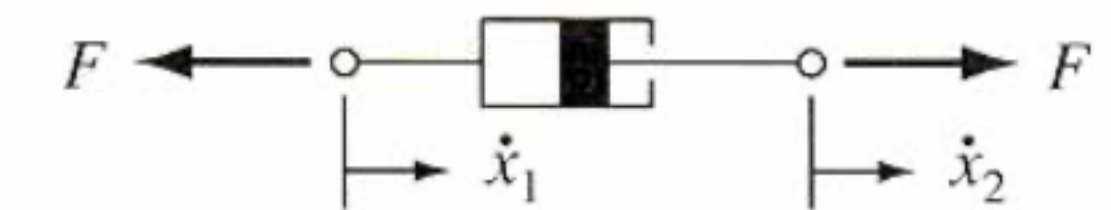
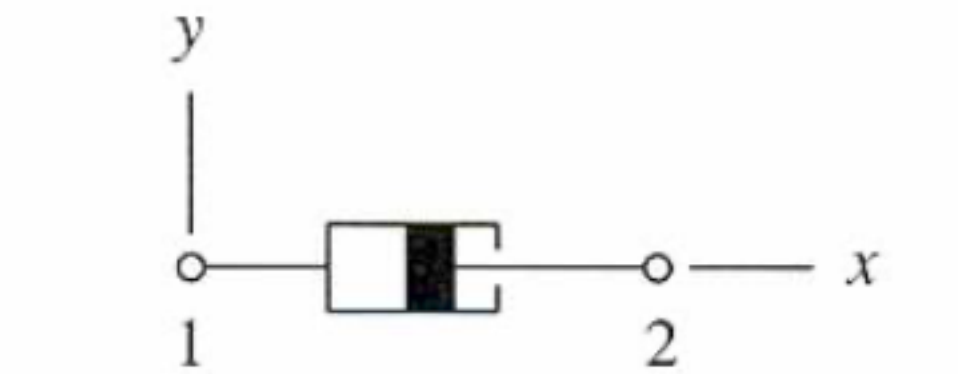
► Caso esteja engastado:

$$F = b \cdot \dot{x}_2$$

$$\mathbf{F} = b \cdot v = b \cdot \frac{dx}{dt} = b \cdot \dot{x}$$

onde: v = velocidade do deslocamento.

► Dissipa energia.



SISTEMA MECÂNICO TRANSLACIONAL: MASSA

► Bloco massa:

É uma propriedade do material que causa resistência à aceleração.

Reconhecemos uma massa quando tentamos movimentá-la e necessitamos aplicar uma força para colocá-la em movimento (acelerá-la).

Parte da força aplicada é devido ao atrito entre a superfície e a massa.

Outra parte é devido a esta propriedade de **resistir à aceleração**.

Quanto maior a massa, maior a força requerida para desenvolver uma aceleração específica.

► Segunda lei de Newton:

$$\sum \text{Forças} = m\ddot{x}$$

ou:

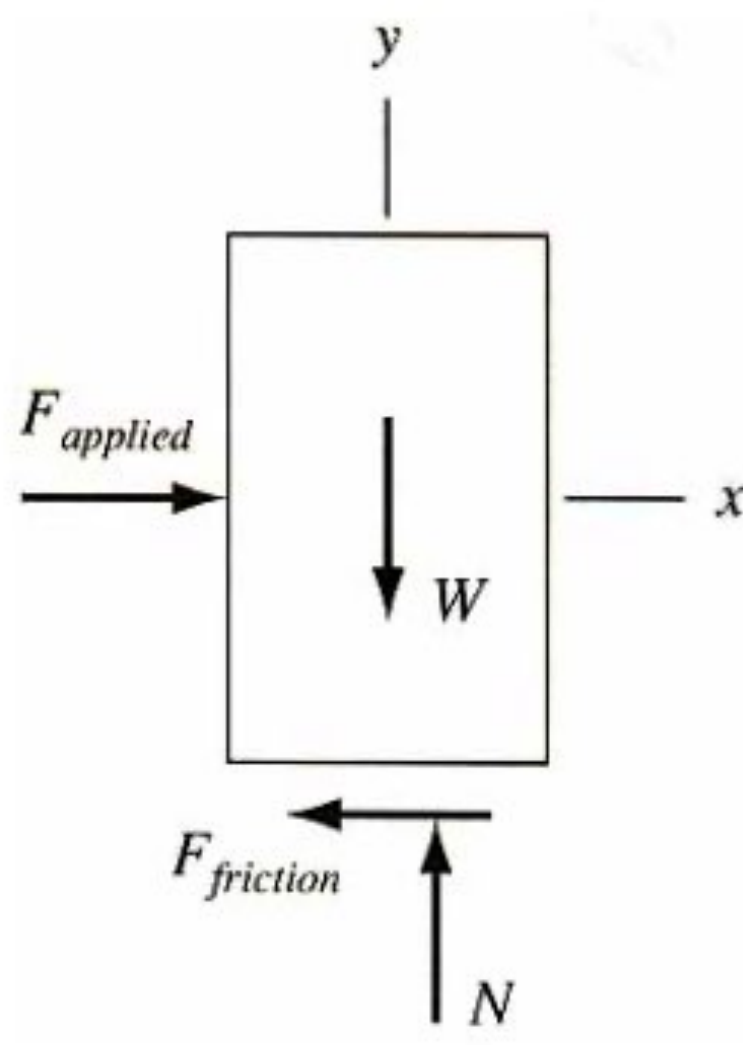
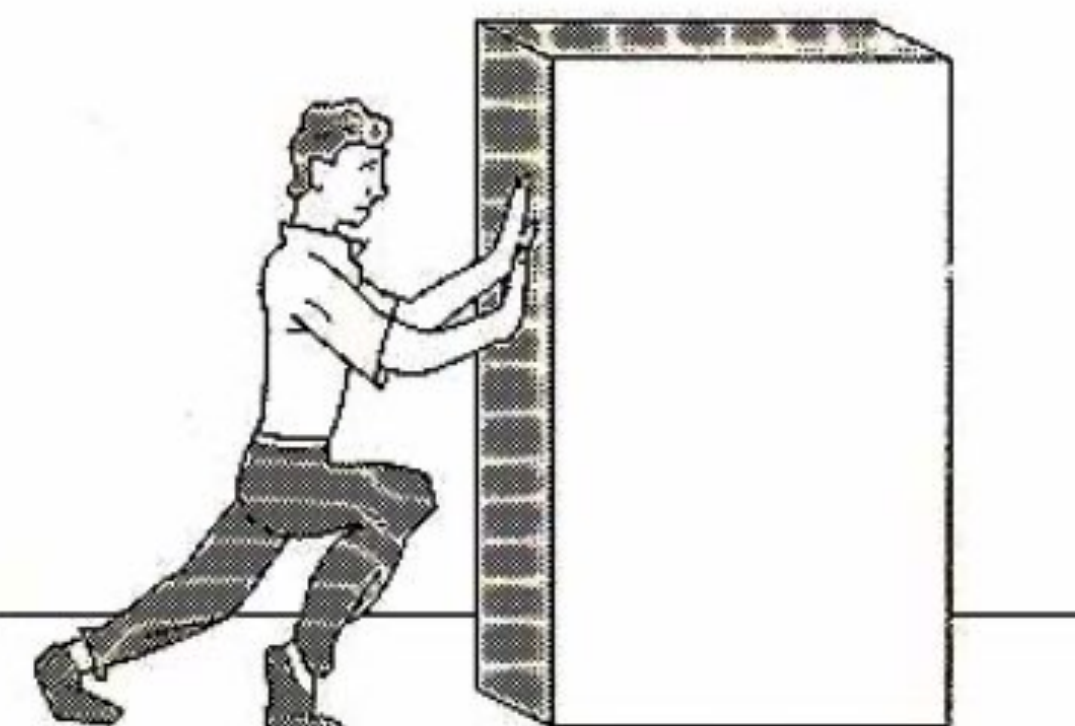
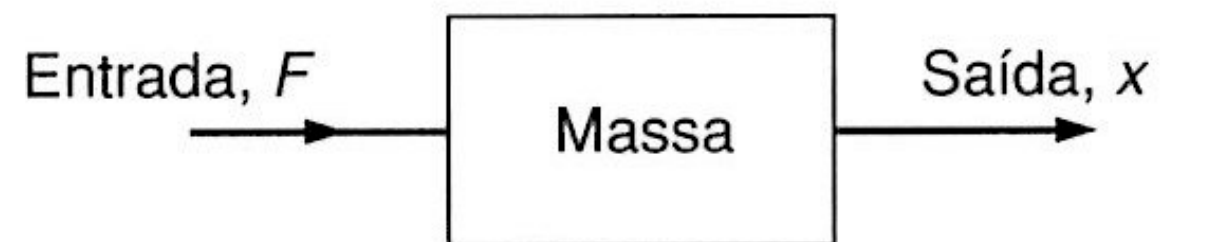
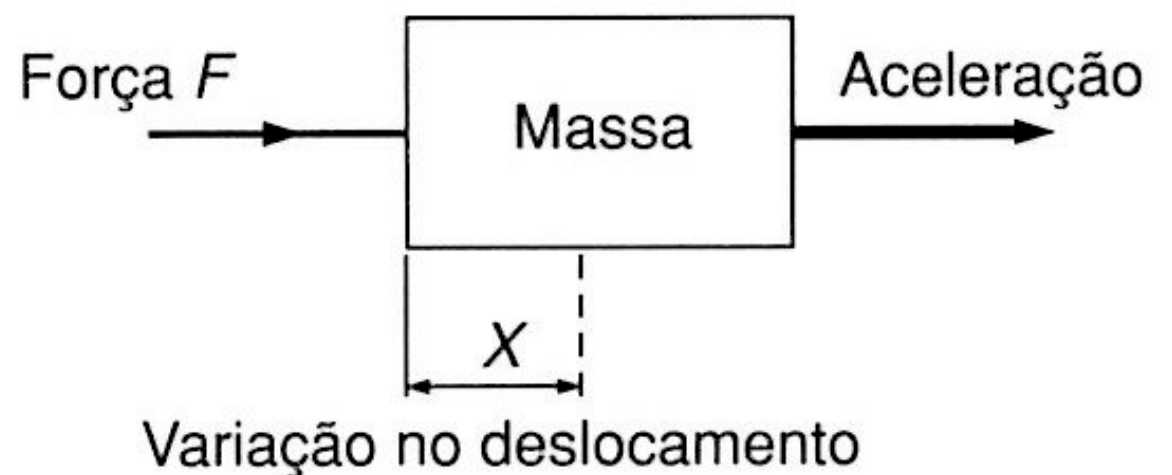
$$F = m \cdot a = m \cdot \frac{dv}{dt} = m \cdot \frac{d^2x}{dt^2} = m \cdot \ddot{x}$$

► Na figura inferior ao lado, o sistema de forças poderia ser equacionado como:

$$F_{aplicada} - F_{atrito} = m \cdot \ddot{x}$$

Se desconsiderarmos o atrito, poderia-se dizer que a força aplicada numa massa corresponde à reação (aceleração) que uma massa desenvolverá:

$$F_{aplicada} = m \cdot \ddot{x}$$



SISTEMA MECÂNICO TRANSLACIONAL: RESUMO

Elementos	Equação	Constante de proporcionalidade	
Massa	$f_m = m \cdot \ddot{x}$	Massa, m	2a-Lei de Newton
Amortecedor	$f_c = c \cdot (\dot{x}_2 - \dot{x}_1)$	Coeficiente de amortecimento viscoso, c	
Mola	$f_k = k \cdot (x_2 - x_1)$	Rigidez, k	lei de Hooke

EXEMPLO_1:

► Seja o sistema mola-amortecedor mostrado na figura ao lado:

a) Encontre as equações diferenciais do sistema que relacionam os deslocamentos x_1 e x_2 .

b) Encontre as funções transferências: $\frac{X_2(s)}{P(s)}$ e $\frac{X_1(s)}{P(s)}$.

c) Se a força aplicada $p(t)$ for constante, o que ocorre com a posição x_1 e x_2 ?

Solução:

a) Em cada ponto de translação, equacionar o equilíbrio de forças em cada nó:

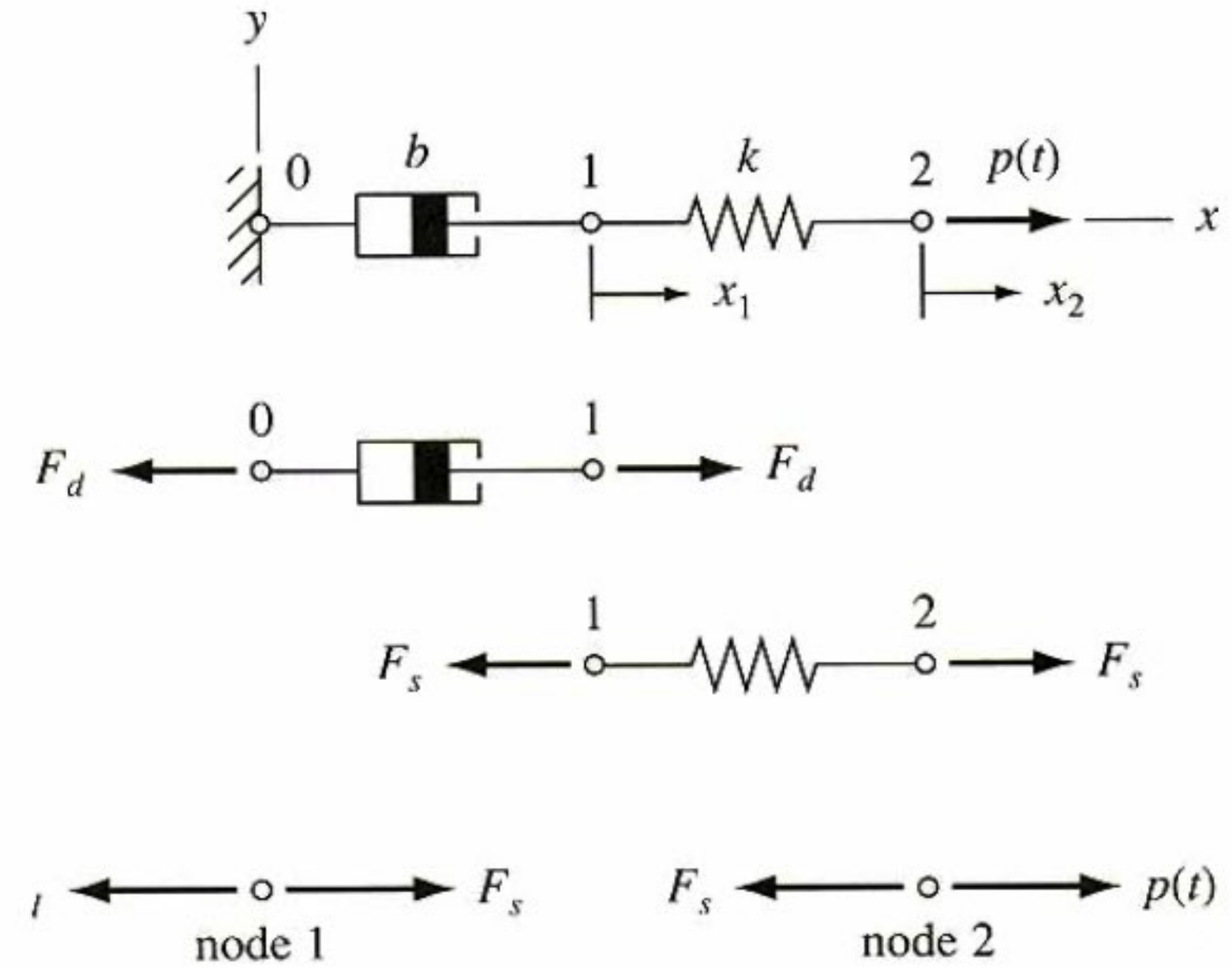
Nó 2: se fracionarmos na direção do eixo x , a mola com uma força $p(t)$, a mesma regerá com uma força contrária ao movimento, F_s :

$$F_s = k \cdot (x_2 - x_1) = p(t)$$

Nó 1: devido a tração da mola (F_s), o amortecedor reage com uma força contrária ao movimento da mola, F_d :

$$b \cdot \dot{x}_1 = F_d = F_s$$

Assim: $b \cdot \dot{x}_1 = k \cdot (x_2 - x_1) = p(t)$



EXEMPLO_1:

► Seja o sistema mola-amortecedor mostrado na figura ao lado:

- a) Encontre as equações diferenciais do sistema que relacionam os deslocamentos x_1 e x_2 .

- b) Encontre as funções transferências: $\frac{X_2(s)}{P(s)}$ e $\frac{X_1(s)}{P(s)}$.

- c) Se a força aplicada $p(t)$ for constante, o que ocorre com a posição x_1 e x_2 ?

Solução:

a) Assim: $b \cdot \dot{x}_1 = k \cdot (x_2 - x_1) = p(t)$

b) Transformada de Laplace (condições iniciais nulas):

$$b \cdot s \cdot X_1(s) = k \cdot (X_2(s) - X_1(s)) = P(s)$$

$$(b \cdot s + k) \cdot X_1(s) = k \cdot X_2(s)$$

$$X_1(s) = \frac{k}{(b \cdot s + k)} \cdot X_2(s)$$

$$\text{Logo: } \frac{X_1(s)}{P(s)} = \frac{1}{b \cdot s}$$

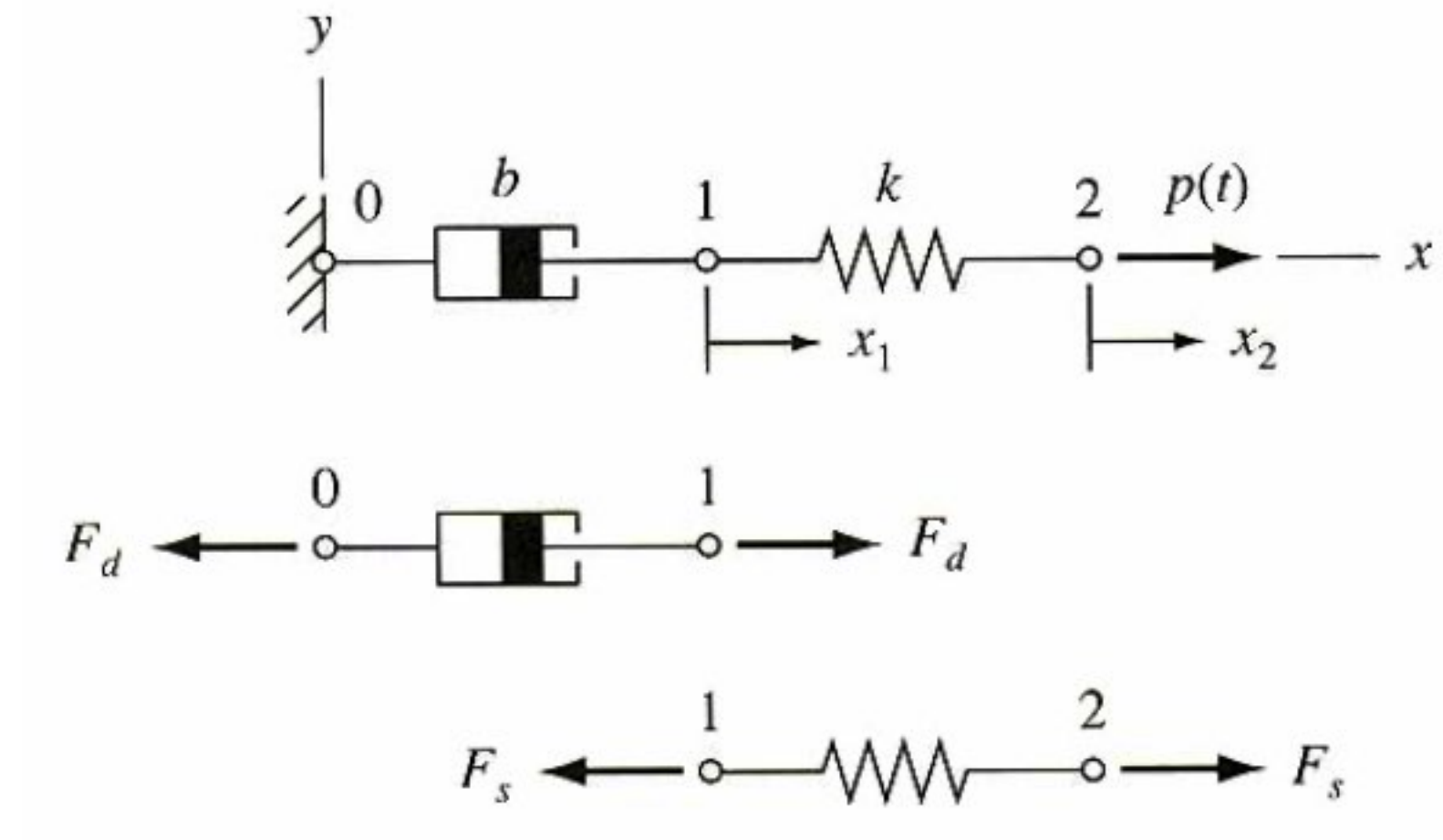
b) Transformada de Laplace (condições iniciais nulas):

$$k \cdot \left(X_2(s) - \frac{k}{(b \cdot s + k)} \cdot X_2(s) \right) = P(s)$$

$$k \cdot \left(\frac{b \cdot s + k - k}{(b \cdot s + k)} \right) \cdot X_2(s) = P(s)$$

$$k \cdot \left(\frac{s}{(s + k/b)} \right) \cdot X_2(s) = P(s)$$

$$\text{Logo: } \frac{X_2(s)}{P(s)} = \frac{1}{k} \cdot \left(\frac{s + k/b}{s} \right)$$



EXEMPLO_1:

► Seja o sistema mola-amortecedor mostrado na figura ao lado:

a) Encontre as equações diferenciais do sistema que relacionam os deslocamentos x_1 e x_2 .

b) Encontre as funções transferências: $\frac{X_2(s)}{P(s)}$ e $\frac{X_1(s)}{P(s)}$.

c) Se a força aplicada $p(t)$ for constante, o que ocorre com a posição x_1 e x_2 ?

Solução:

a) Assim: $b \cdot \dot{x}_1 = k \cdot (x_2 - x_1) = p(t)$

c) Se $p(t) = cte \rightarrow P(s) = \frac{cte}{s}$

$$\text{Assim: } X_1(s) = \frac{1}{b \cdot s} \cdot \frac{cte}{s} = \frac{cte}{b} \cdot \frac{1}{s^2}$$

$$X_2(s) = \frac{1}{k} \left(\frac{s + k/b}{s} \right) \cdot \frac{cte}{s} = \frac{A}{s} + \frac{B}{s^2}$$

$$\therefore x_1(t) = \frac{cte}{b} \cdot t$$

$$\therefore x_2(t) = \frac{cte}{k} + \frac{cte}{b} t$$

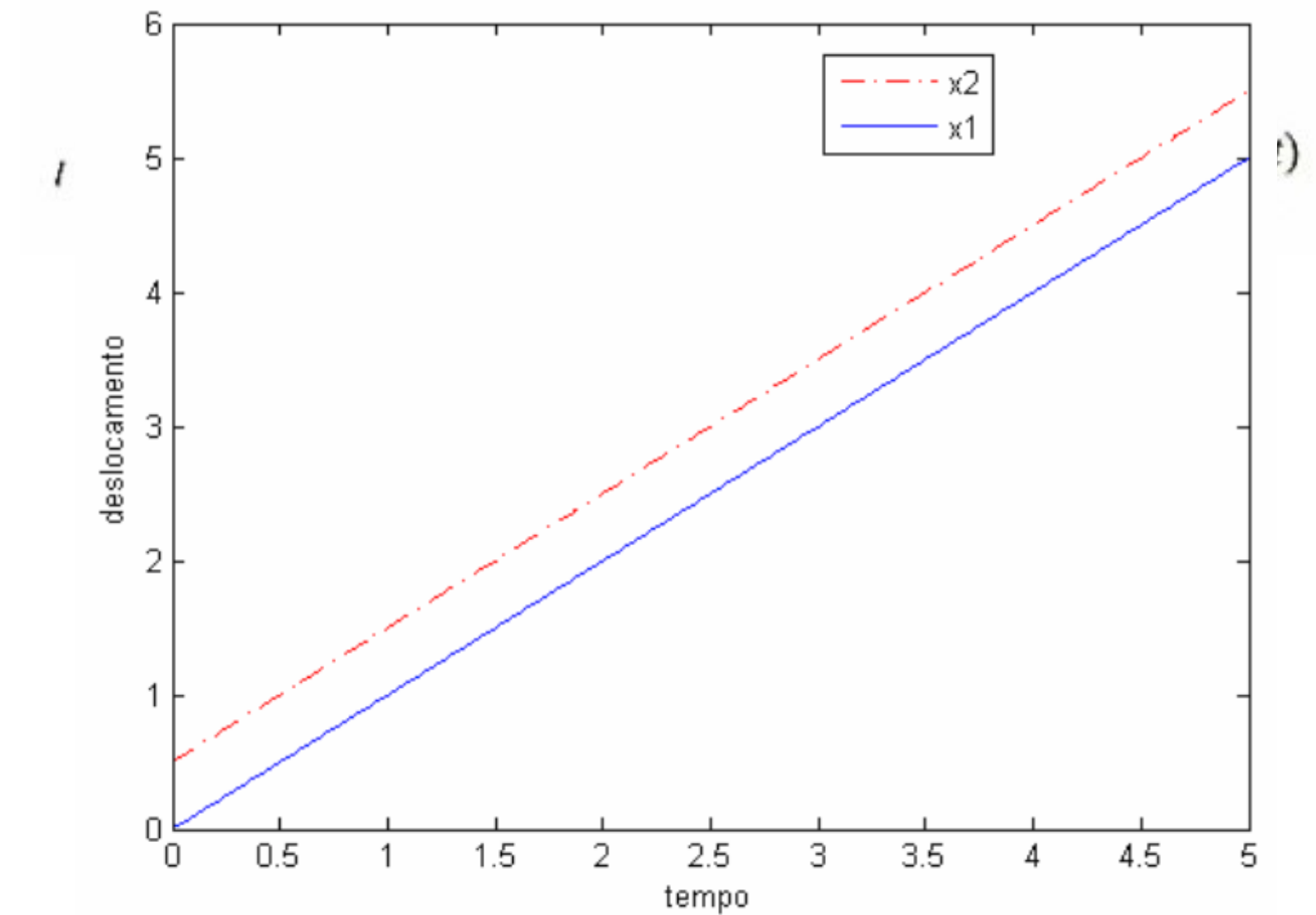
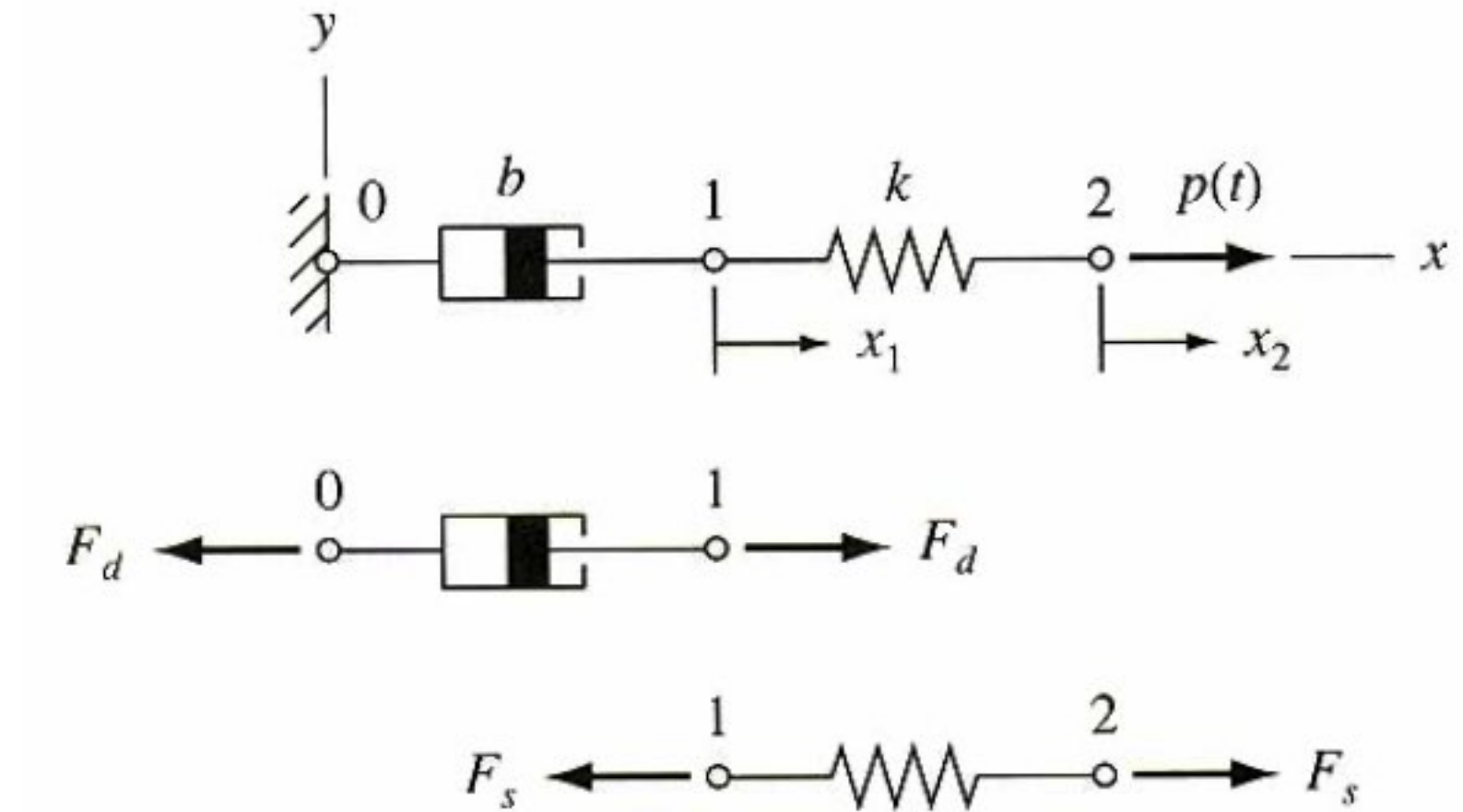


Fig.: Exemplo de resposta temporal para $k = 2$, $b = 1$ e $cte = 1$.

EXEMPLO_2

► A figura ao lado representa um máquina que possui base com superfície lubrificada para reduzir vibrações, mas a mesma sofre com excitações laterais (forças periódicas), dada por: $F \cdot \cos(\omega \cdot t)$.

► Este sistema pode ser representado como um sistema massa-mola-amortecedor.

► Para modelar este sistema, deve-se observar os nós e aplicar a segunda lei de Newton. Quando existem massas, as massas representam nós. Em cada nó ocorre um deslocamento. Assim:

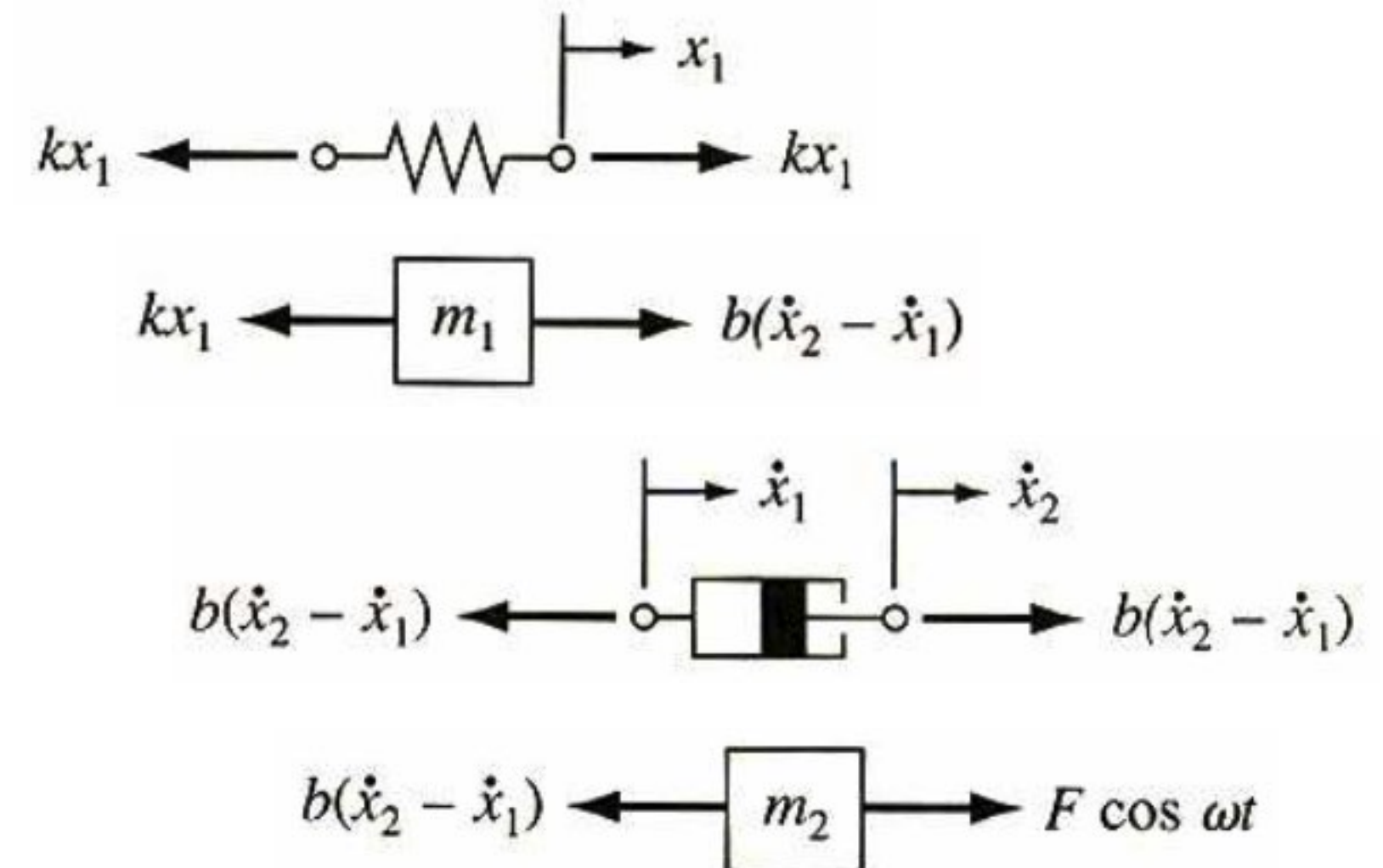
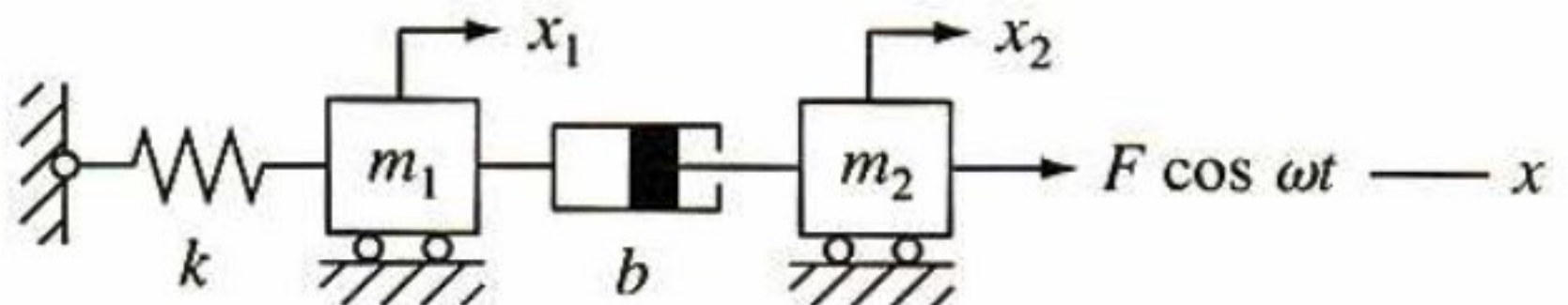
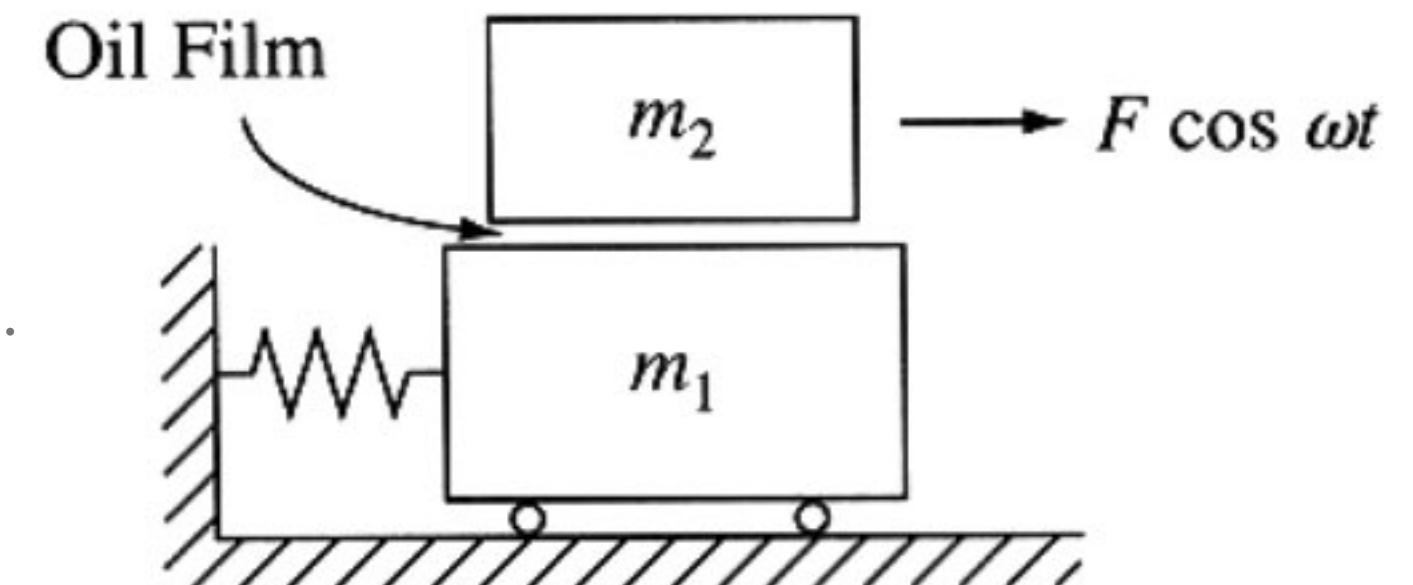
Na massa m_2 : a força aplicada terá como reação uma força da massa 2 e do amortecedor:

$$F \cdot \cos(\omega t) = m_2 \cdot \ddot{x}_2 + b \cdot (\dot{x}_2 - \dot{x}_1)$$

Na massa m_1 : a força do amortecedor terá como reação, uma força da massa 1 da mola:

$$b \cdot (\dot{x}_2 - \dot{x}_1) = m_1 \cdot \ddot{x}_1 + k \cdot x_1$$

► Se for necessário analisar o deslocamento da massa m_2 , pode-se representar o sistema através de uma função de transferência: $X_2(s) = f(F, \omega, m_1, m_2, b, k) \dots$



EXEMPLO_2

- Se for necessário analisar o deslocamento da massa m_2 , pode-se representar o sistema através de uma função de transferência: $X_2(s) = f(F, \omega, m_1, m_2, b, k)$:

Temos:

$$F \cdot \cos(\omega t) = m_2 \cdot \ddot{x}_2 + b \cdot (\dot{x}_2 - \dot{x}_1)$$

$$b \cdot (\dot{x}_2 - \dot{x}_1) = m_1 \cdot \ddot{x}_1 + k \cdot x_1$$

Assim:

$$F \cdot \frac{s}{s^2 + \omega^2} = m_s \cdot s^2 \cdot X_2(s) + b \cdot (s \cdot X_2(s) - s \cdot X_1(s))$$

$$b \cdot (s \cdot X_2(s) - s \cdot X_1(s)) = m_1 \cdot s^2 \cdot X_1(s) + k \cdot X_1(s)$$

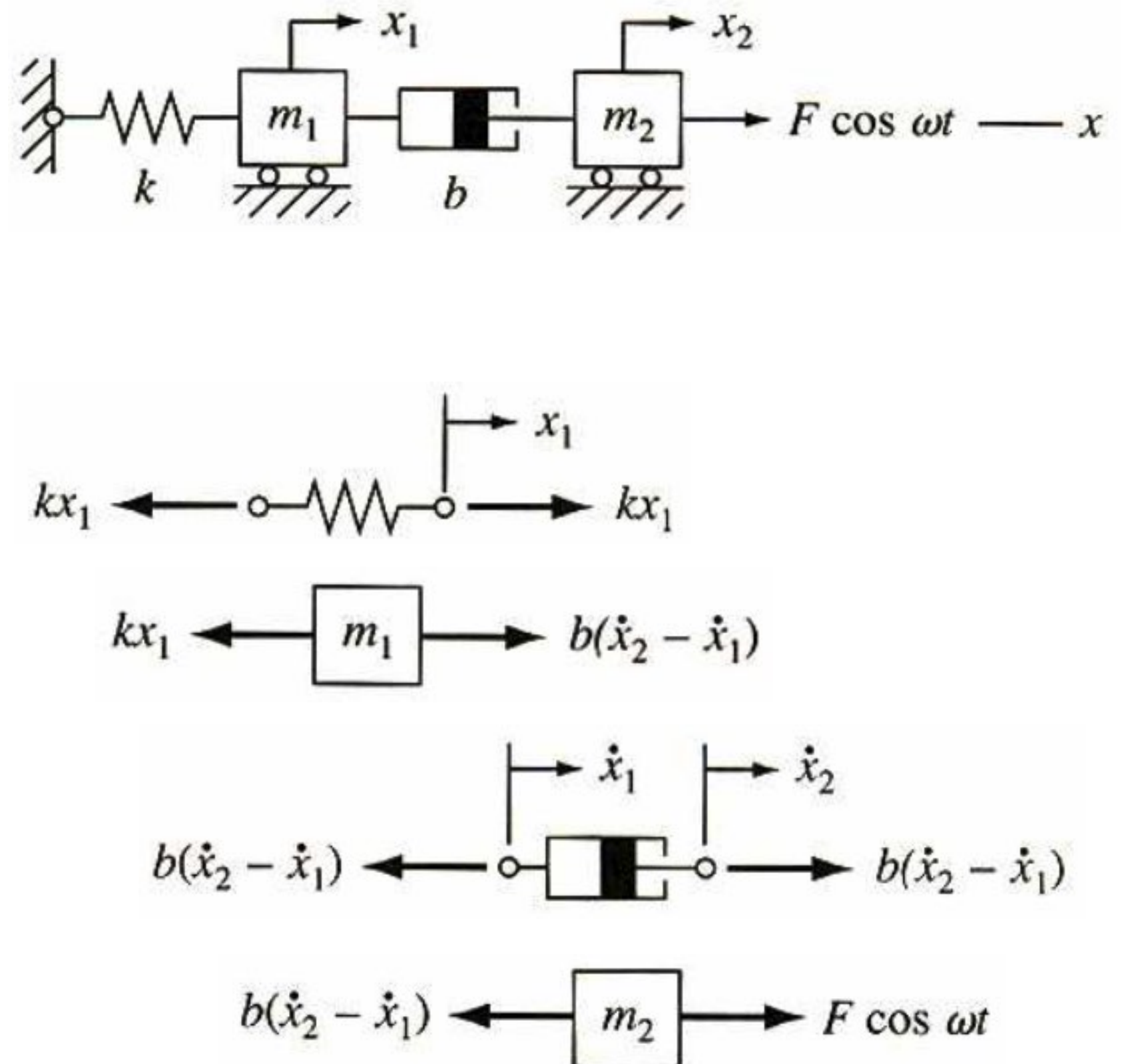
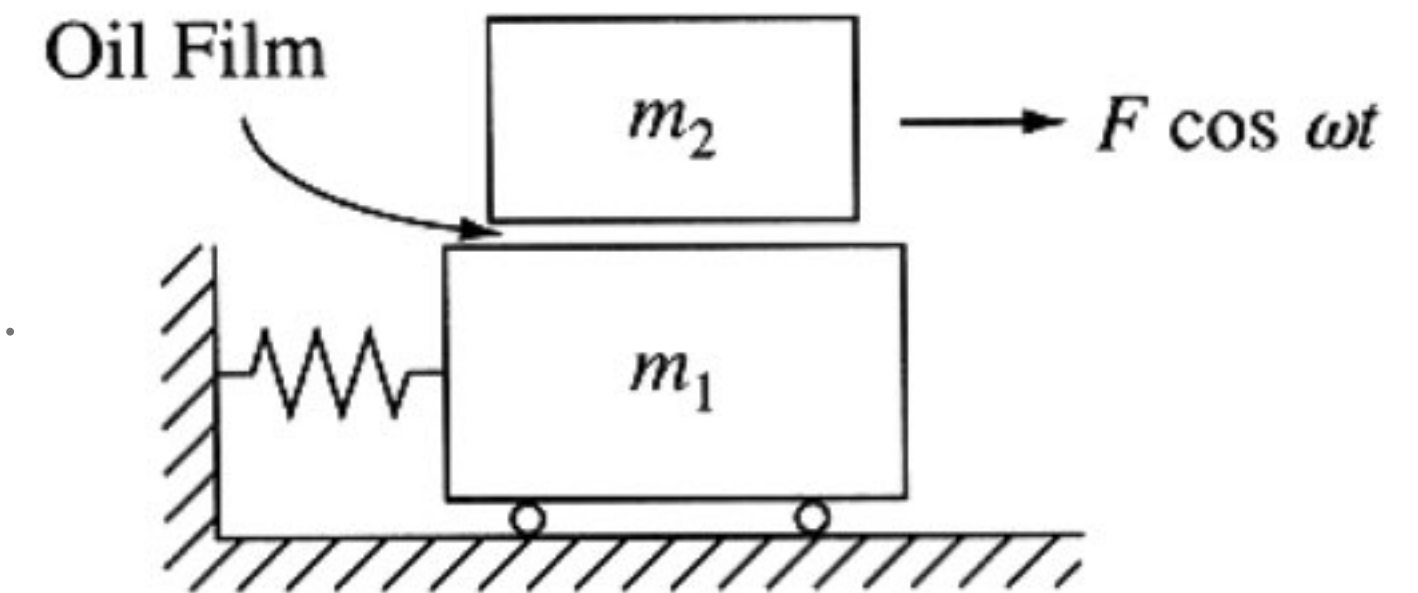
$$F \cdot \frac{s}{s^2 + \omega^2} = (m_2 \cdot s^2 + b \cdot s) X_2(s) - b \cdot s \cdot X_1(s)$$

$$b \cdot s \cdot X_2(s) = (m_1 \cdot s^2 + b \cdot s + k) \cdot X_1(s)$$

$$F \cdot \frac{s}{s^2 + \omega^2} = (m_2 \cdot s^2 + b \cdot s) X_2(s) - b \cdot s \cdot \left(\frac{b \cdot s}{m_1 \cdot s^2 + b \cdot s + k} \right) \cdot X_2(s)$$

$$F \cdot \frac{s}{s^2 + \omega^2} = \frac{m_1 \cdot m_2 \cdot s^4 + (m_1 + m_2) \cdot b \cdot s^3 + m_2 \cdot k \cdot s^2 + b \cdot k \cdot s}{m_1 \cdot s^2 + b \cdot s + k} \cdot X_2(s)$$

$$X_2(s) = F \cdot \left(\frac{s}{s^2 + \omega^2} \right) \cdot \left(\frac{m_1 \cdot s^2 + b \cdot s + k}{m_1 \cdot m_2 \cdot s^4 + (m_1 + m_2) \cdot b \cdot s^3 + m_2 \cdot k \cdot s^2 + b \cdot k \cdot s} \right)$$



SISTEMAS MECÂNICOS

- Elementos básicos: Molas, Amortecedores, Massa e transmissões.
As **molas** representam a rigidez do sistema;
Os **amortecedores**, as forças de oposição ao movimento, os efeitos de amortecimento e fricção;
As **massas**, a inércia ou resistência à aceleração.
- Sua análise envolve 2 tipos distintos de movimentos: **translacional** × **rotacional**.
- O equacionamento do sistema pode ser refeito para cada tipo de movimento.
- Assim: sistemas mecânicos estão sujeitos a:
 - **forças (quando translacionais)** e
 - **torques (quando rotacionais)**.
- Outro enfoque: envolver a **análise energética**.
Não usariamos as leis de Newton, mas sim a conservação da energia.
Porém os mesmos resultados seriam obtidos, com base em energias e potências envolvidas no movimento.

Quando abordamos movimentos rotacionais.

Envolve elemento mecânico forçado a girar em torno de um eixo.

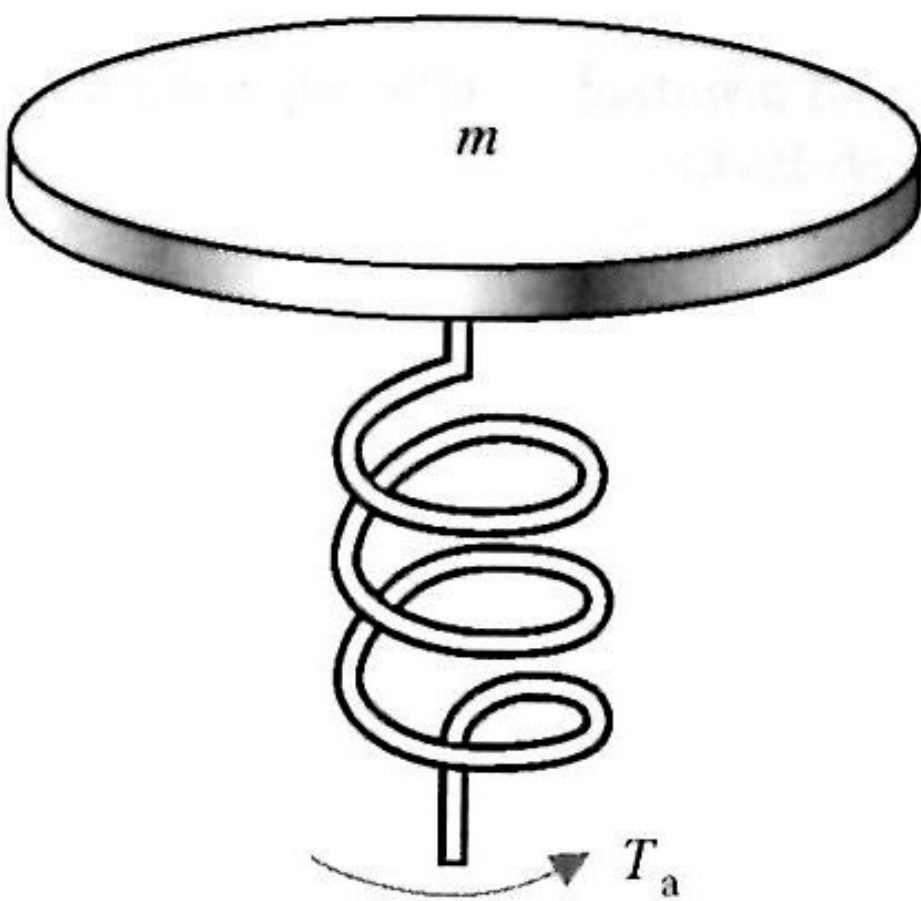
Em sistemas mecânicos translacionais, realizamos a análise através do equilíbrio de forças.

Neste caso, para elementos girantes, devemos levar em consideração o **torque** associado aos elementos.

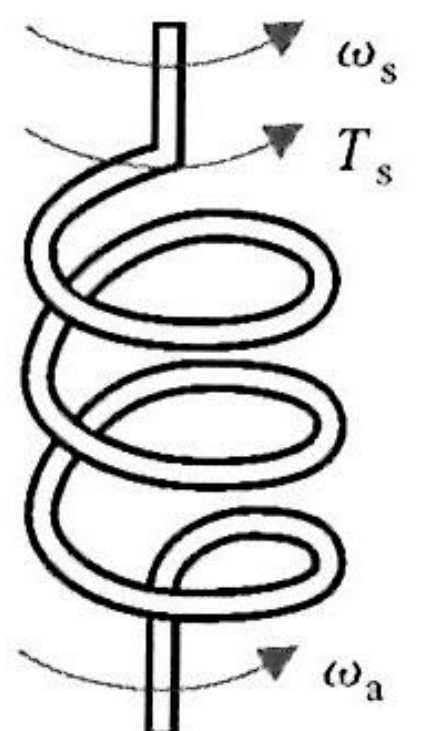
com base em

SISTEMA MECÂNICO ROTACIONAL: ELEMENTOS

- Quando um movimento implica rotação, há 3 blocos envolvidos:
 - mola torsional,
 - amortecedor rotativo e o
 - momento de inércia (inércia da massa rotativa).
- Neste caso, a entrada é o torque e a saída é o ângulo de rotação.



Sistema de torção
massa-mola.



Sistema de torção,
mola.

SISTEMA MECÂNICO ROTACIONAL: MOLA (DE TORÇÃO)

- É um elemento que impõe uma resistência ao deslocamento angular, θ , de um eixo nela acoplado.

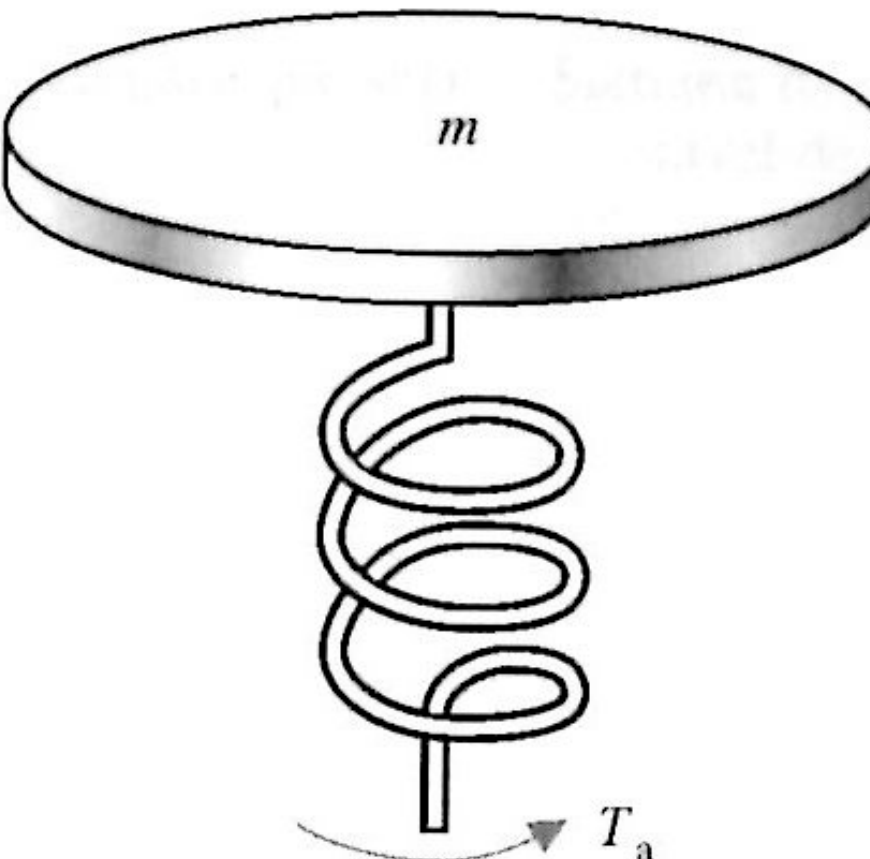
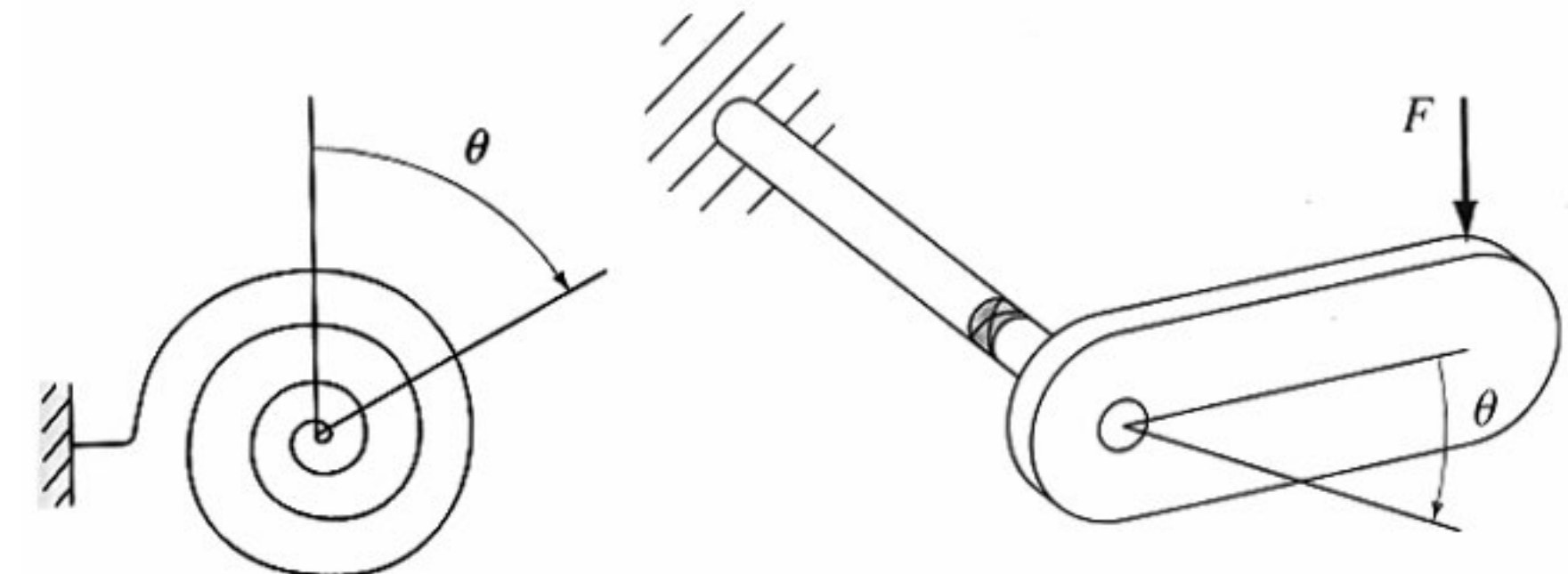
- Para molas lineares:

$$T = k \cdot (\theta_1 - \theta_2)$$

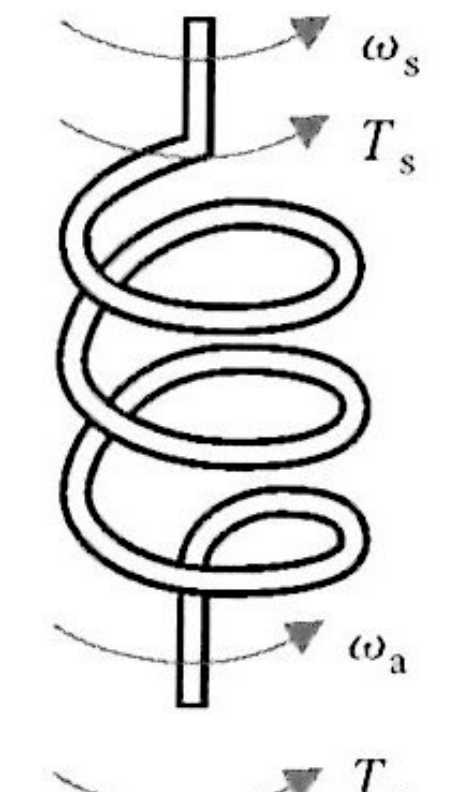
onde k = constante elástica da mola [$N \cdot m/rad$].

- Caso esteja engastada:

$$T = k \cdot \theta$$



Sistema de torção
massa-mola.



Sistema de torção,
mola.

SISTEMA MECÂNICO ROTACIONAL: AMORTECEDOR ROTACIONAL

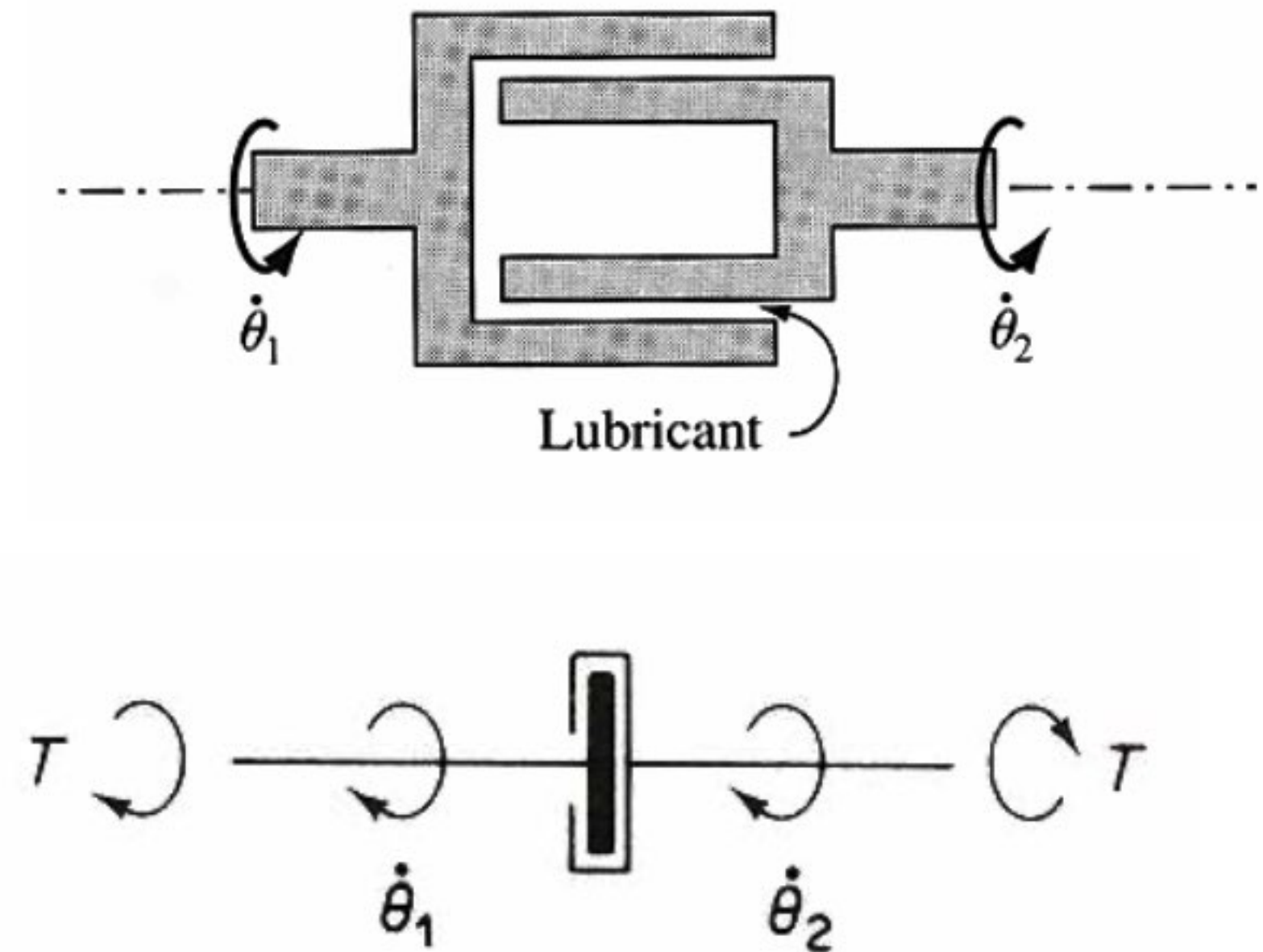
- Quando ocorre uma fricção causada por uma fina camada de lubrificante entre duas superfícies girantes, pode-se produzir uma resistência ao torque que é diretamente proporcional a velocidade angular relativa entre as superfícies, ou:

- $T = b \cdot (\dot{\theta}_1 - \dot{\theta}_2)$

onde b = coeficiente de amortecimento angular
[$N \cdot m \cdot s/rad$],

ou ainda:

$$T = b \cdot (\omega_1 - \omega_2)$$



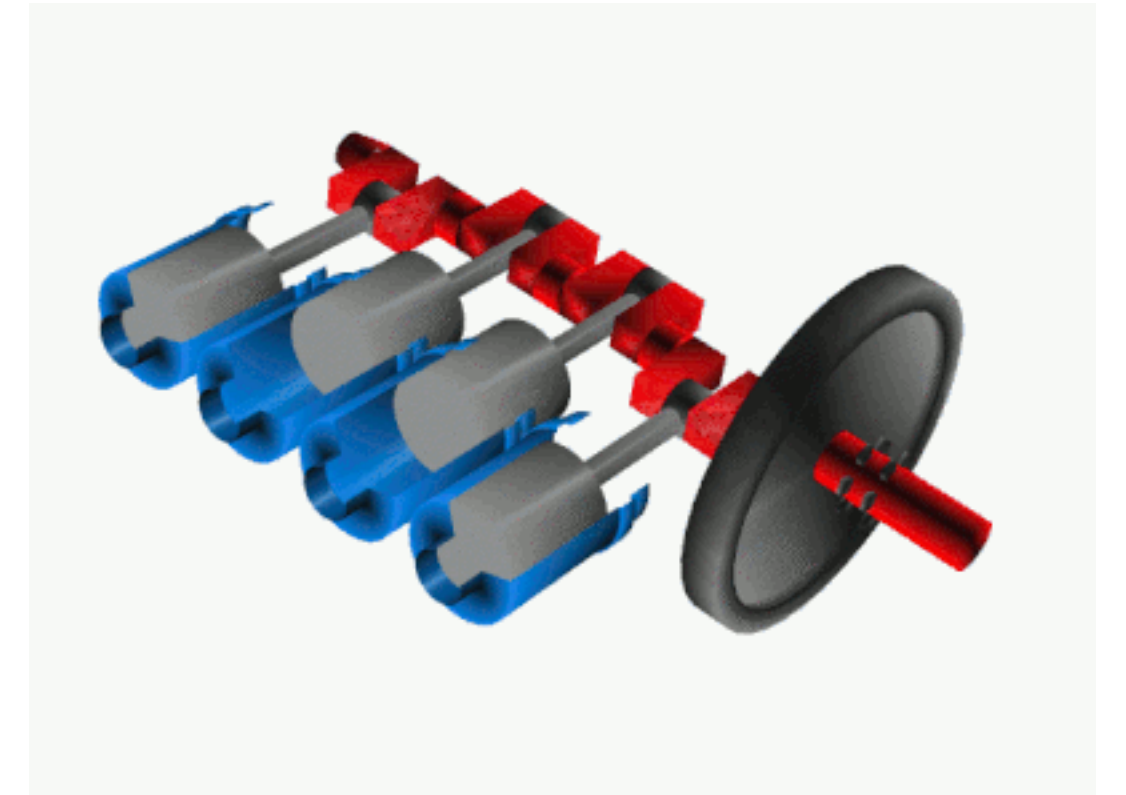
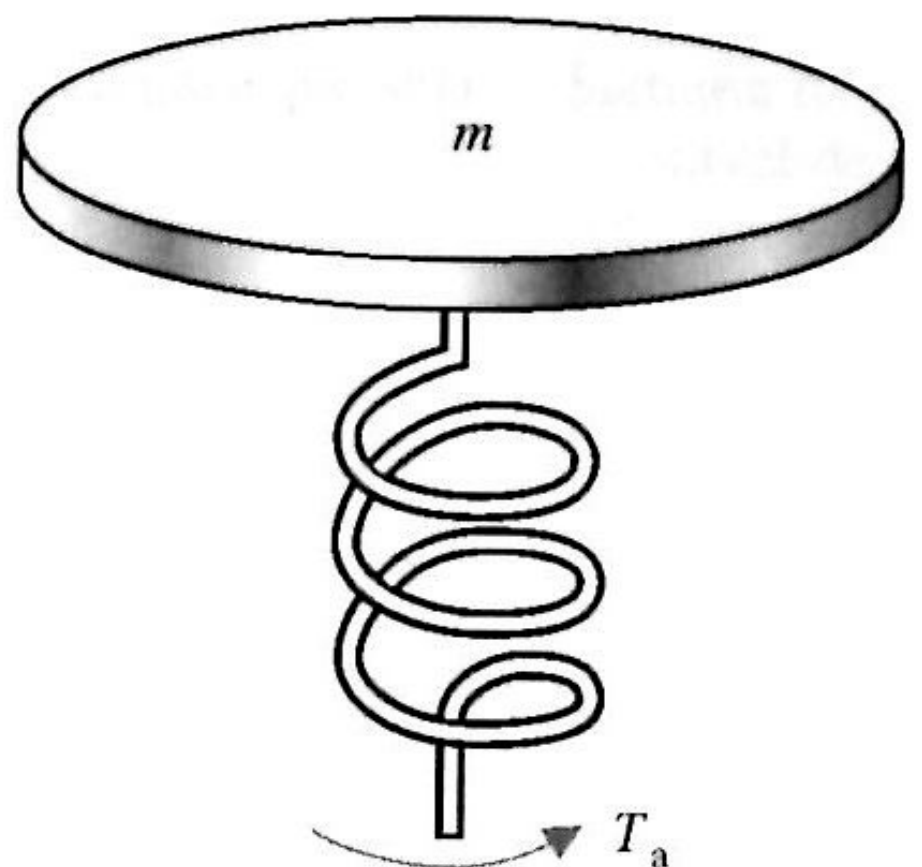
SISTEMA MECÂNICO ROTACIONAL: INÉRCIA

- Inércia é a resistência que uma **massa** exerce, quando acelerado.
- A inércia de um corpo depende de sua massa, do eixo de giro e do formato da massa.
- Se a massa está em equilíbrio, a somatória dos momentos nela aplicada é igual a zeros.
- Se a massa estiver em movimento acelerado, de acordo com a segunda lei de Newton (somatório dos momentos):

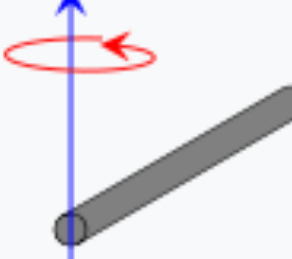
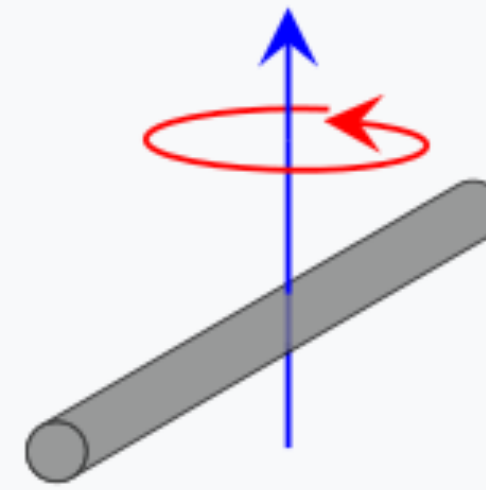
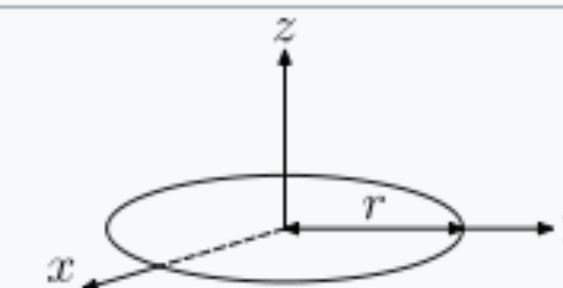
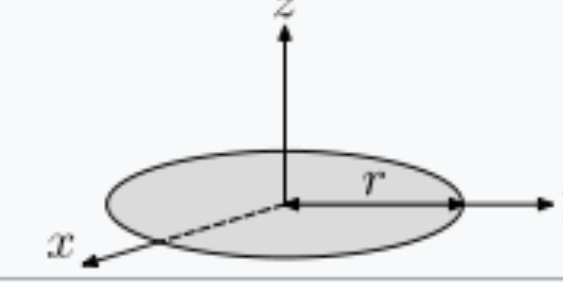
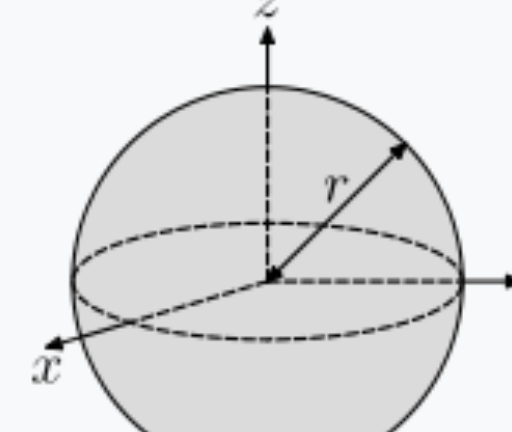
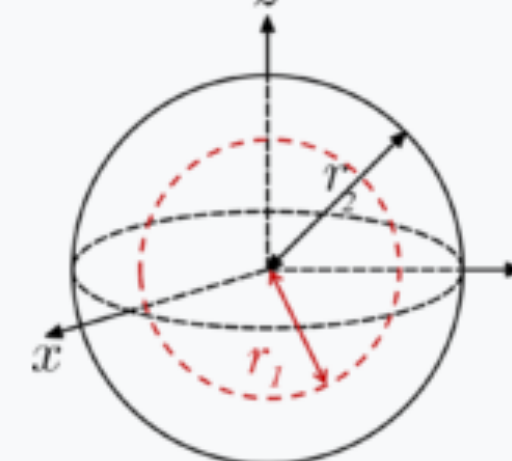
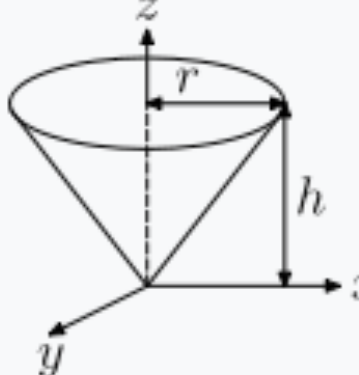
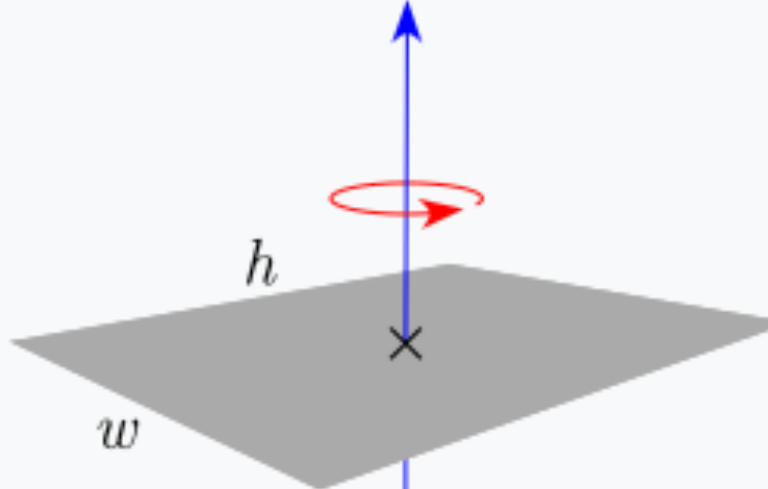
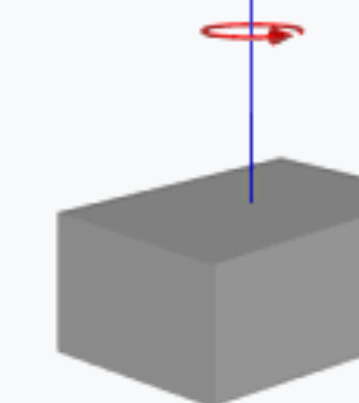
$$\sum M = J \cdot \ddot{\theta}$$

onde J = momento de inércia do corpo girante, ou:

$$\sum M = J \cdot \dot{\omega}$$



MOMENTO DE INÉRCIA

Descrição	Figura	Momento(s) de inércia	
Massa pontual m a uma distância r dos eixos de rotação.		$I = mr^2$	
Duas massas pontuais, M e m , com a massa reduzida μ e separadas por uma distância x .		$I = \frac{Mm}{M+m}x^2 = \mu x^2$	
Barra de comprimento L e massa m (Eixo de rotação no fim da barra)		$I_{\text{fim}} = \frac{mL^2}{3}$ [1]	
Barra de comprimento L e massa m		$I_{\text{centro}} = \frac{mL^2}{12}$ [1]	
Aro circular de raio r e massa m		$I_z = mr^2$ $I_x = I_y = \frac{mr^2}{2}$	
Disco fino de raio r e massa m		$I_z = \frac{mr^2}{2}$ $I_x = I_y = \frac{mr^2}{4}$	
Bola (sólida) de raio r e massa m			$I = \frac{2mr^2}{5}$ [1]
Esfera (casca) de raio r_2 , com cavidade cocêntrica de raio r_1 e massa m			$I = \frac{2m}{5} \left[\frac{r_2^5 - r_1^5}{r_2^3 - r_1^3} \right]$ [1]
Cone circular de raio r , altura h e massa m			$I_z = \frac{3}{10}mr^2$ [3] $I_x = I_y = \frac{3}{5}m \left(\frac{r^2}{4} + h^2 \right)$ [3]
Placa retangular fina de altura h , espessura w e massa m			$I_c = \frac{m(h^2 + w^2)}{12}$ [1]
Cuboide sólido de altura h , espessura w , profundidade d e massa m			$I_h = \frac{1}{12}m(w^2 + d^2)$ $I_w = \frac{1}{12}m(h^2 + d^2)$ $I_d = \frac{1}{12}m(h^2 + w^2)$

Lista de momentos de inércia: https://pt.wikipedia.org/wiki/Lista_de_momentos_de_in%C3%A9rcia

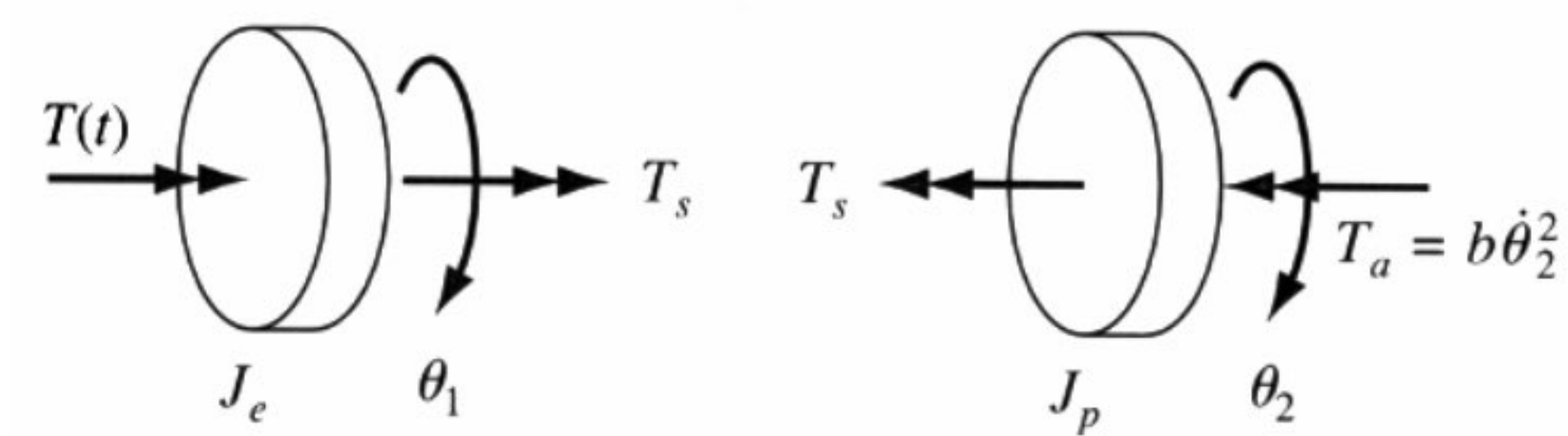
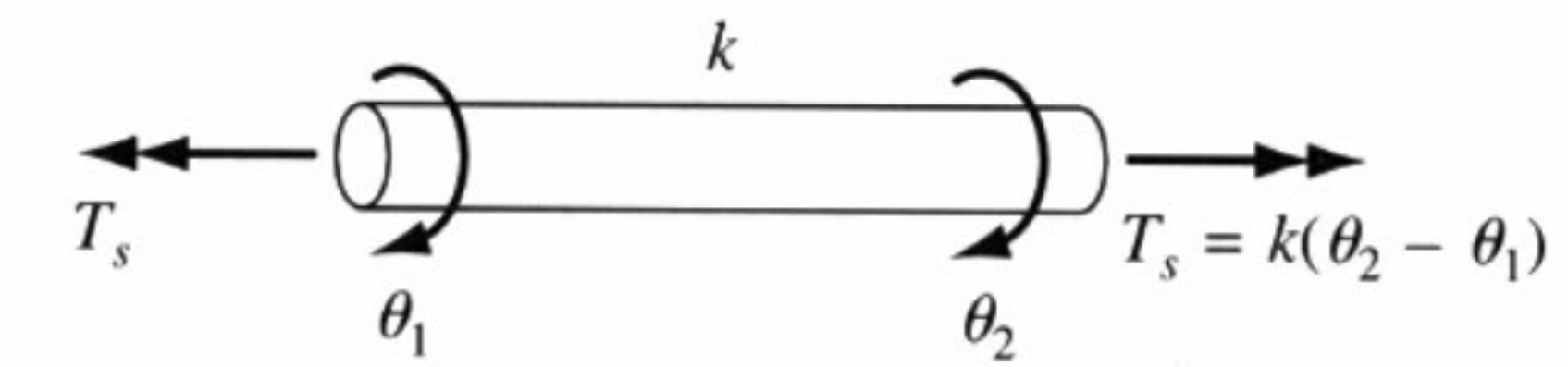
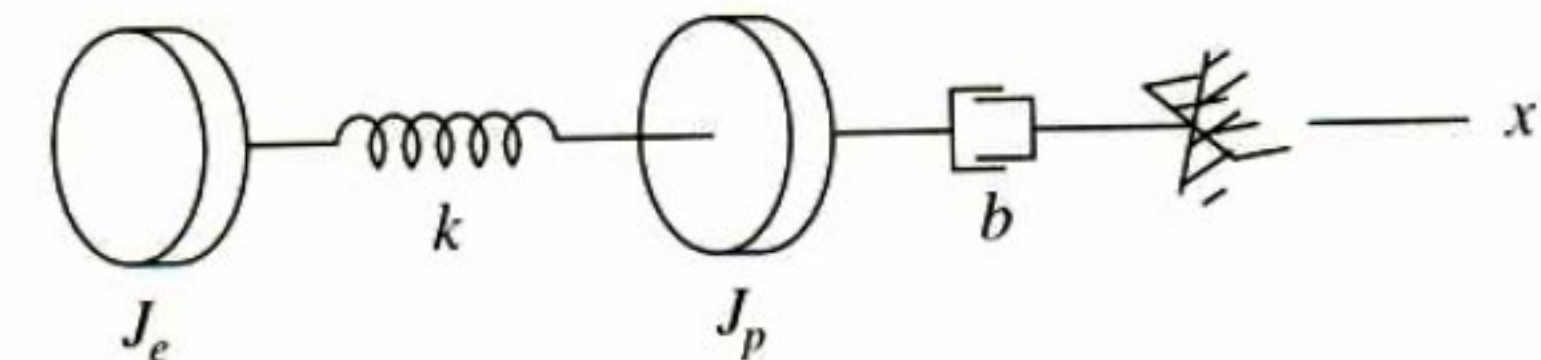
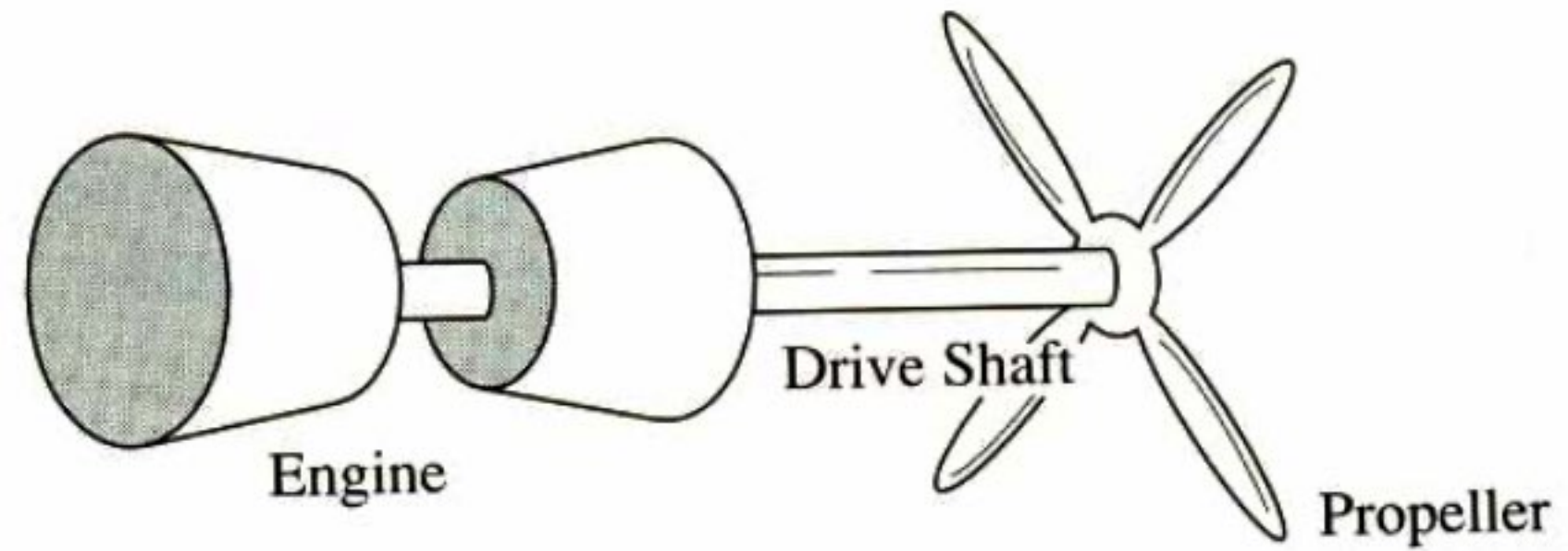
EXEMPLO: SISTEMA MOTOR-PROPULSOR

- A figura do topo mostra o propulsor de um avião (de forma simplificada)
- O momento de inércia do motor é representado por J_e e o momento de inércia da hélice é representado por J_p . O torque aplicado pelo motor é definido como $T(t)$. A inércia do eixo é desprezada e será representado apenas como uma mola.
- Note que a hélice ao girar, gera uma resistência ao torque do motor. Essa resistência é devido ao arrasto causado pela hélice no ar sendo diretamente proporcional ao quadrado da velocidade:

$$T_a(t) = b \cdot \dot{\theta}_2^2$$
. Mas como estamos tratando apenas de sistemas lineares:

$$T_a(t) = b \cdot \dot{\theta}_2$$
- Análise: da mesma forma que a realizada para sistema translacional. Porém somando momentos. Analisamos cada massa da mesma maneira que analisamos o sistema translacional. Porém de acordo com o somatório dos momentos:

$$\sum M = 0$$



EXEMPLO: SISTEMA MOTOR-PROPELLOR

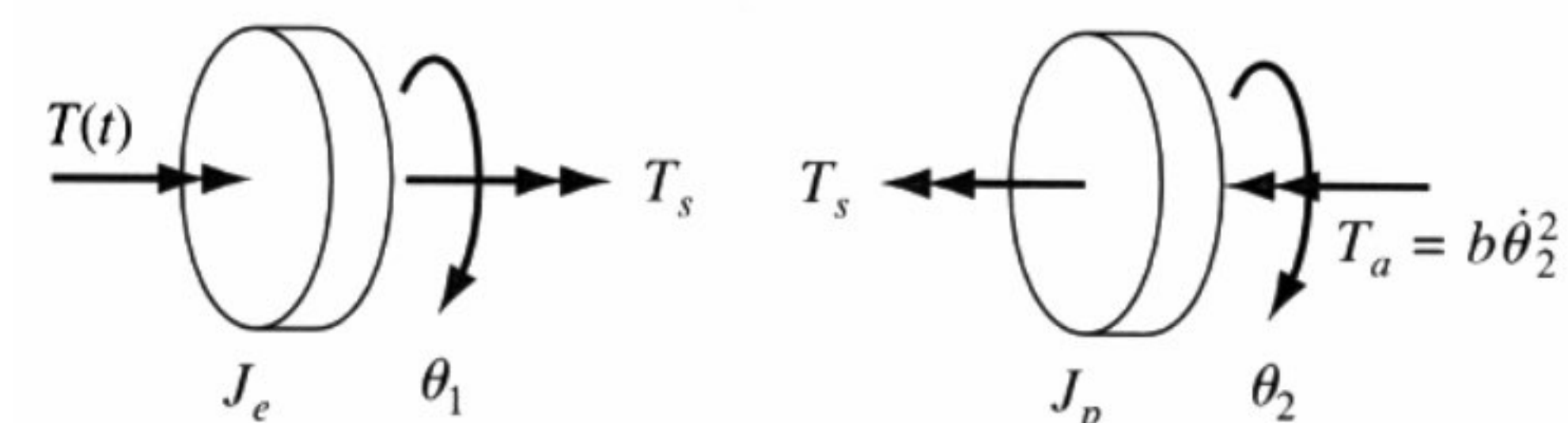
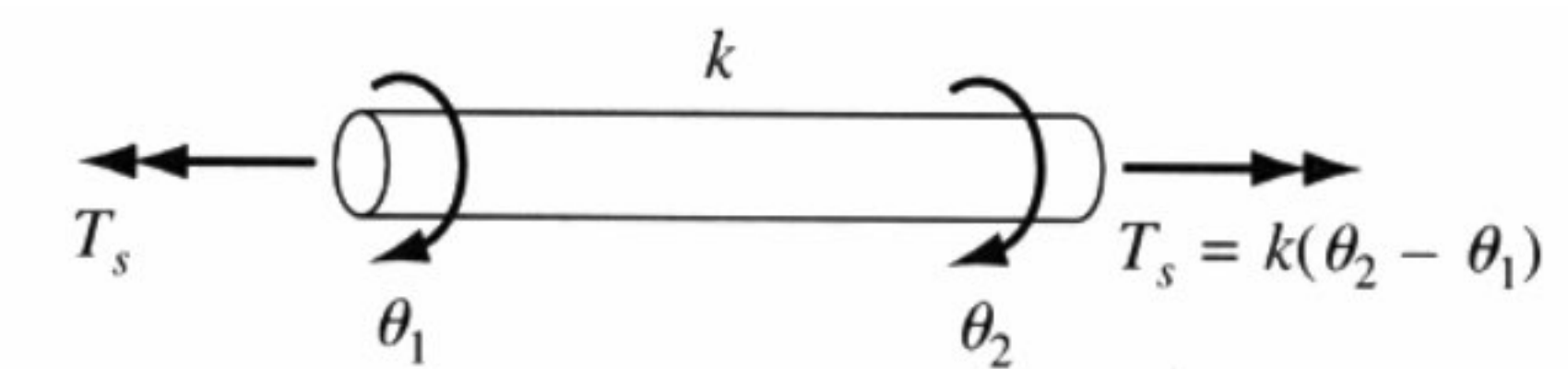
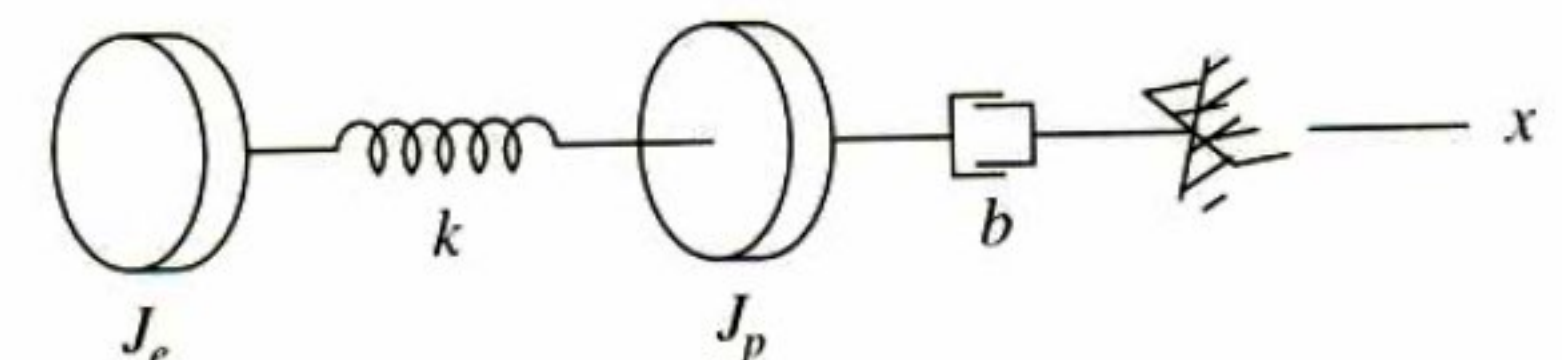
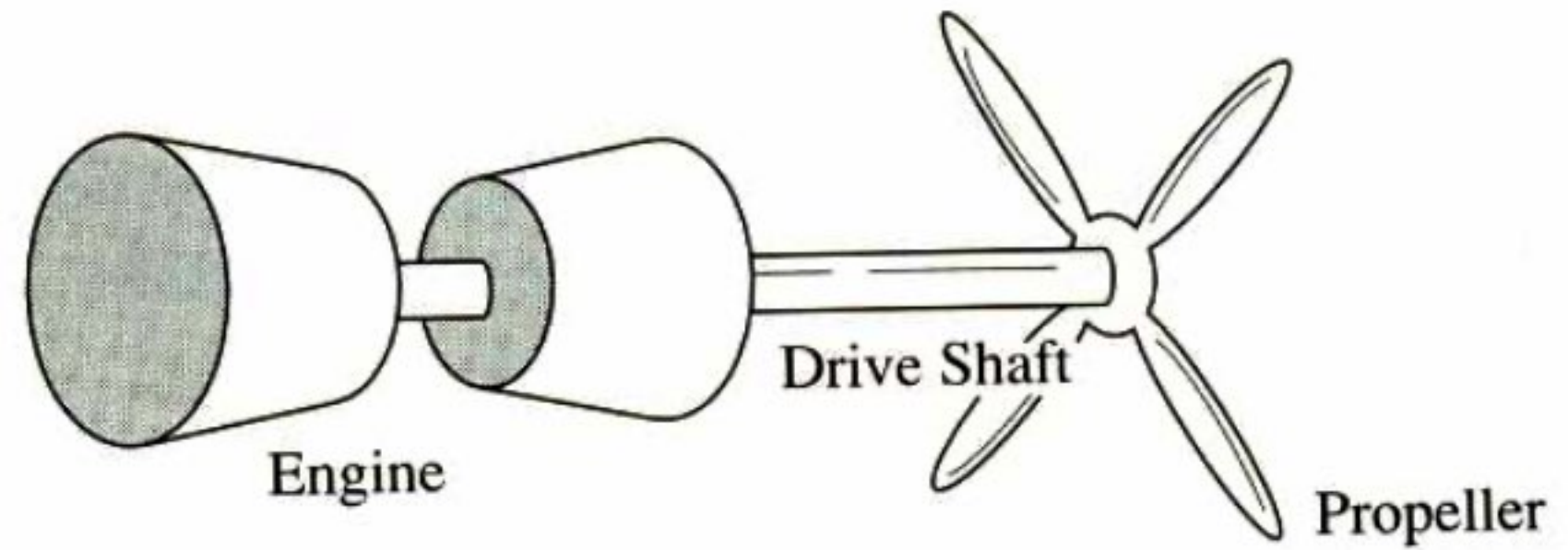
- J_e = momento de inércia do motor;
- J_p = momento de inércia da hélice;
- $T(t)$ = torque aplicado pelo motor.
- A hélice ao girar, gera uma resistência ao torque do motor diretamente proporcional ao quadrado da velocidade, mas linearizado:

$$T_a(t) = b \cdot \dot{\theta}_2$$
- Na Inércia J_e : o torque aplicado pelo motor têm como resistência o torque na inércia do motor e o torque no eixo atuando como mola:

$$\sum M = 0$$

$$T(t) = J_e \cdot \ddot{\theta}_1 + k (\theta_1(t) - \theta_2(t))$$
 (Note: “+” do torque: regra da mão direita)
- Na Inércia J_p : o torque transferido pelo eixo tem como resistência o torque de inércia da hélice e o torque gerado pela resistência do ar T_b (arrasto):

$$k (\theta_1(t) - \theta_2(t)) = J_p \cdot \ddot{\theta}_2 + b \cdot \dot{\theta}_2$$
- Este sistema foi modelado tendo como variável dependente, a posição angular e suas derivadas (velocidade de aceleração).



EXEMPLO: SISTEMA MOTOR-PROPELLOR

► $\sum M = 0$

► Na inércia J_e :

$$T(t) = J_e \cdot \ddot{\theta}_1 + k (\theta_1(t) - \theta_2(t))$$

► Na Inércia J_p :

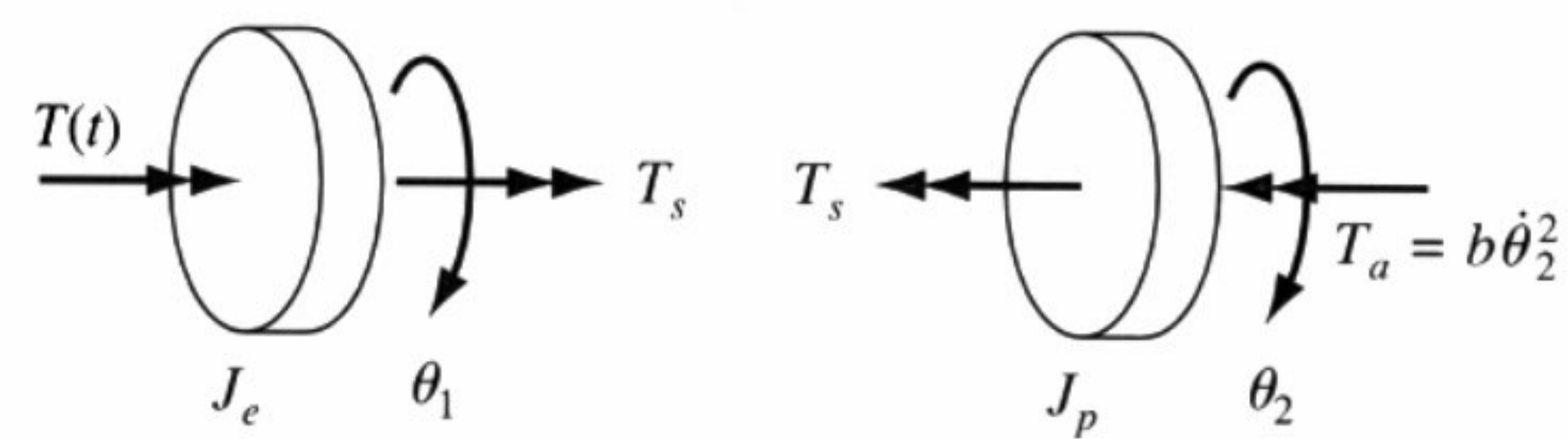
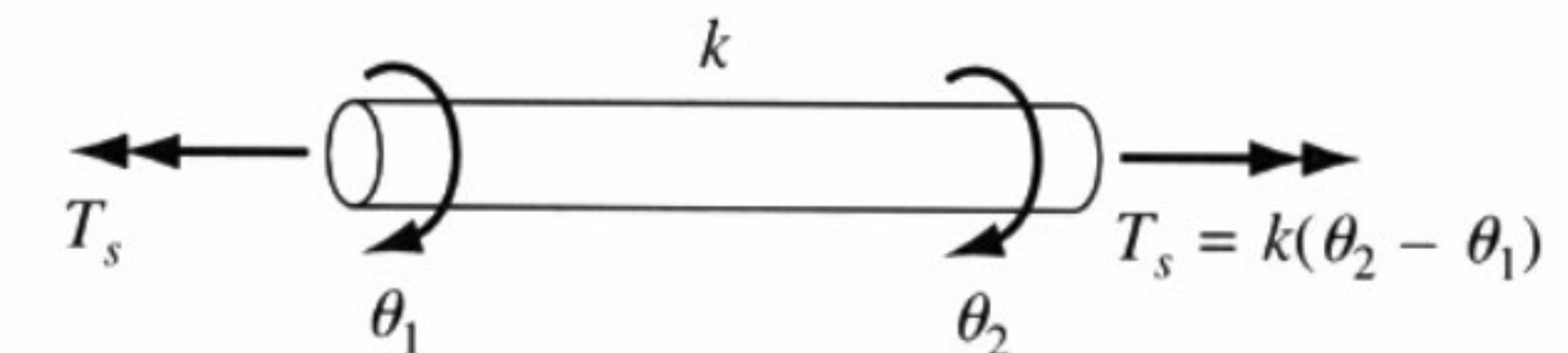
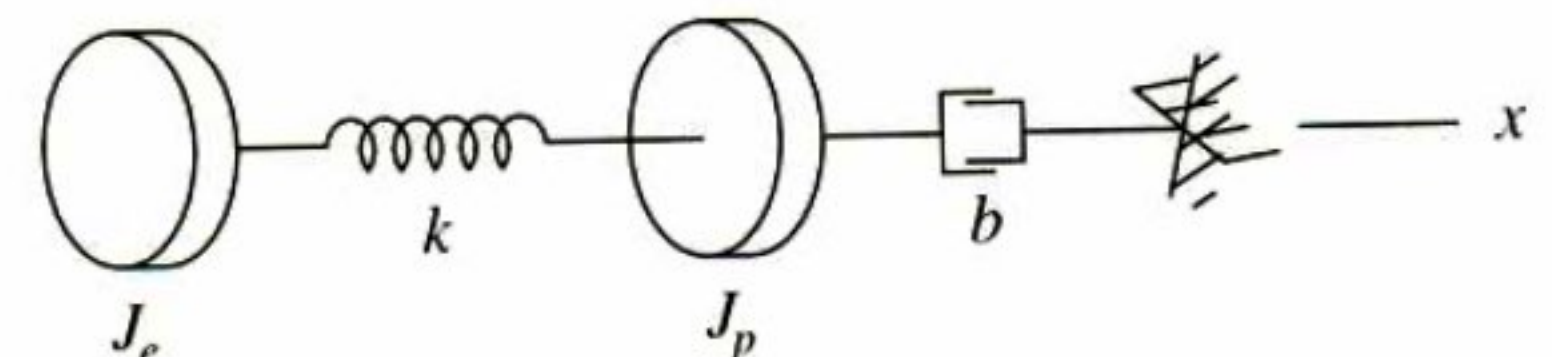
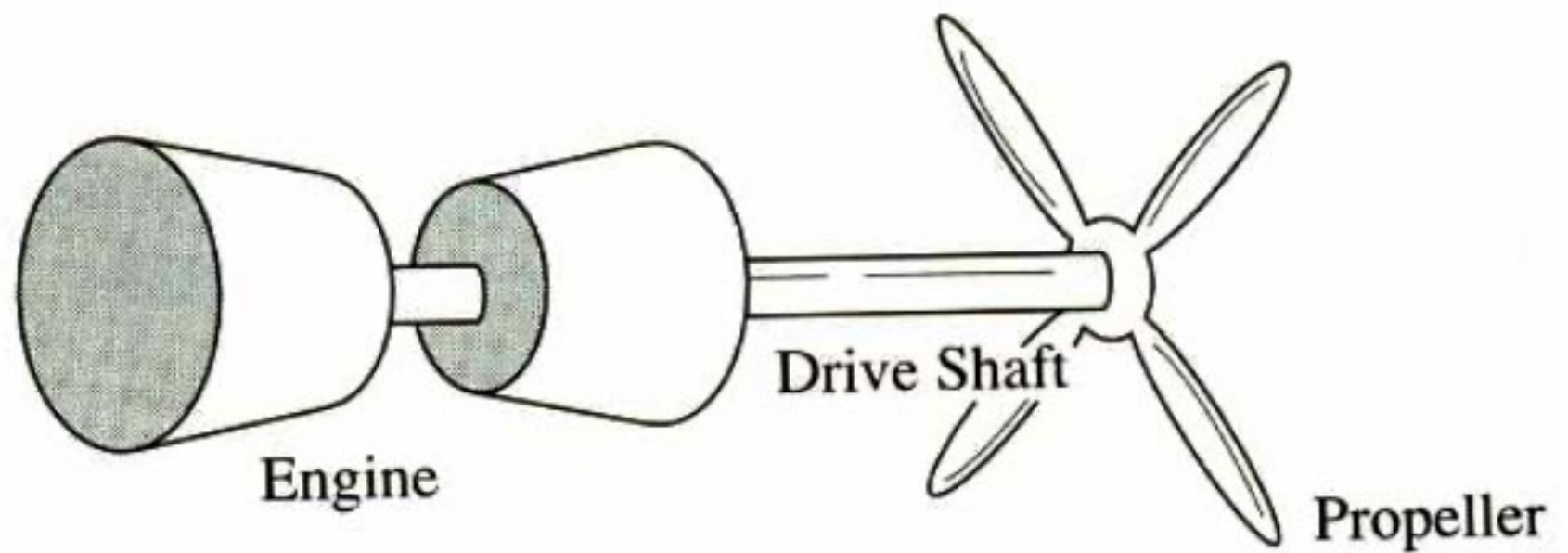
$$k (\theta_1(t) - \theta_2(t)) = J_p \cdot \ddot{\theta}_2 + b \cdot \dot{\theta}_2$$

► Analisando o sistema em função da velocidade:

Por exemplo: queremos relacionar velocidade da hélice ($\dot{\theta}_2 = \omega_2(t)$) × torque aplicado no motor:

$$T(t) = J_e \cdot \dot{\omega}_1 + k \cdot \int (\omega_1(t) - \omega_2(t)) dt$$

$$k \cdot \int (\omega_1(t) - \omega_2(t)) dt = J_p \cdot \dot{\omega}_2 + b \cdot \omega_2(t)$$



EXEMPLO: SISTEMA MOTOR-PROPELLOR

- Relacionando velocidade da hélice ($\dot{\theta}_2 = \omega_2(t)$) × torque aplicado no motor:

$$T(t) = J_e \cdot \dot{\omega}_1 + k \cdot \int (\omega_1(t) - \omega_2(t)) dt$$

$$k \cdot \int (\omega_1(t) - \omega_2(t)) dt = J_p \cdot \dot{\omega}_2 + b \cdot \omega_2(t)$$

- Transformada de Laplace:

$$\Omega_2(s) = \left(\frac{k}{J_e \cdot J_p \cdot s^3 + J_e \cdot b \cdot s^2 + (J_e \cdot k + J_p \cdot k) \cdot s + b \cdot k} \right) \cdot T(s)$$

► Transformada de Laplace:

$$\begin{cases} T(s) = J_e \cdot s \cdot \Omega_1(s) + k \cdot \frac{1}{s} (\Omega_1(s) - \Omega_2(s)) \\ k \cdot \frac{1}{s} (\Omega_1(s) - \Omega_2(s)) = J_p \cdot s \cdot \Omega_2(s) + b \cdot \Omega_2(s) \end{cases}$$

$$\begin{cases} T(s) = \left(J_e \cdot s + \frac{k}{s} \right) \Omega_1(s) - \frac{k}{s} \Omega_2(s) \\ \Omega_1(s) \cdot \frac{k}{s} = \left(J_p \cdot s + b + \frac{k}{s} \right) \Omega_2(s) \end{cases}$$

$$\begin{cases} T(s) = \left(\frac{J_e \cdot s^2 + k}{s} \right) \Omega_1(s) - \frac{k}{s} \Omega_2(s) \\ \Omega_1(s) = \left(\frac{J_p \cdot s^2 + b \cdot s + k}{k} \right) \Omega_2(s) \end{cases}$$

$$T(s) = \left(\frac{J_e \cdot s^2 + k}{s} \right) \cdot \left(\frac{J_p \cdot s^2 + b \cdot s + k}{k} \right) \Omega_2(s) - \frac{k}{s} \Omega_2(s)$$

$$T(s) = \left(\frac{J_e \cdot J_p \cdot s^4 + J_e \cdot b \cdot s^3 + J_e \cdot k \cdot s^2 + J_p \cdot k \cdot s^2 + b \cdot k \cdot s + k^2}{k \cdot s} - \frac{k}{s} \right) \Omega_2(s)$$

$$T(s) = \left(\frac{J_e \cdot J_p \cdot s^4 + J_e \cdot b \cdot s^3 + (J_e \cdot k + J_p \cdot k) \cdot s^2 + b \cdot k \cdot s}{k \cdot s} \right) \Omega_2(s)$$

$$\Omega_2(s) = \left(\frac{k}{J_e \cdot J_p \cdot s^3 + J_e \cdot b \cdot s^2 + (J_e \cdot k + J_p \cdot k) \cdot s + b \cdot k} \right) T(s)$$

EXEMPLO: SISTEMA MOTOR-PROPULSOR

- Relacionando velocidade da hélice ($\dot{\theta}_2 = \omega_2(t)$) × torque aplicado no motor:

$$T(t) = J_e \cdot \dot{\omega}_1 + k \cdot \int (\omega_1(t) - \omega_2(t)) dt$$

$$k \cdot \int (\omega_1(t) - \omega_2(t)) dt = J_p \cdot \dot{\omega}_2 + b \cdot \omega_2(t)$$

- Transformada de Laplace:

$$\Omega_2(s) = \left(\frac{k}{J_e \cdot J_p \cdot s^3 + J_e \cdot b \cdot s^2 + (J_e \cdot k + J_p \cdot k) \cdot s + b \cdot k} \right) \cdot T(s)$$

Simulação:

Entrada: degrau de 100K [Nm];

$$T(s) = \frac{100.000}{s}$$

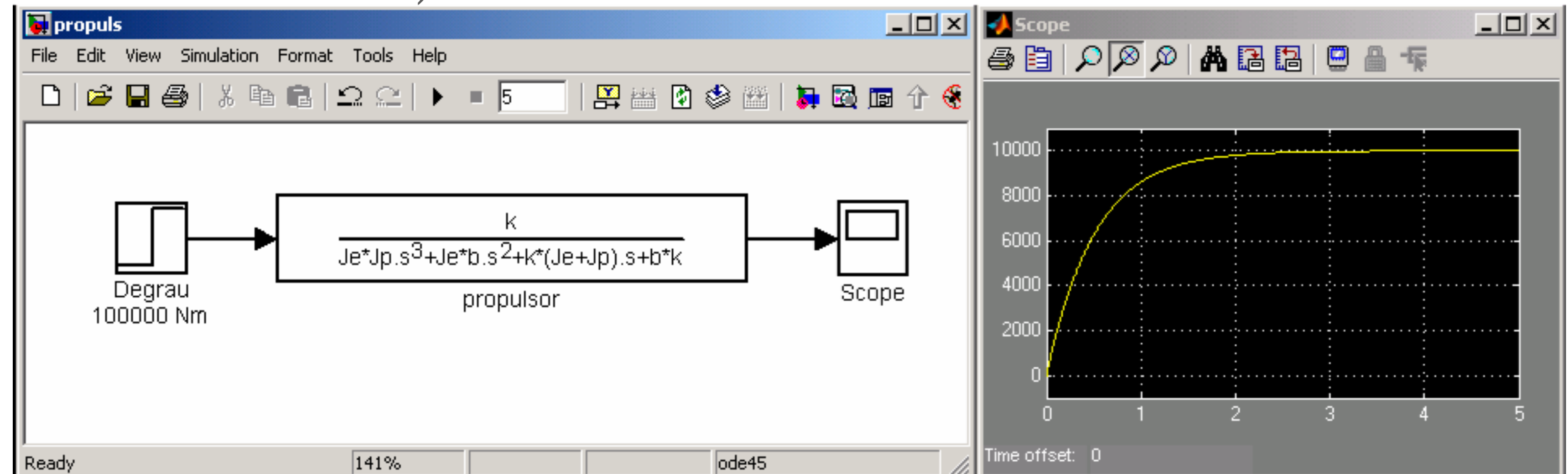
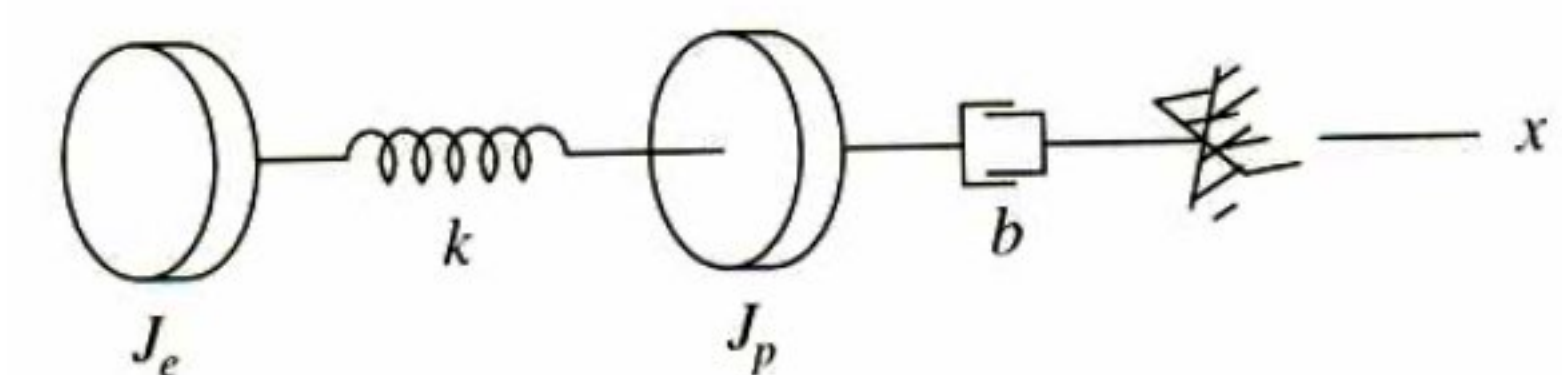
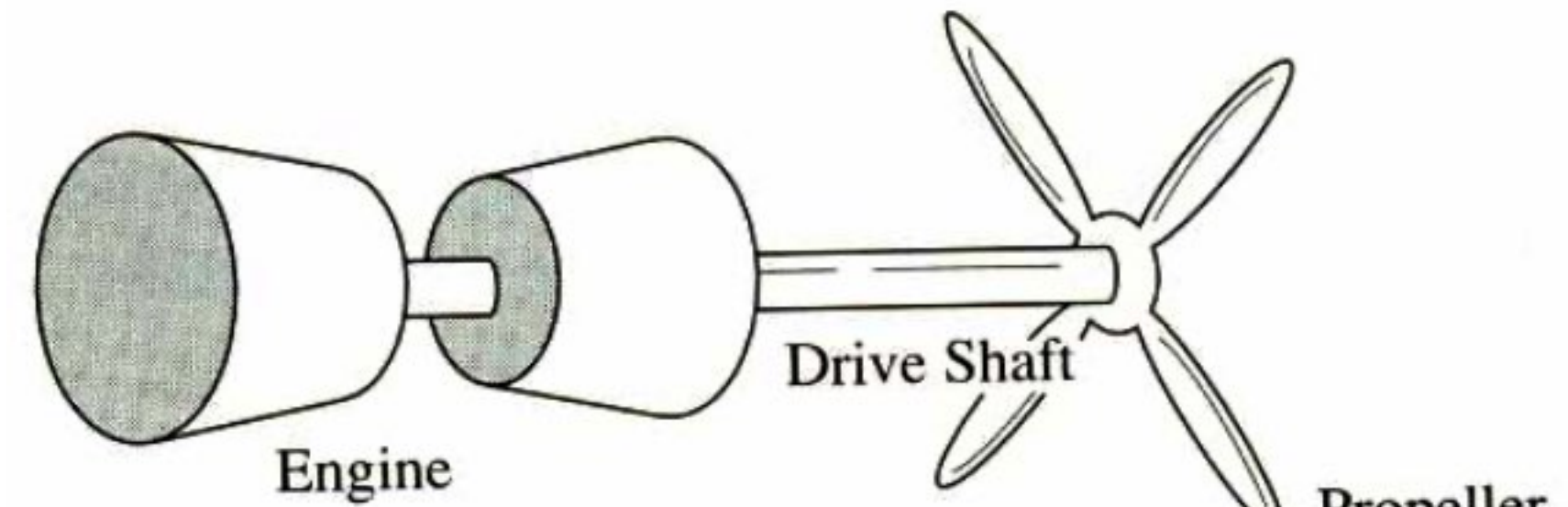
$$J_e = 5 \text{ [Nm/rad/s}^2\text{]};$$

$$J_p = 0,01 \text{ [Nm/rad/s}^2\text{]};$$

$$b = 10 \text{ [Nm/rad/s]};$$

$$k = 10.000 \text{ [N rad].}$$

Pag. 7 de "3_Sistemas_Mecânicos_Translacionais_e_Ro.pdf"



ELEMENTOS AMPLIFICADORES/REDUTORES LINEARES:

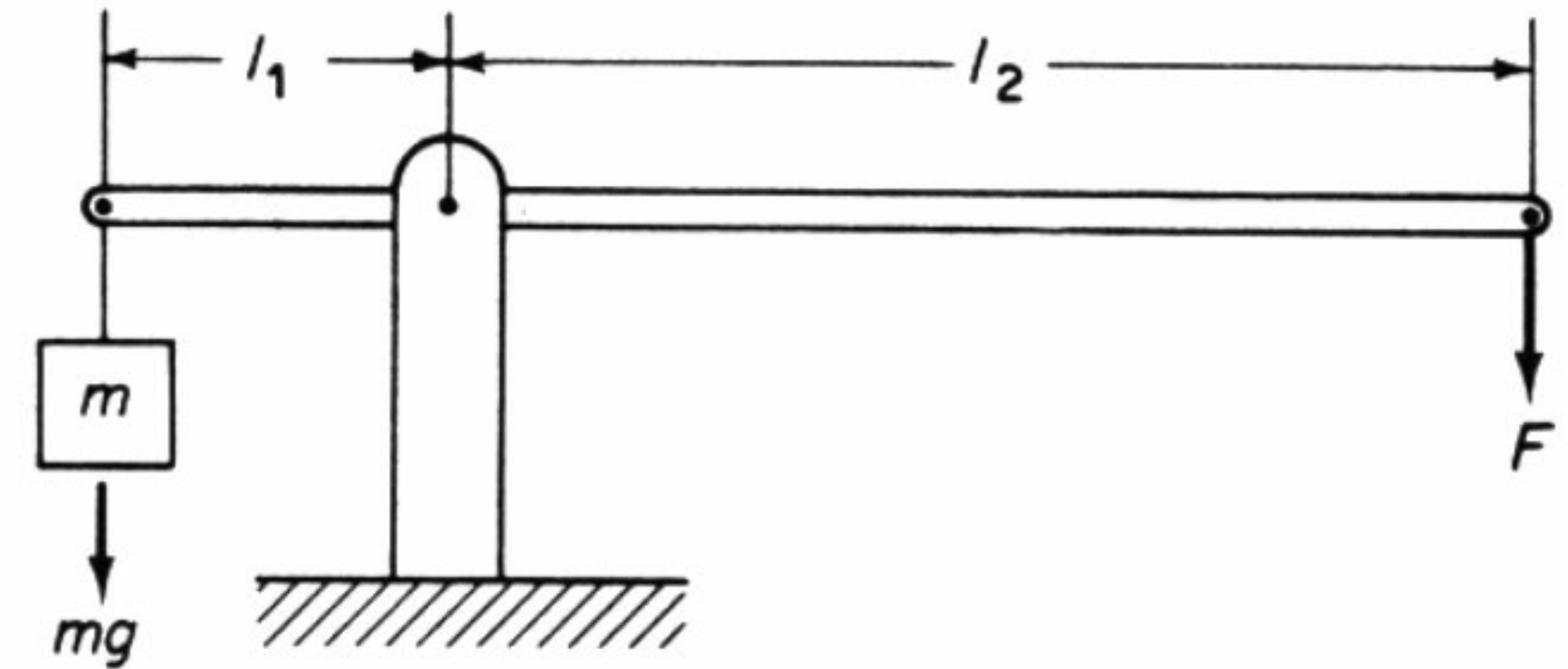
► Alavancas:

Elemento que transmite energia de um ponto para outro.

Possui relação de torque = 1.

$$l_1 \cdot m \cdot g = l_2 \cdot F$$

$$F = m \cdot g \cdot \frac{l_1}{l_2}$$



ELEMENTOS AMPLIFICADORES/REDUTORES ROTACIONAIS:

► Engrenagens/Polias:

Usados para reduzir velocidade e aumentar o torque.

Possui relação inversa entre o raio da polia ou o número de dentes da engrenagem com a velocidade angular, pois devem possuir a mesma velocidade tangencial e força.

$$r_1 \cdot \omega_1 = r_2 \cdot \omega_2$$

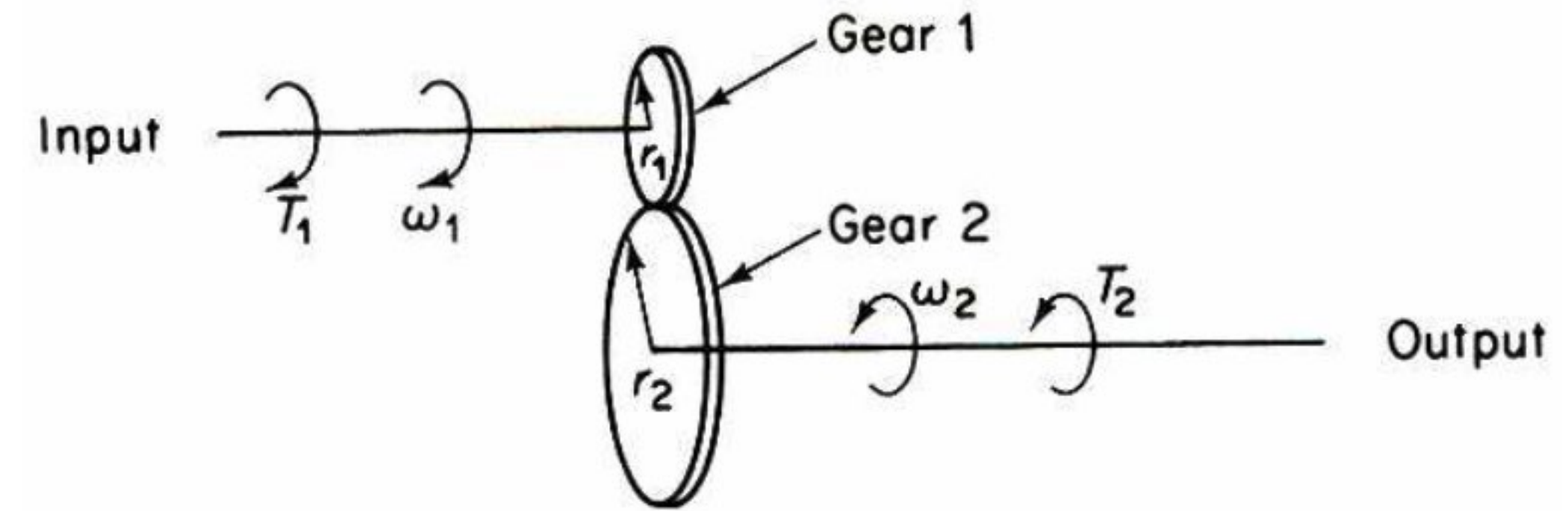
$$\frac{T_1}{r_1} = \frac{T_2}{r_2}$$

$$\frac{r_1}{r_2} = \frac{n_1}{n_2} = \frac{\omega_2}{\omega_1} = \frac{T_1}{T_2}$$

Onde: r = raio da polia;

n = num. Dentes da engrenagem;

ω = velocidade angular do eixo.



EXEMPLO: ELEMENTO AMPLIFICADORES/REDUTORES ROTACIONAL:

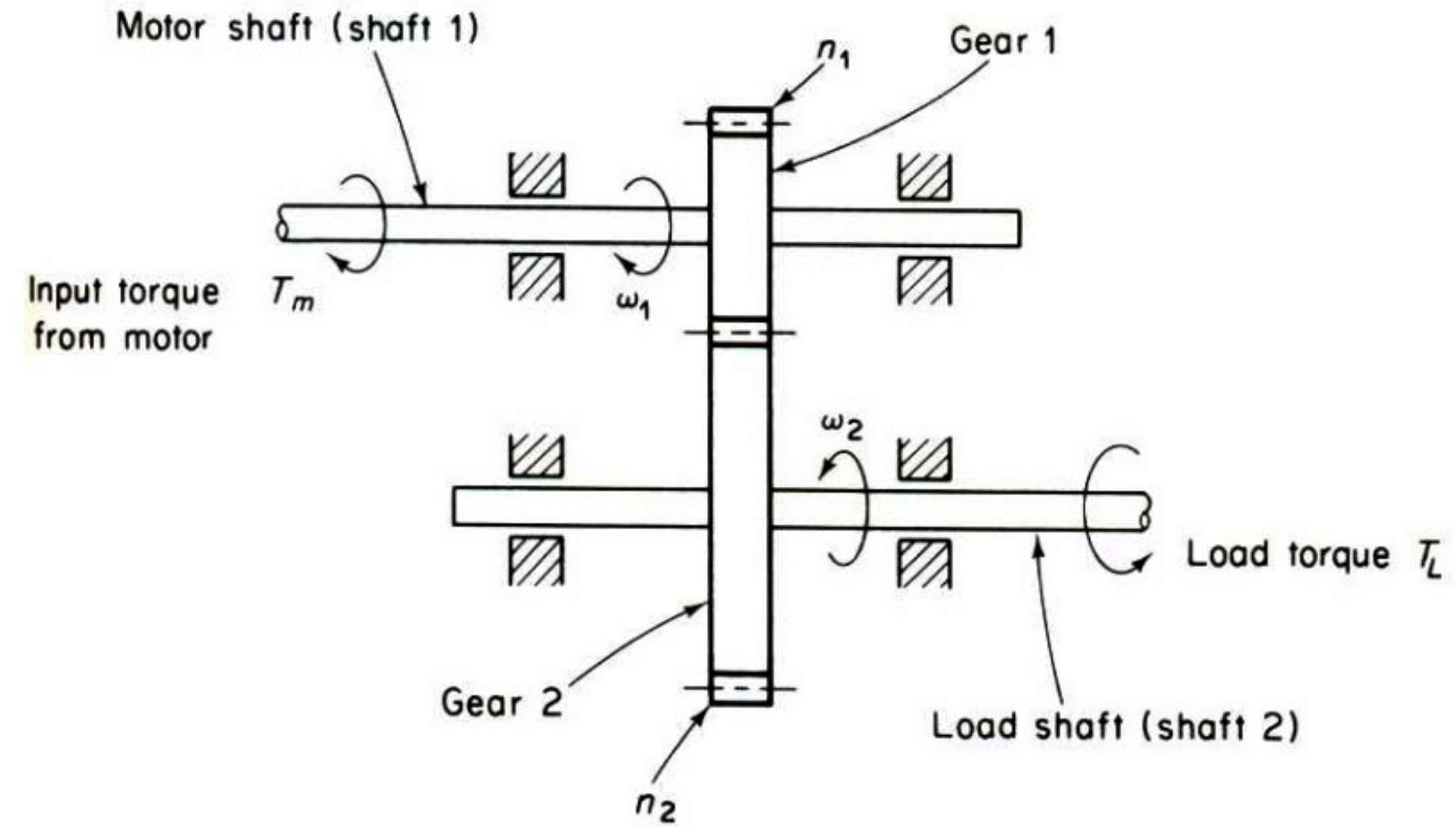
- Modele o sistema de engrenagens e encontre a equação que relaciona os torques do motor (T_M) e de carga (T_L) com as velocidades.
- O torque do motor T_M é aplicado no eixo 1. O momento de inércia do eixo somado ao da polia é definido como J_1 . De forma similar, temos J_2 e T_L no eixo 2.
- Se desconsiderarmos o atrito, podemos afirmar que o torque aplicado ao eixo 1 tem como resistência o movimento da engrenagem 1 e o torque transmitido para a engrenagem 2:

$$T_M(t) = J_1 \cdot \dot{\omega}_1 + T_1(t)$$

$$\omega_1(t) \cdot T_1(t) = \omega_2(t) \cdot T_2(t)$$

$$T_2(t) = J_2 \cdot \dot{\omega}_2 + T_L(t)$$

- O torque transmitido para a engrenagem 2 tem como resistência o movimento da engrenagem 2 e o torque de carga T_L :



- Transformada de Laplace:

$$T_M(s) = J_1 \cdot s \cdot \Omega_1 + T_1(s)$$

$$\Omega_1(s) \cdot T_1(s) = \Omega_2(s) \cdot T_2(s)$$

$$T_2(s) = J_2 \cdot s \cdot \Omega_2(s) + T_L(s)$$

Simplificando....

EXEMPLO: ELEMENTO AMPLIFICADORES/REDUTORES ROTACIONAL:

► Simplificando:

$$T_M(s) = J_1 \cdot s \cdot \Omega_1(s) + \frac{\Omega_2(s)}{\Omega_1(s)} T_2(s)$$

$$T_2(s) = J_2 \cdot s \cdot \Omega_2(s) + T_L(s)$$

Logo:

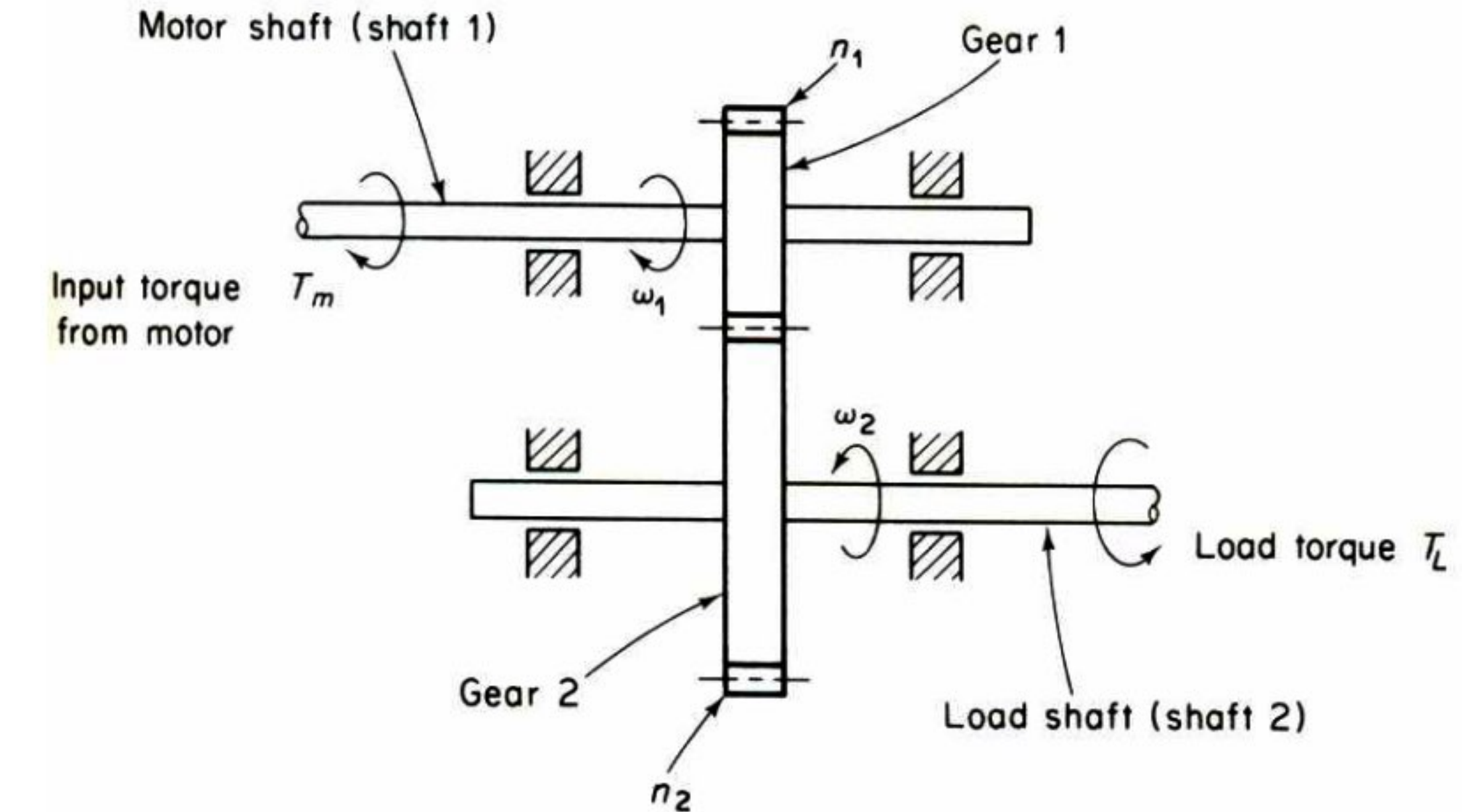
$$T_M(s) = J_1 \cdot s \cdot \Omega_1(s) + \frac{\Omega_2(s)}{\Omega_1(s)} (J_2 \cdot s \cdot \Omega_2(s) + T_L(s))$$

Como:

$$\frac{n_1}{n_2} = \frac{\omega_2(t)}{\omega_1(t)} \quad \dots \quad \frac{\Omega_2(s)}{\Omega_1(s)} = \frac{n_1}{n_2}$$

Assim:

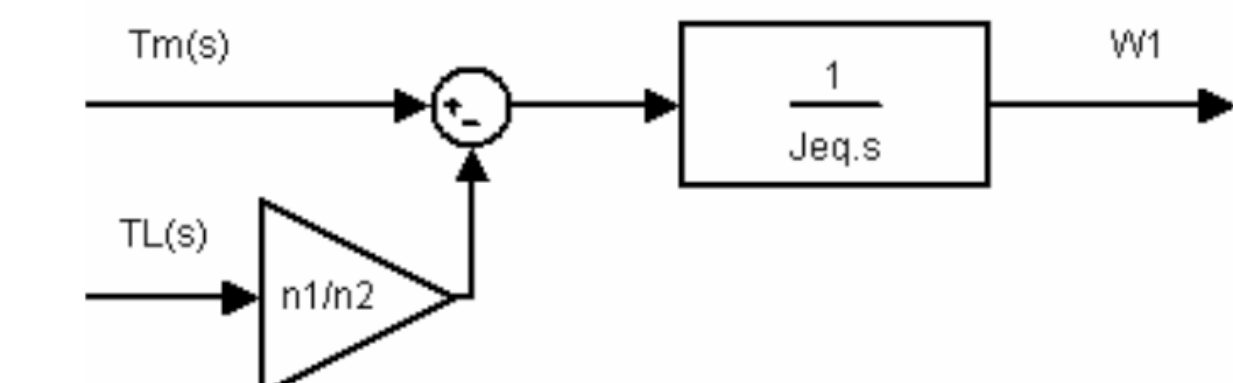
$$T_M(s) = J_1 \cdot s \cdot \Omega_1(s) + \frac{n_1}{n_2} (J_2 \cdot s \cdot \Omega_2(s) + T_L(s))$$



► Em termos de velocidade no eixo 1:

$$T_M(s) = \left[J_1 + \left(\frac{n_1}{n_2} \right)^2 \cdot J_2 \right] \cdot s \cdot \Omega_1(s) + \left(\frac{n_1}{n_2} \right) \cdot T_L(s)$$

$$\boxed{\left(T_M(s) - \left(\frac{n_1}{n_2} \right) \cdot T_L(s) \right) \cdot \frac{1}{J_{eq} \cdot s} = \Omega_1(s)}$$



EXEMPLO: ELEMENTO AMPLIFICADORES/REDUTORES ROTACIONAL:

- Em termos de velocidade no eixo 1:

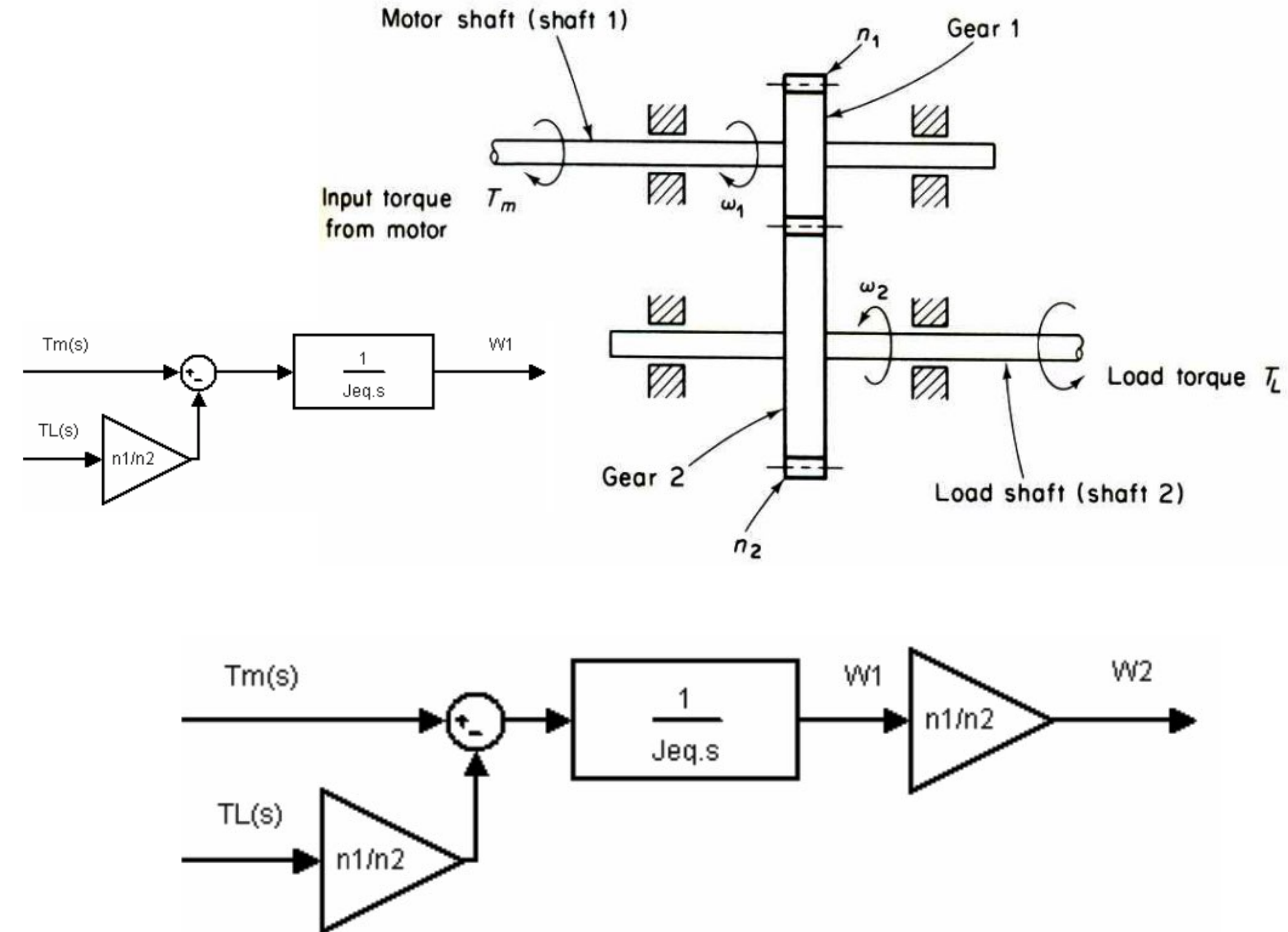
$$T_M(s) = \left[J_1 + \left(\frac{n_1}{n_2} \right)^2 \cdot J_2 \right] \cdot s \cdot \Omega_1(s) + \left(\frac{n_1}{n_2} \right) \cdot T_L(s)$$

$$\left(T_M(s) - \left(\frac{n_1}{n_2} \right) \cdot T_L(s) \right) \cdot \frac{1}{J_{eq} \cdot s} = \Omega_1(s)$$

- Em termos de velocidade no eixo 2:

$$T_M(s) = \left[J_1 + \left(\frac{n_1}{n_2} \right)^2 \cdot J_2 \right] \cdot \frac{n_2}{n_1} \cdot s \cdot \Omega_2(s) + \left(\frac{n_1}{n_2} \right) \cdot T_L(s)$$

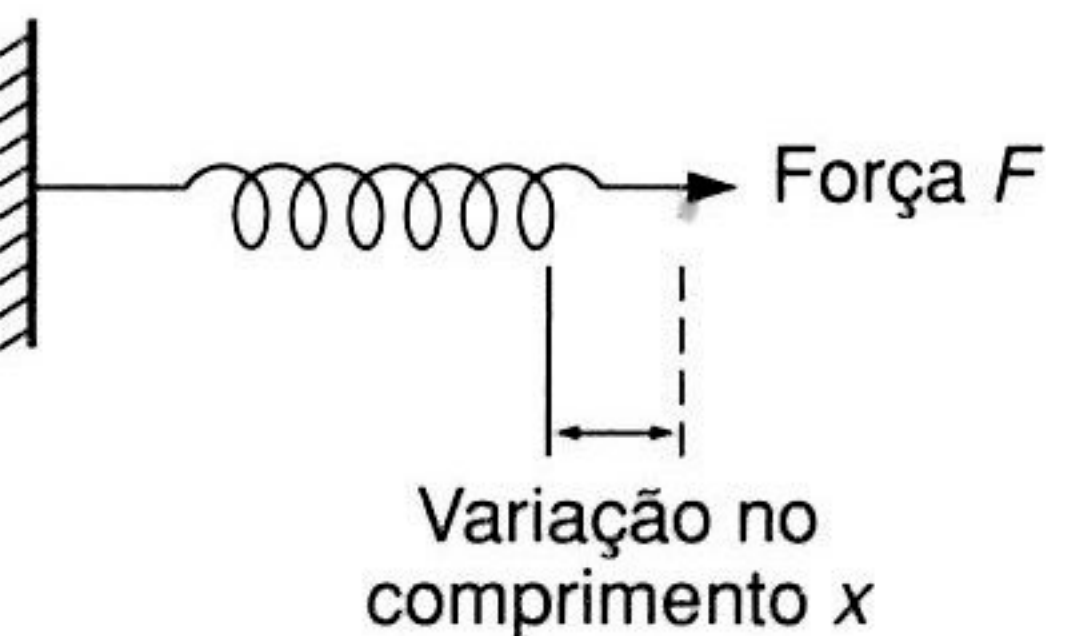
$$\left(T_M(s) - \left(\frac{n_1}{n_2} \right) \cdot T_L(s) \right) \cdot \left(\frac{n_1}{n_2} \right) \cdot \frac{1}{J_{eq} \cdot s} = \Omega_2(s)$$



ENERGIA: ELEMENTOS TRANSLACIONAIS

- Se faz necessária energia para:
 - tracionar uma mola;
 - acelerar uma massa, e;
 - mover um pistão (amortecedor).

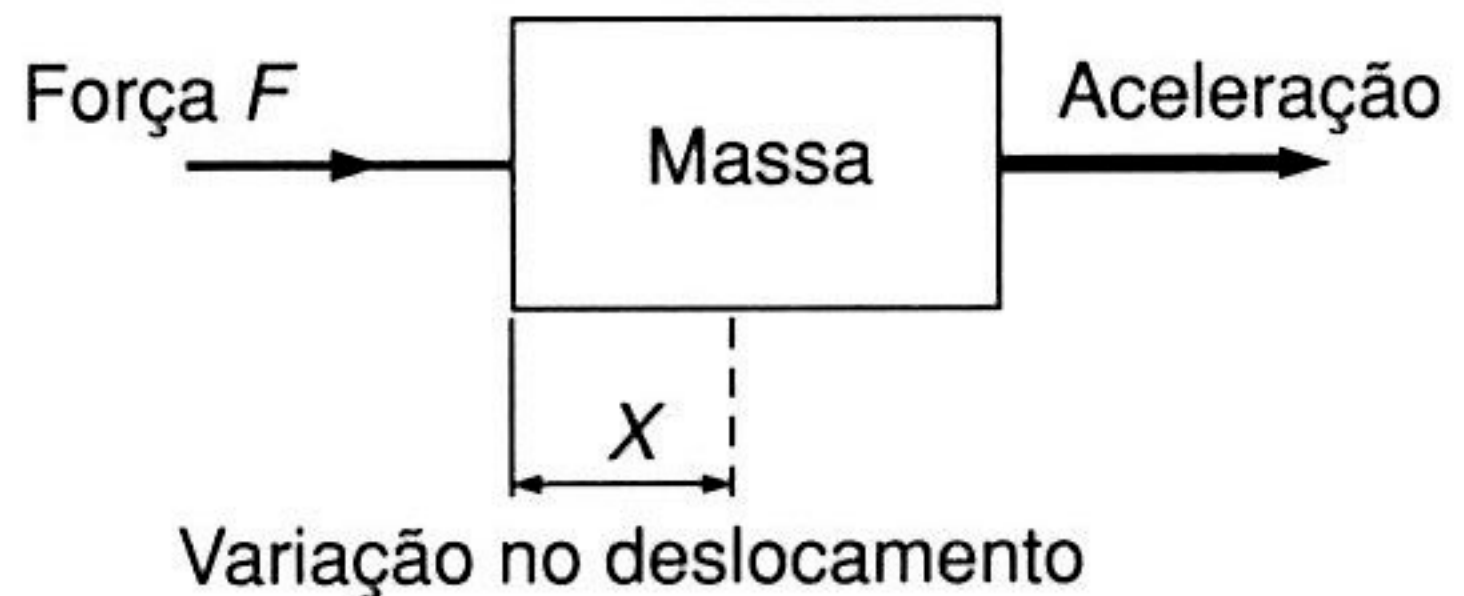
Mola:



$$F = k \cdot x$$

$$E = \frac{1}{2} \frac{F^2}{k}$$

Massa:

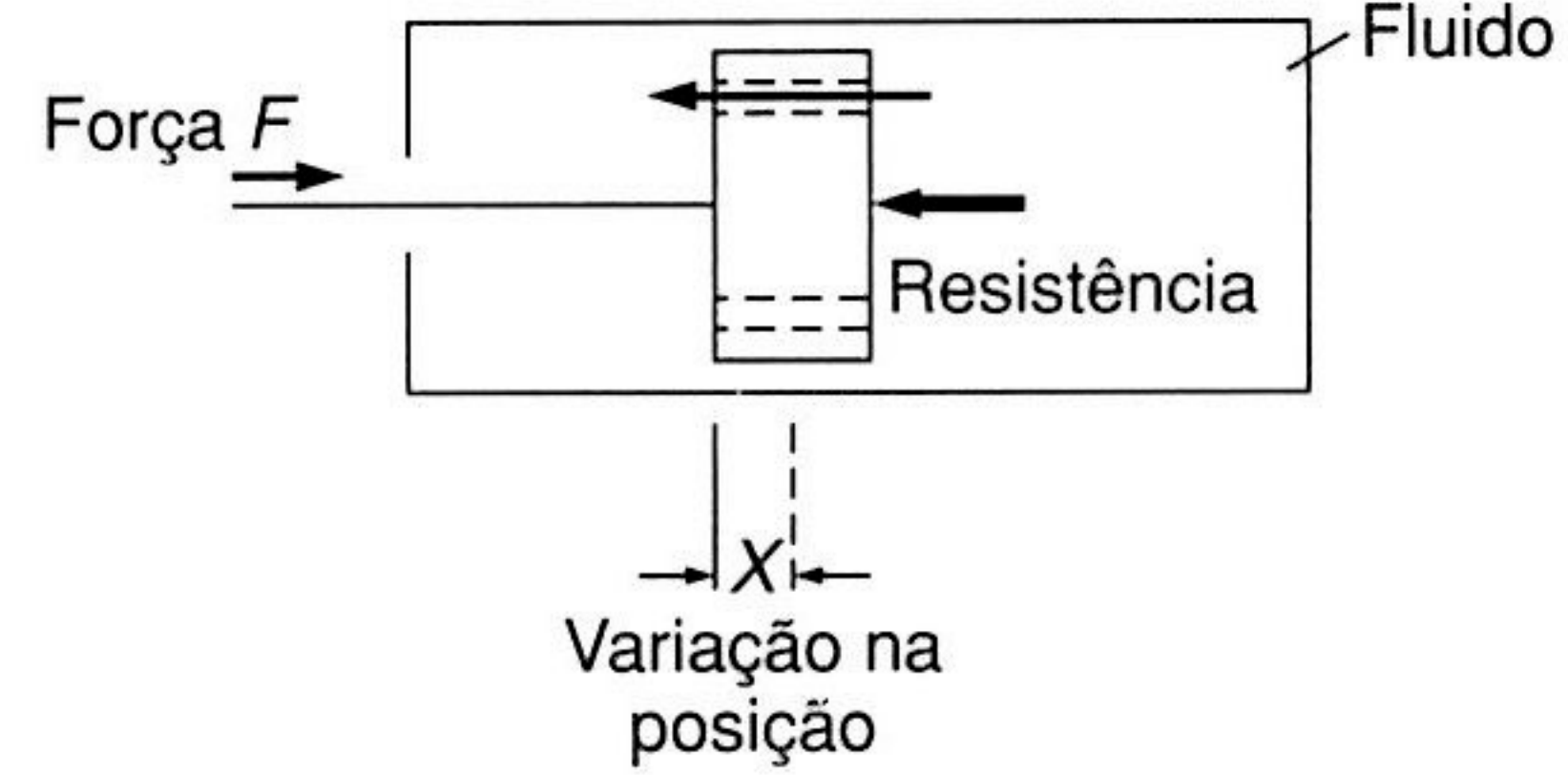


$$F = m \cdot \ddot{x}$$

$$E = \frac{1}{2} m \cdot \dot{x}^2$$

- No caso de uma **mola** e uma **massa**, podemos recuperar a energia, mas no caso do **amortecedor**, não (amortecedor dissipia energia).
- A **mola** quando tracionada, **armazena energia**, que é liberada quando a mola retorna ao seu comprimento original.
- No caso de uma **massa**, existe **energia armazenada** quando ela se move com velocidade não nula (esta energia é chamada de energia cinética). É liberada quando o movimento cessa.

Amortecedor:



$$F = c \cdot \dot{x}$$

$$P = c \cdot \dot{x}^2$$

ENERGIA: ELEMENTOS ROTACIONAIS

- A mola torcional e a massa rotativa armazenam energia;
- O amortecedor rotativo dissipava energia.
- A **energia armazenada** em uma **mola torcional** quando gira de um ângulo θ envolve:

Torque aplicado: $T = k \cdot \theta$

$$\text{Energia envolvida: } E = \frac{1}{2} k \theta^2 \text{ ou } E = \frac{1}{2} \frac{T^2}{k}.$$

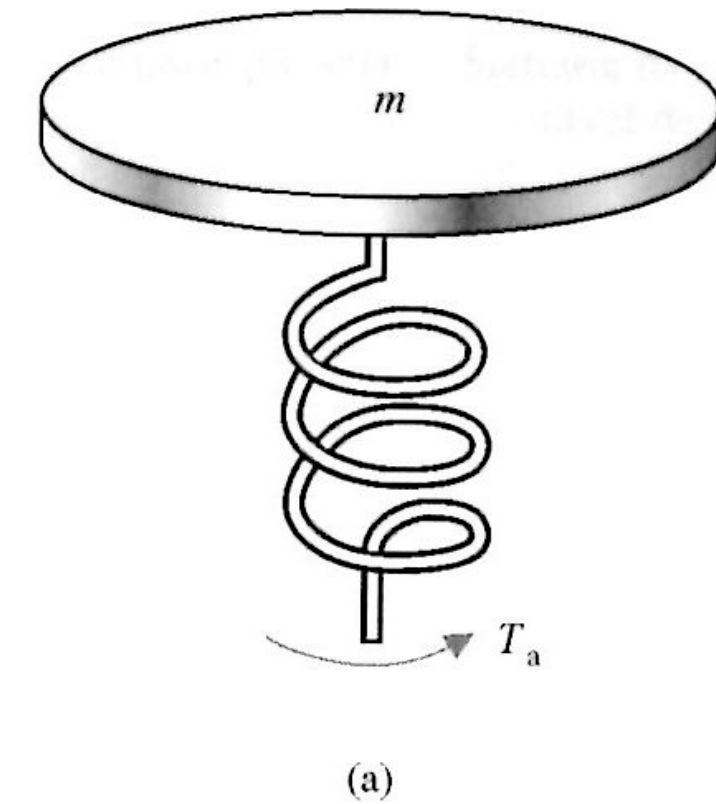
- A **energia armazenada** por uma **massa rotativa** com uma velocidade angular ω envolve:

Torque aplicado: $T = I \cdot \dot{\omega} = I \cdot \ddot{\theta}$ (quanto maior a inércia \Rightarrow maior torque necessário para provocar uma aceleração angular).

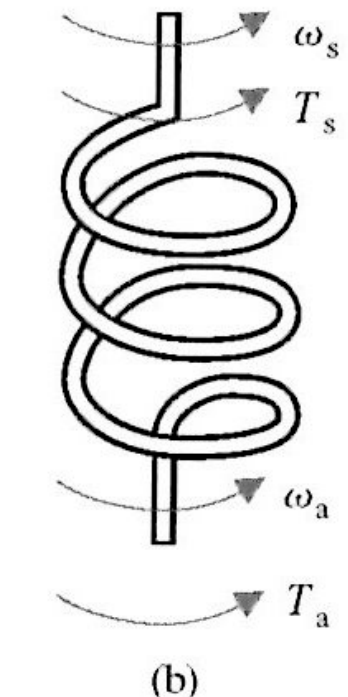
$$\text{Energia envolvida: } E = \frac{1}{2} I \omega^2 = \frac{1}{2} I \ddot{\theta}^2.$$

- A **energia dissipada** por um **amortecedor rotativo** quando está em operação com uma velocidade ω envolve:

$$T = c \cdot \omega = c \dot{\theta}; \quad T = I \cdot \dot{\omega} = I \cdot \ddot{\theta}; \quad P = c \omega^2 = c \ddot{\theta}^2$$



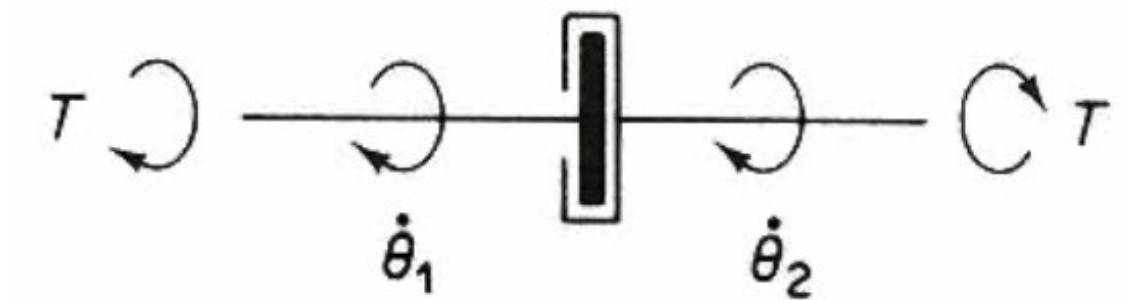
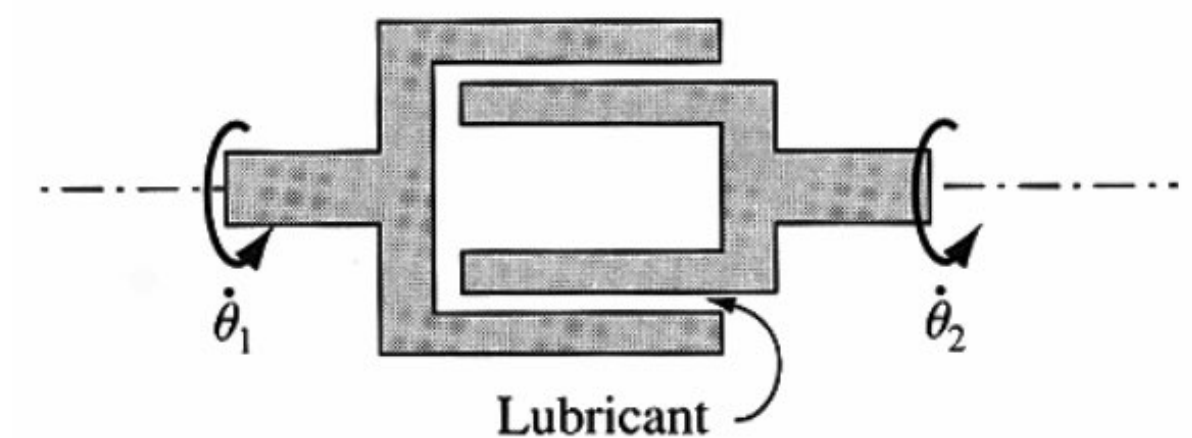
(a)



(b)

Sistema de torção
massa-mola.

Mola torcional (armazena energia).



Amortecedor torcional (dissipa energia).

SISTEMA INTERNACIONAL DE UNIDADES (SI)

	Unidade	Símbolo	Variável
Comprimento	Metro	m	x
Massa	Quilograma	Kg	m
Tempo	Segundo	s	t
Temperatura	Kelvin	K	
Corrente elétrica	Ampère	A	i
Velocidade	Metros por segundo	m/s	$\nu = \dot{x}$
Área	Metro quadrado	m^2	
Força	Newton	$N = \text{Kg} \cdot \text{m/s}^2$	F
Torque	Quilogrâmetro	kg.m	T
Pressão	Pascal	Pa	
Energia	Joule	$J = \text{N} \cdot \text{m}$	E
Potência	Watt	$W = \text{J/s}$	P

Ref.: [Cap. 2: Modelos Matemáticos de Sistemas] in Dorf, Richard C.; Bishop, Robert H.; Sistemas de Controle Modernos, 8a-ed, LTC, 2001.

RESUMO EQUAÇÕES BLOCOS MECÂNICOS

Bloco	Equação	Energia Armazenada/Potência Dissipada
Mola translacional	$F = k x$	$E = \frac{1}{2} \frac{F^2}{k}$
Mola torcional	$T = k \theta$	$E = \frac{1}{2} \frac{T^2}{k}$
Massa	$F = m \frac{d^2x}{dt^2} = m \ddot{x}$	$E = \frac{1}{2} m v^2 = \frac{m \ddot{x}}{2}$
Momento de Inércia	$T = I \frac{d^2\theta}{dt^2} = I \ddot{\theta}$	$E = \frac{1}{2} I \omega^2 = \frac{1}{2} I \ddot{\theta}^2$
Amortecimento translacional	$F = c \frac{dx}{dt} = c \dot{x}$	$P = c v^2 = c \dot{x}^2$
Amortecimento rotacional	$T = c \frac{d\theta}{dt} = c \dot{\theta}$	$P = c \omega^2 = c \dot{\theta}^2$

*Armazenamento
de energia*

*Dissipação
de energia*

Ref.: [Cap. 2: Modelos de Sistemas] in Bolton, W.; Engenharia de Controle, Makron Books do Brasil, 1995.

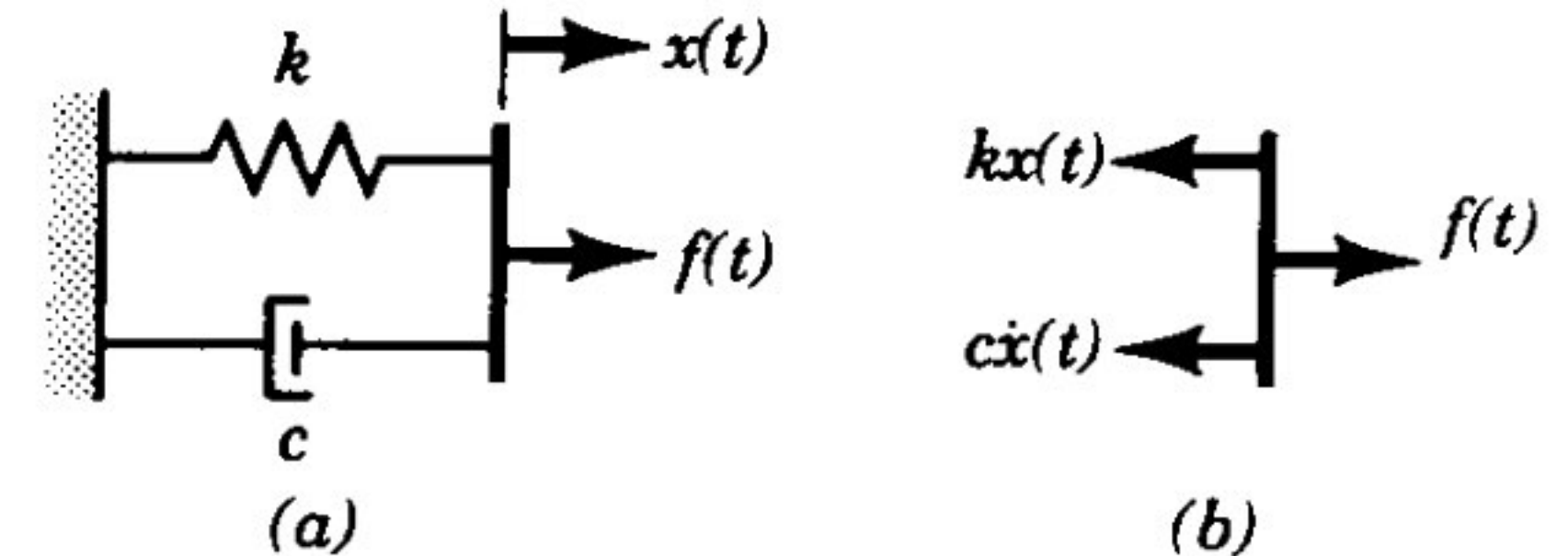
MODELANDO SISTEMAS

- **Ex_1:** Sistema mola-amortecedor em paralelo (fig (a)).
- fig (b): diagrama do corpo livre: a barra (sistema) é considerado sem massa e sobre a qual atuam as forças externas: de excitação $f(t)$, a força da mola ($k \cdot x(t)$) e a força do atrito (amortecedor) viscoso ($c \cdot \dot{x}(t)$).
- Sistema de apenas 1 grau de liberdade: a coordenada $x(t)$ é suficiente para descrever a dinâmica do sistema.
- Aplicando a 2a-lei de Newton, temos:

$$\sum F_x = m\ddot{x} = 0$$

$$f(t) - c \cdot \dot{x}(t) + k \cdot x(t) = 0$$

$$c \cdot \dot{x}(t) + k \cdot x(t) = f(t)$$



MODELANDO SISTEMAS

- **Ex_2:** Sistema mola-amortecedor em série (fig (a)).
- Agora temos um sistema com 2 graus de liberdade, pois são necessárias 2 coordenadas para descrever o movimento do mesmo: x_1 para o ponto situado entre o amortecedor e a mola; e x_2 para o ponto de aplicação da força $f(t)$
- fig (b): diagrama do corpo livre (foi considerado que $x_2 > x_1$).

► Aplicando a 2a-lei de Newton no ponto (nó) 1:

$$\sum F_{x_1} = m_1 \ddot{x}_1 = 0 \quad \Leftarrow \text{pois: } m_1 = 0$$

$$k(x_2 - x_1) - c \cdot \dot{x}_1 = 0$$

► Aplicando 2a-lei de Newton no ponto (nó) 2:

$$\sum F_{x_2} = m_2 \cdot \ddot{x}_2 = 0 \quad \Leftarrow \text{pois: } m_2 = 0$$

$$f(t) - k(x_2 - x_1) = 0$$

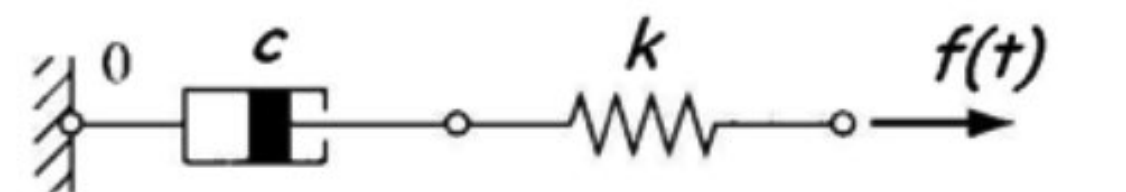
► Modelo matemático completo:

$$c \cdot \dot{x}_1 + k \cdot x_1 - k \cdot x_2 = 0$$

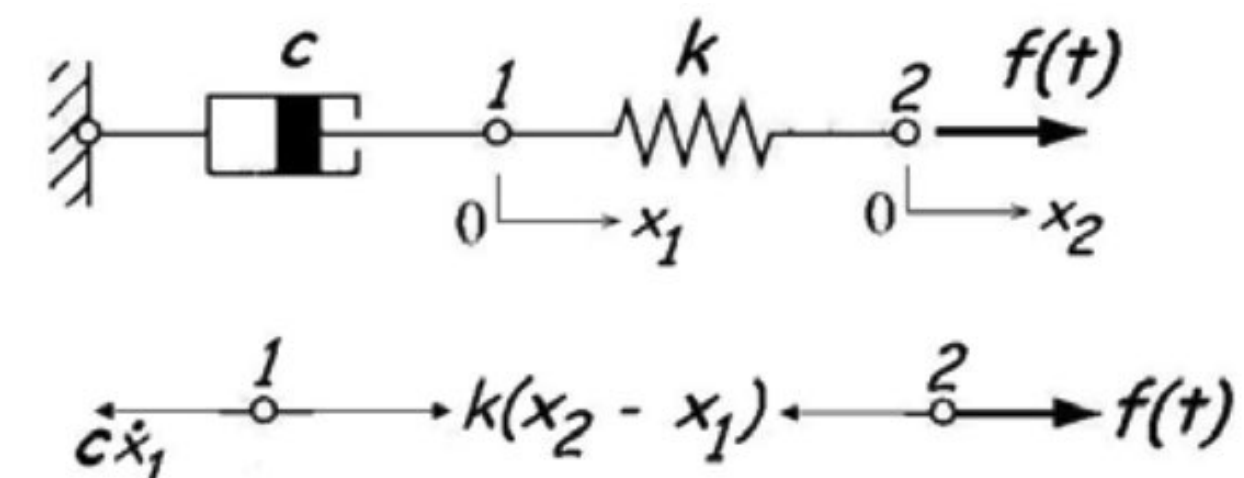
$$-k \cdot x_1 + k \cdot x_2 = f(t)$$

► Matricialmente:

$$\begin{bmatrix} c & 0 \\ 0 & 0 \end{bmatrix} \cdot \begin{bmatrix} \dot{x}_1 \\ \dot{x}_2 \end{bmatrix} + \begin{bmatrix} k & -k \\ -k & k \end{bmatrix} \cdot \begin{bmatrix} x_1 \\ x_2 \end{bmatrix} = \begin{bmatrix} 0 \\ f(t) \end{bmatrix}$$



(a)



(b)

MODELANDO SISTEMAS

- **Ex_3:** Sistema massa-mola-amortecedor com 1 grau de liberdade: fig(a).
- Fig (b): diagrama do corpo livre.
- Onde $y(t)$ = deslocamento vertical da massa m a partir da posição em que a mola não está deformada (ou seja, antes da montagem da massa m no sistema).
- Aplicando 2a-Lei de Newton:

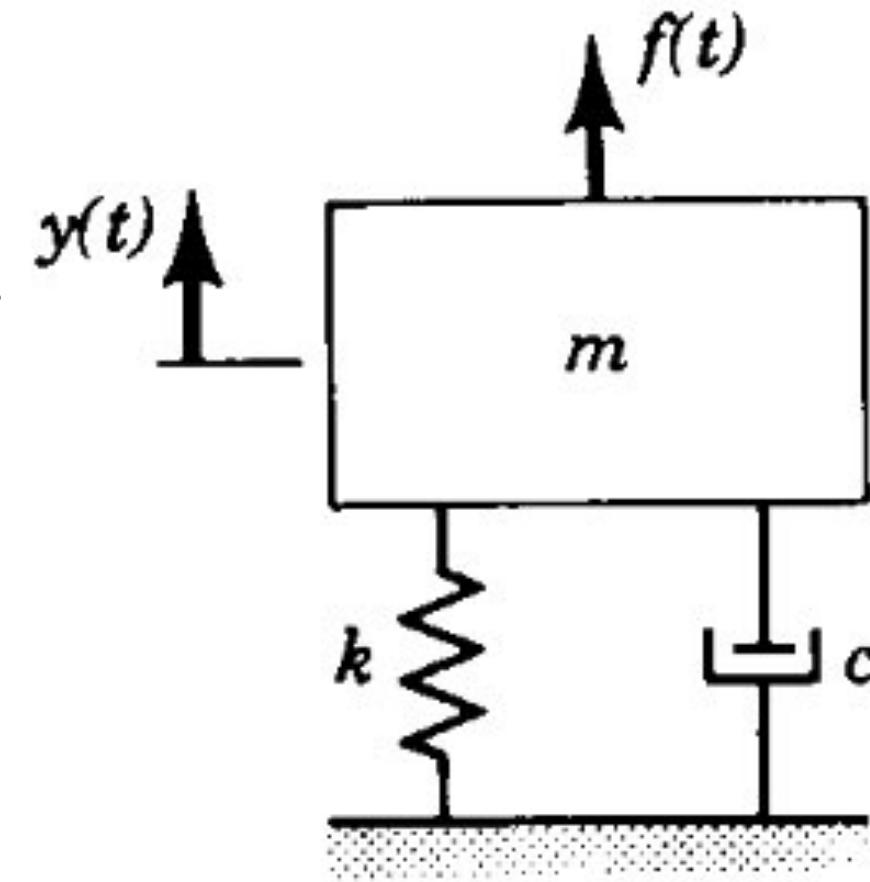
$$\sum F_y = t(t) - f_c(t) - f_k(t) - m \cdot g = m \cdot \ddot{y}(t)$$

$$f_m = m \cdot \ddot{y}$$

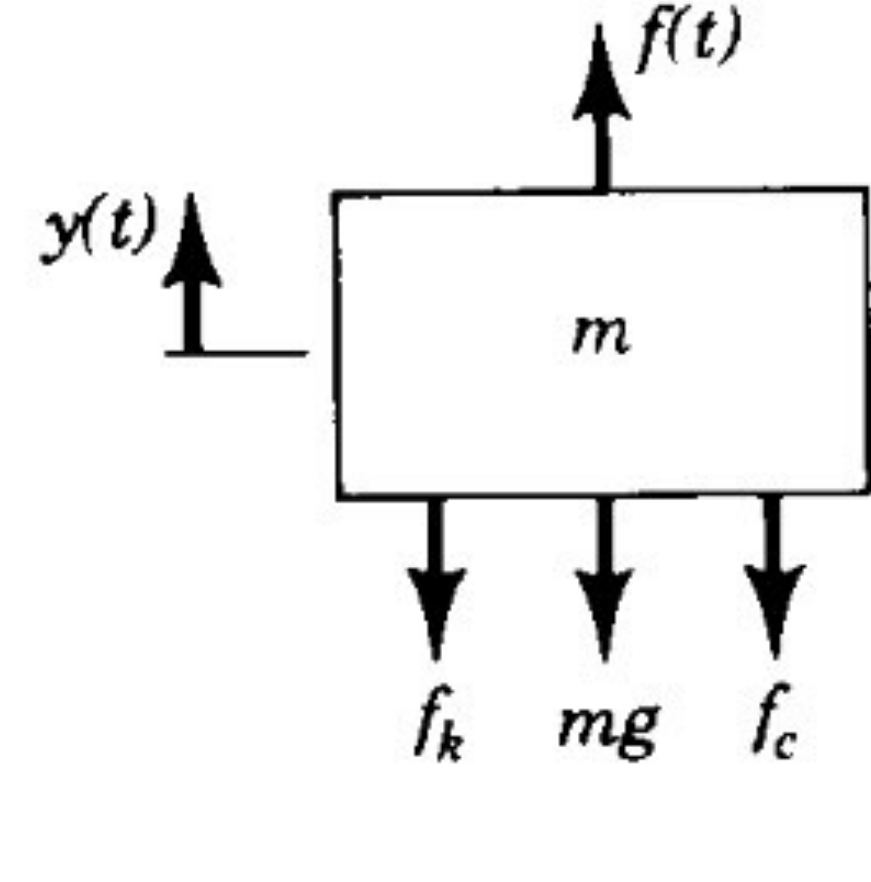
$$f_c = c (\dot{y}_2 - \dot{y}_1)$$

$$f_k = k (y_2 - y_1)$$
 juntando:

$$m \cdot \ddot{y}(t) + c \cdot \dot{y}(t) + k \cdot y(t) + m \cdot g = f(t)$$



(a)



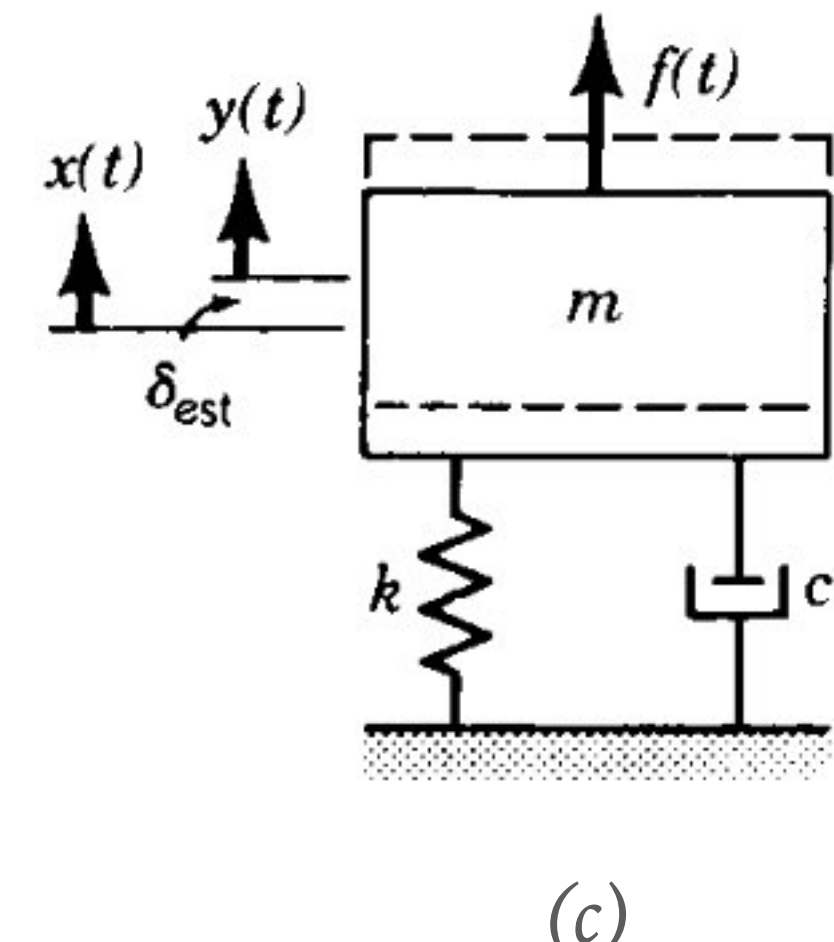
(b)

- Considerando que a deflexão da mola equilibra o sistema (fig (c)).

$$m \cdot g = k \cdot \delta_{est}$$
 onde δ_{est} = valor deflexão estática.
- Podemos ainda fazer:

$$y(t) = x(t) - \delta_{est}$$
- E por fim obtemos:

$$m \cdot \ddot{x}(t) + c \cdot \dot{x}(t) + k \cdot x(t) = f(t)$$



(c)

MODELANDO SISTEMAS MECÂNICOS

- **Ex_4:** Outro sistema massa-mola-amortecedor como mostra a figura ao lado:
- Para determinar a relação entre a força e o deslocamento do sistema, devemos considerar somente uma massa e uma força agindo sobre o corpo.
- Um diagrama de massa e forças é chamado de **diagrama do corpo livre**.
- Quando várias forças agem sobre um corpo simultaneamente, a resultante pode ser determinada pela soma de vetores.
- No caso da figura anterior: o conjunto de forças aplicada à massa é a força aplicada F menos a força resultante da tração ou compressão de um mola, e menos a força do amortecedor:

$$F_r = F - kx - cv$$

$$F_r = F - kx - c\dot{x}$$

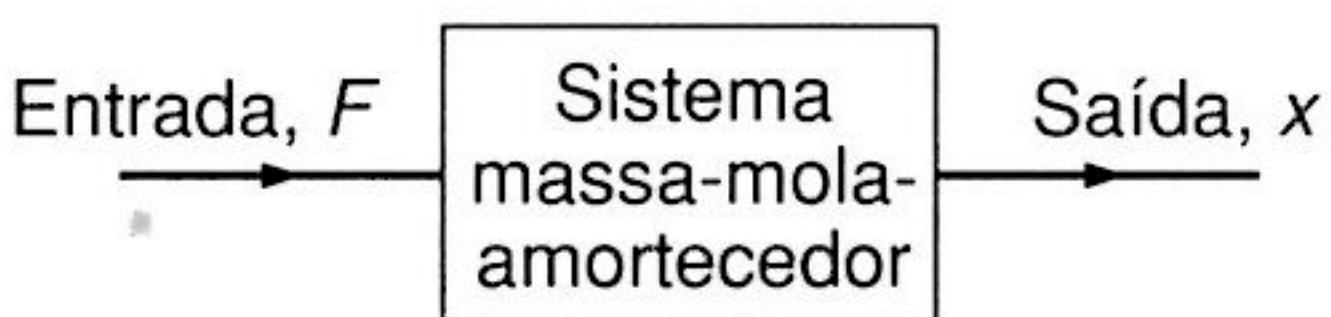
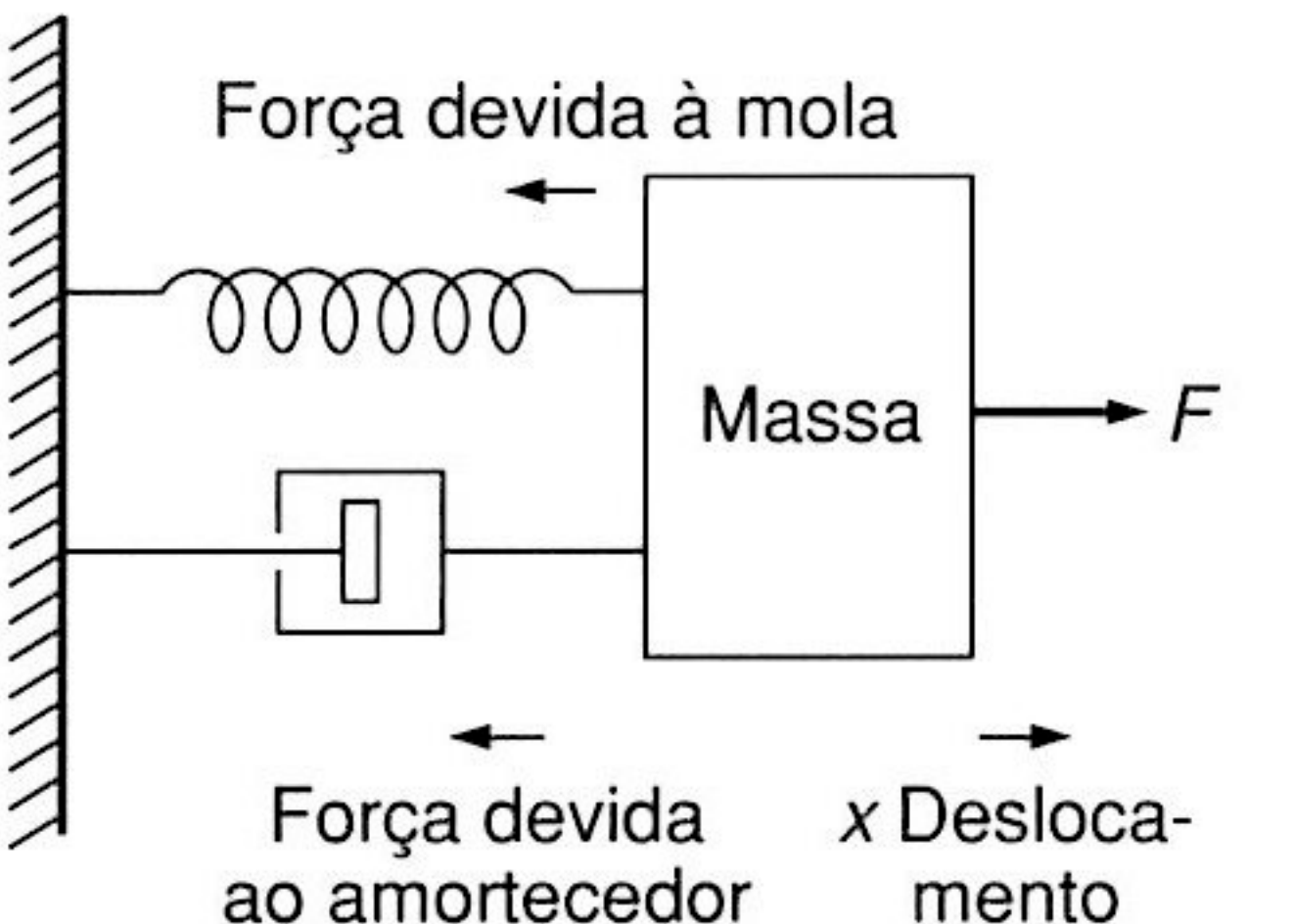
- Esse conjunto de forças é a força aplicada à massa que provoca a aceleração:

$$F_r = ma = m\ddot{x}$$

- Assim:

$$F - kx - c\dot{x} = m\ddot{x}$$

$F = m\ddot{x} + c\dot{x} + kx \leftarrow$ Eq. Diferencial que descreve relação entre Força F , e deslocamento de saída x .



Bloco	Equação
Mola translacional	$F = kx$
Mola torcional	$T = k\theta$
Massa	$F = m \frac{d^2x}{dt^2} = m\ddot{x}$
Momento de Inércia	$T = I \frac{d^2\theta}{dt^2} = I\ddot{\theta}$
Amortecimento translacional	$F = c \frac{dx}{dt} = c\dot{x}$
Amortecimento rotacional	$T = c \frac{d\theta}{dt} = c\dot{\theta}$

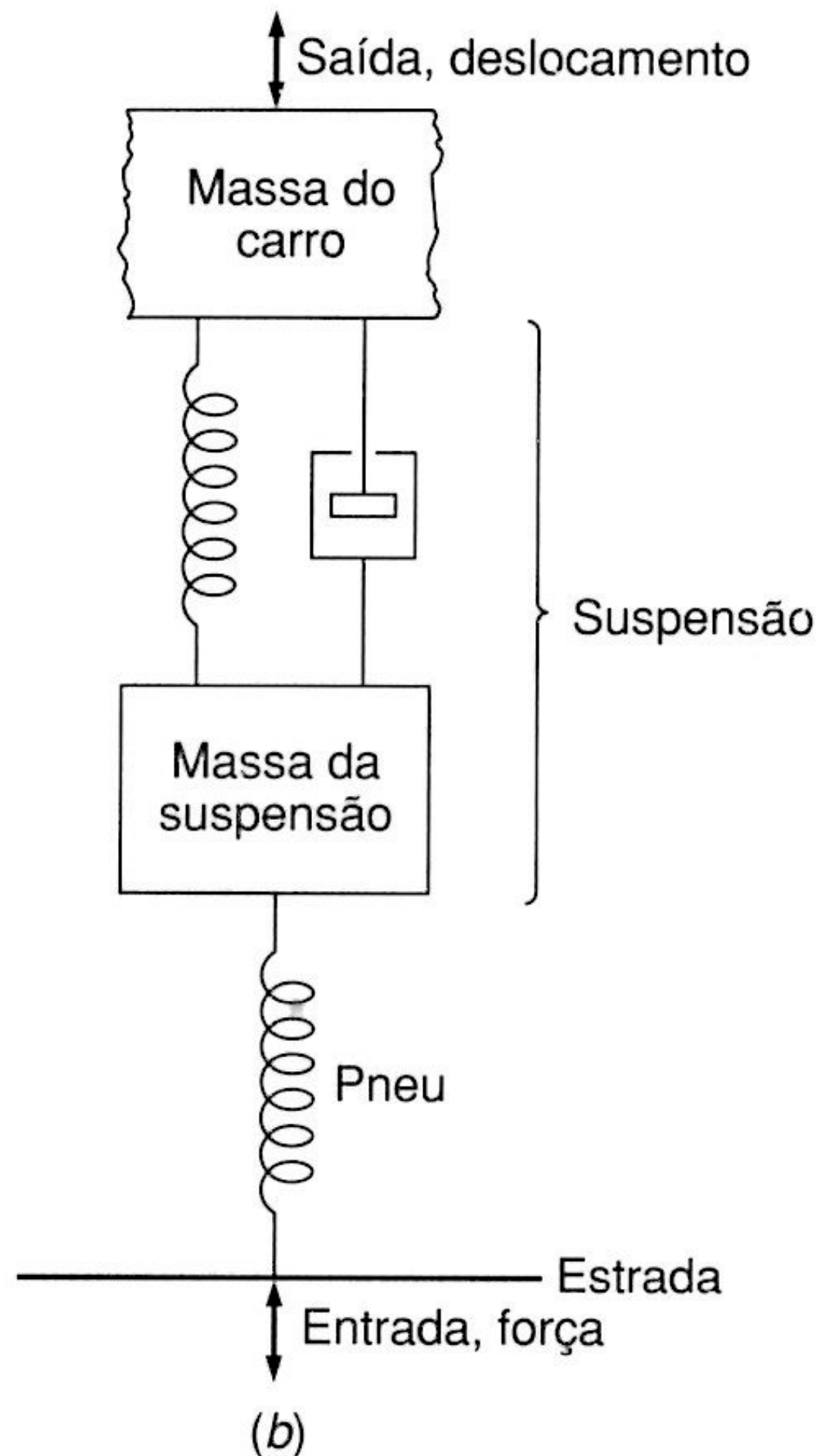
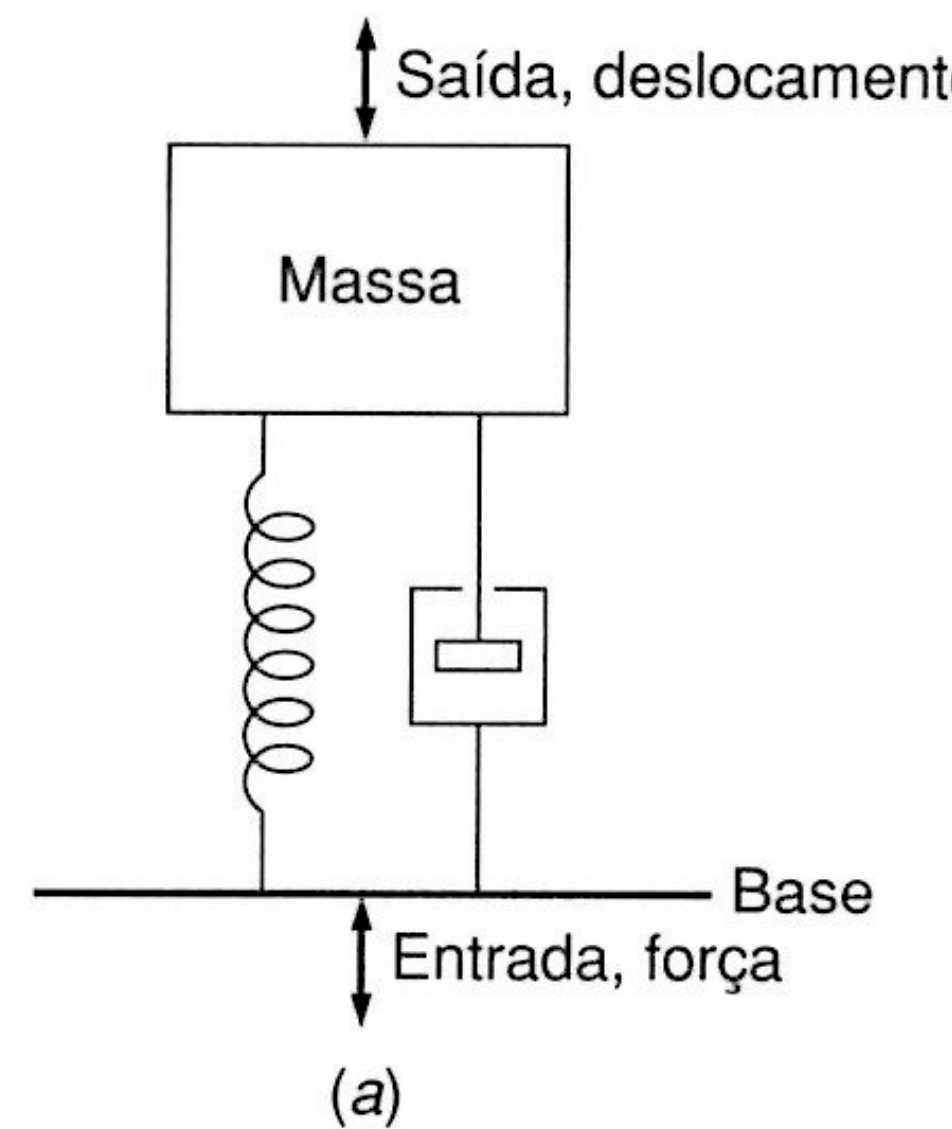
MODELANDO SISTEMAS MECÂNICOS

► **Ex_5:** Sejam os sistemas da fig. ao lado:

- (a) uma máquina montada no chão, e;
- (b) um carro movendo-se ao longo de uma estrada.

A figura (a) serve de base para estudar os efeitos de distúrbios gerados pela montagem da máquina nos deslocamentos da máquina.

A figura (b) pode ser usado para o estudo do comportamento esperado do veículo quando conduzido numa estrada irregular, servindo como base para o projeto da suspensão do carro.

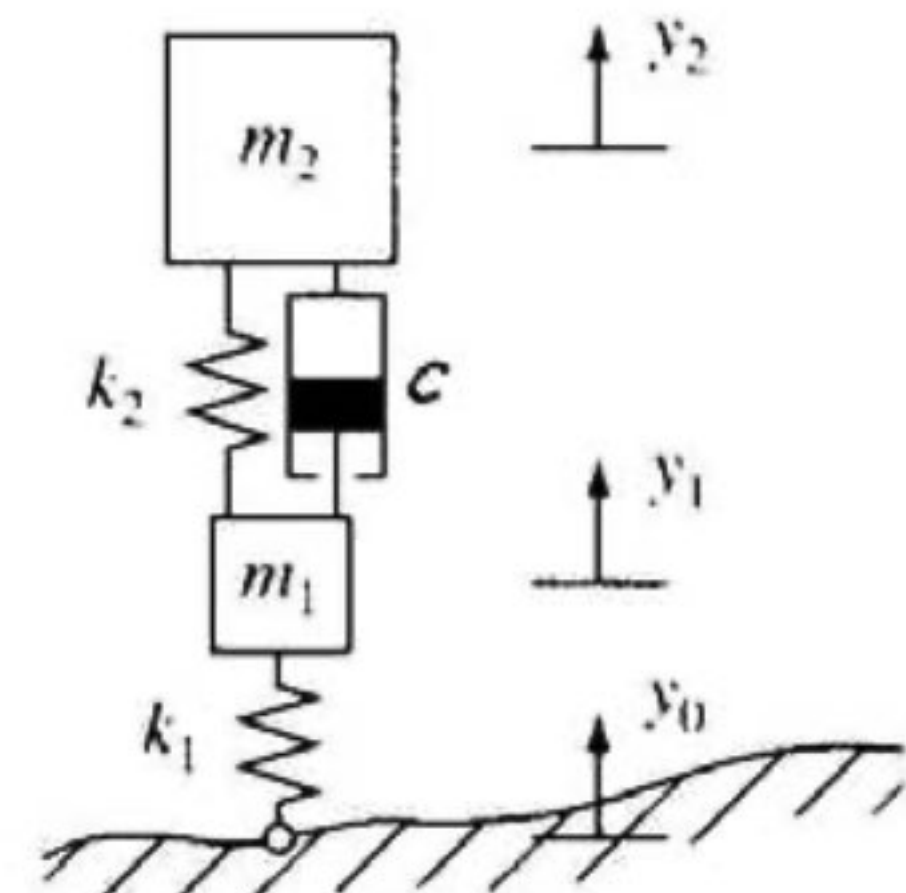
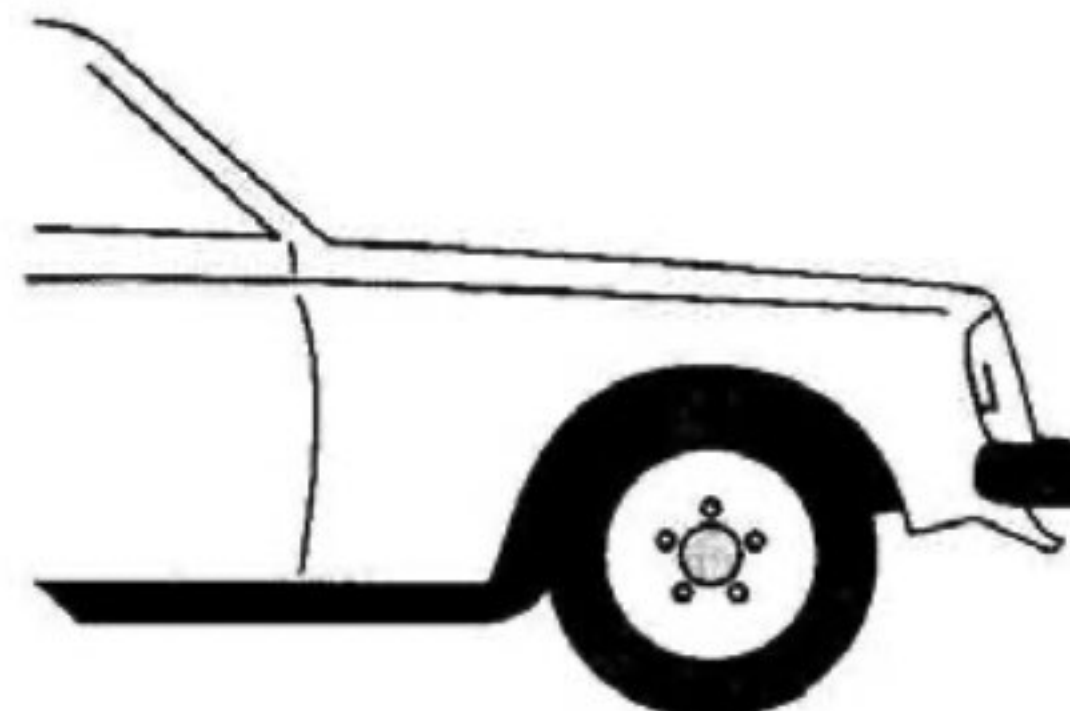


O procedimento adotado para análise de tais modelos é o mesmo esboçado anteriormente.

Um diagrama de corpo livre é desenhado para cada massa no sistema; tal diagrama mostra cada massa independentemente e as forças que agem sobre elas. Então, a resultante das forças que agem em cada massa é igual ao produto da massa pela aceleração.

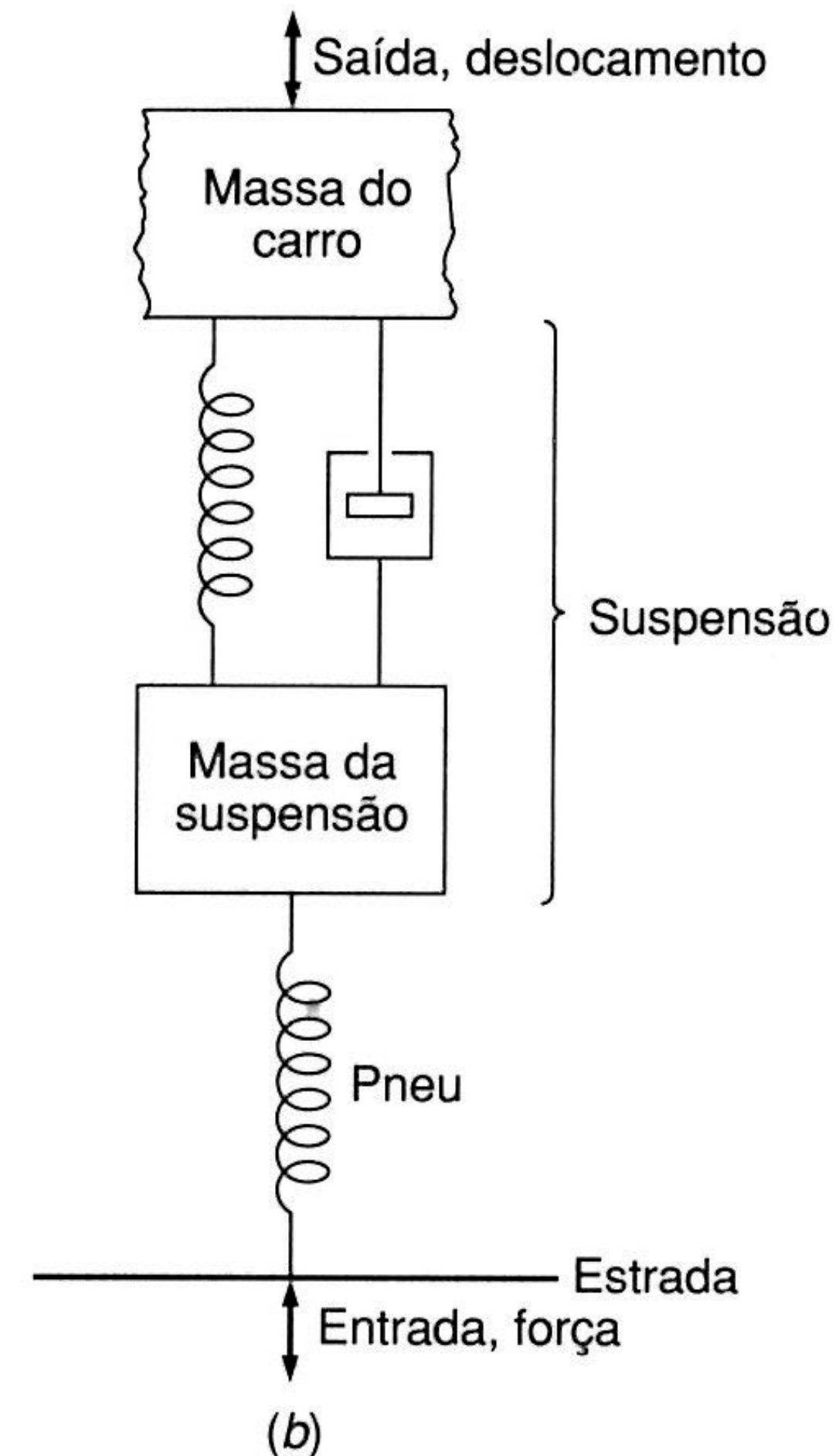
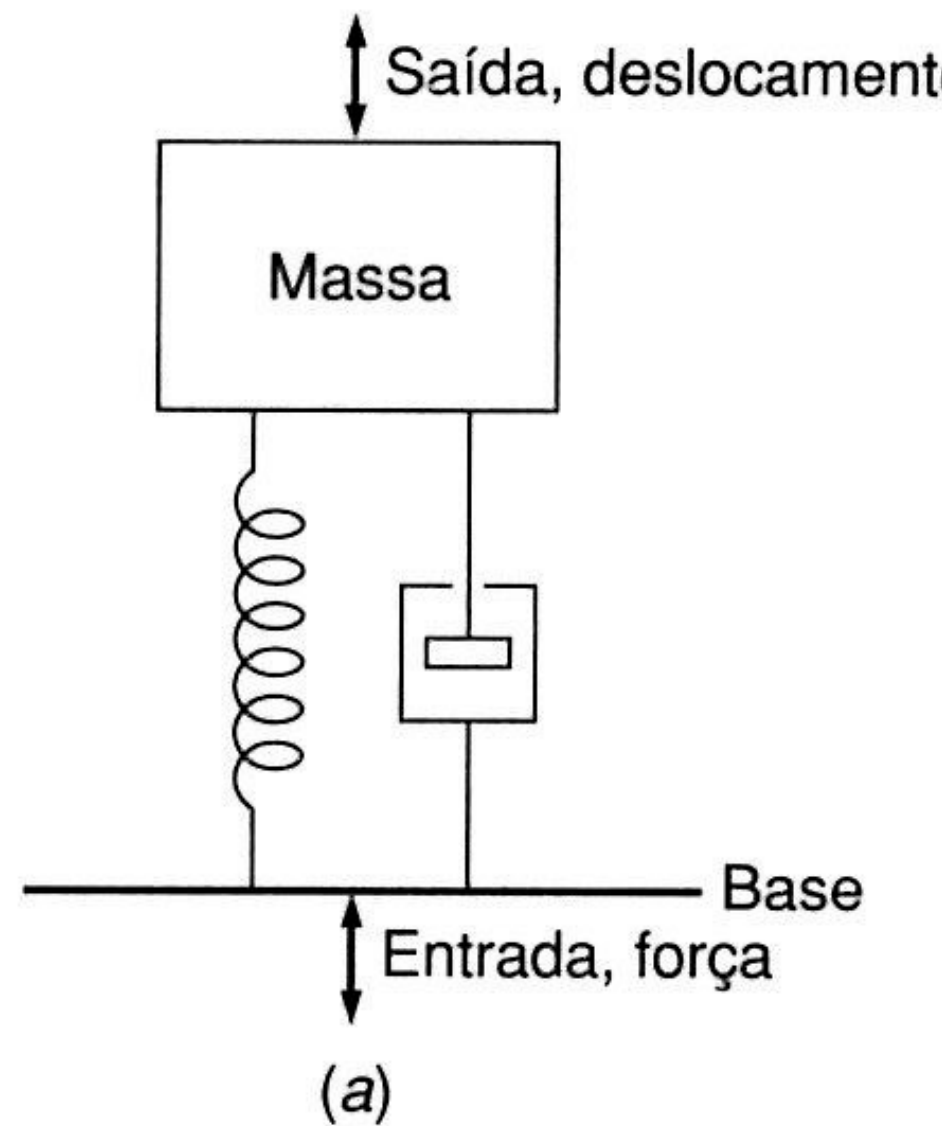
MODELANDO SISTEMAS MECÂNICOS

- **Ex_6:** Suspensão de um veículo.



Comentários:

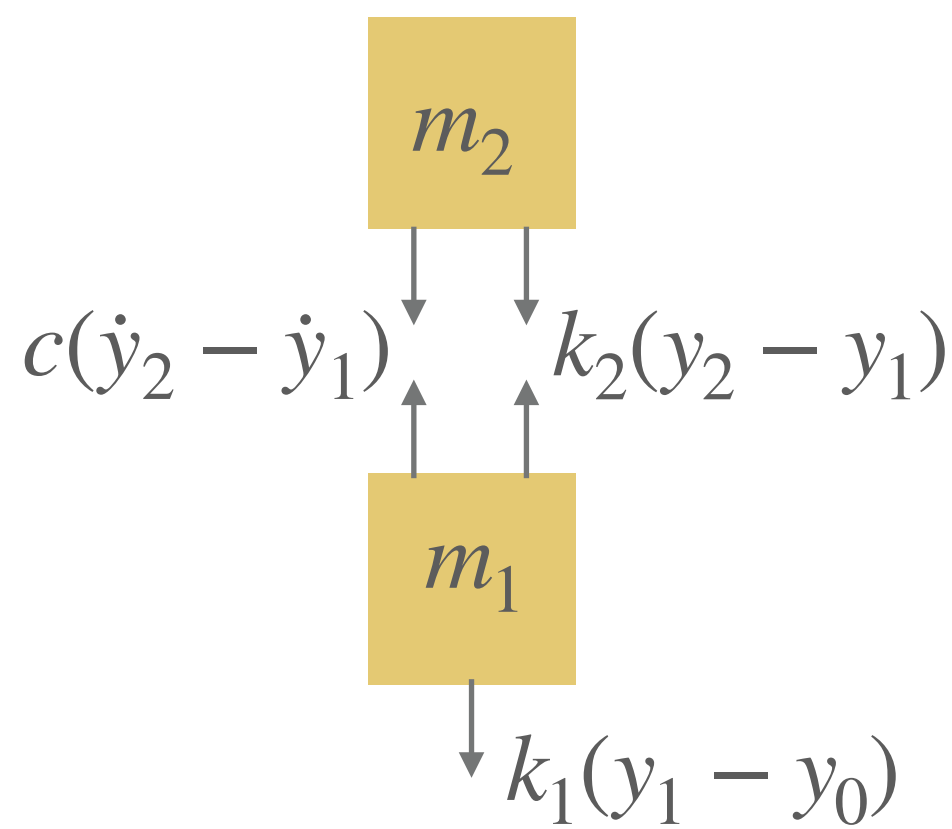
A rigidez do pneu é modelada pela mola k_1 . As massas do pneu, roda, eixo e demais peças não suspensas, são modeladas pela massa m_1 . O coeficiente de amortecimento do amortecedor viscoso e a rigidez da mola da suspensão são modelados, respectivamente, por c e k_2 . Já a massa suspensa distribuída àquele 1/4 de suspensão é modelada pela massa m_2 . Foram adotadas as coordenadas y_1 e y_2 , medidas a partir da posição de equilíbrio estático do sistema, para descreverem os movimentos das massas m_1 e m_2 , respectivamente. A coordenada y_0 servirá para descrever o movimento do solo, devido às irregularidades do terreno.



MODELANDO SISTEMAS MECÂNICOS

- **Ex_6:** Suspensão de um veículo.

- Diagrama do corpo livre:



- Aplicando 2a-lei de Newton à massa 1:

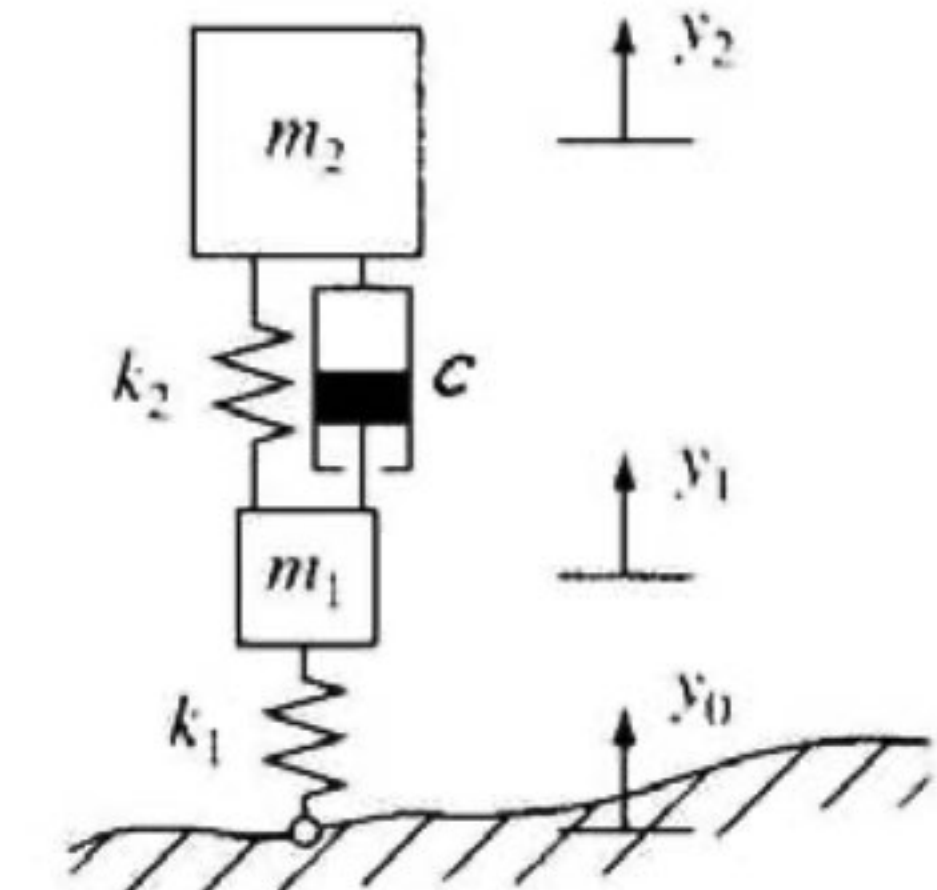
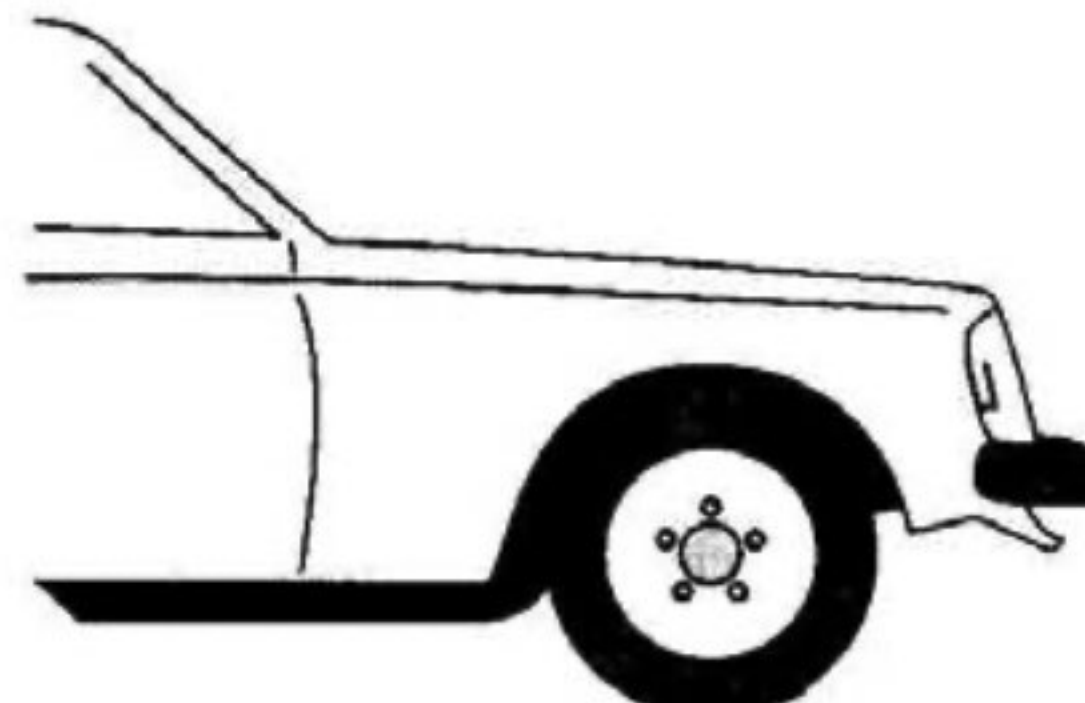
$$\sum F_{y_1} = m_1 \cdot \ddot{y}_1$$

$$-k_1(y_1 - y_0) + k_2(y_2 - y_1) + c(\dot{y}_2 - \dot{y}_1) = m_1 \ddot{y}_1$$

- Aplicando 2a-lei de Newton à massa 2:

$$\sum F_{y_2} = m_2 \cdot \ddot{y}_2$$

$$-k_2(y_2 - y_1) - c(\dot{y}_2 - \dot{y}_1) = m_2 \ddot{y}_2$$



Comentários:

A rigidez do pneu é modelada pela mola k_1 . As massas do pneu, roda, eixo e demais peças não suspensas, são modeladas pela massa m_1 . O coeficiente de amortecimento do amortecedor viscoso e a rigidez da mola da suspensão são modelados, respectivamente, por c e k_2 . Já a massa suspensa distribuída àquele 1/4 de suspensão é modelada pela massa m_2 . Foram adotadas as coordenadas y_1 e y_2 , medidas a partir da posição de equilíbrio estático do sistema, para descreverem os movimentos das massas m_1 e m_2 , respectivamente. A coordenada y_0 servirá para descrever o movimento do solo, devido às irregularidades do terreno.

MODELANDO SISTEMAS MECÂNICOS

- **Ex_6:** Suspensão de um veículo.
- Aplicando 2a-lei de Newton à massa 1:

$$\sum F_{y_1} = m_1 \cdot \ddot{y}_1$$

$$-k_1(y_1 - y_0) + k_2(y_2 - y_1) + c(\dot{y}_2 - \dot{y}_1) = m_1 \ddot{y}_1$$

- Aplicando 2a-lei de Newton à massa 2:

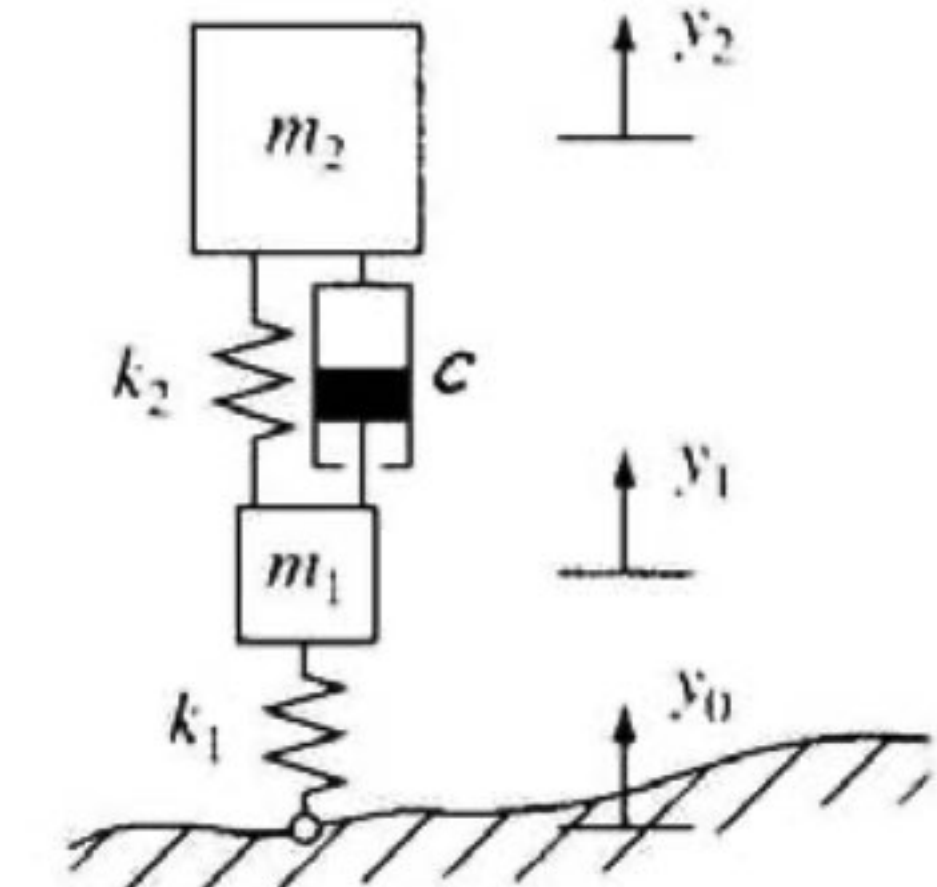
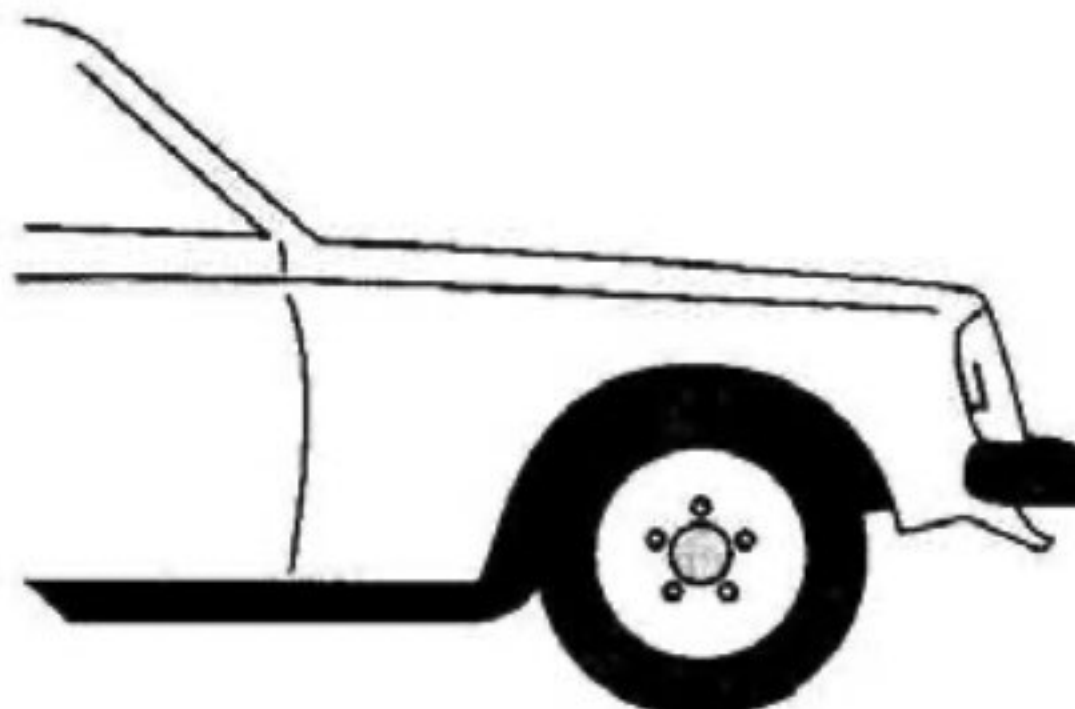
$$\sum F_{y_2} = m_2 \cdot \ddot{y}_2$$

$$-k_2(y_2 - y_1) - c(\dot{y}_2 - \dot{y}_1) = m_2 \ddot{y}_2$$

- Juntando as equações (formando um sistema de equações):

$$m_1 \ddot{y}_1 + c \dot{y}_1 - c \dot{y}_2 + (k_1 + k_2)y_1 - k_2 y_2 = k_1 y_0$$

$$m_2 \ddot{y}_2 - c \dot{y}_1 + c \dot{y}_2 - k_2 y_1 + k_2 y_2 = 0$$



Comentários:

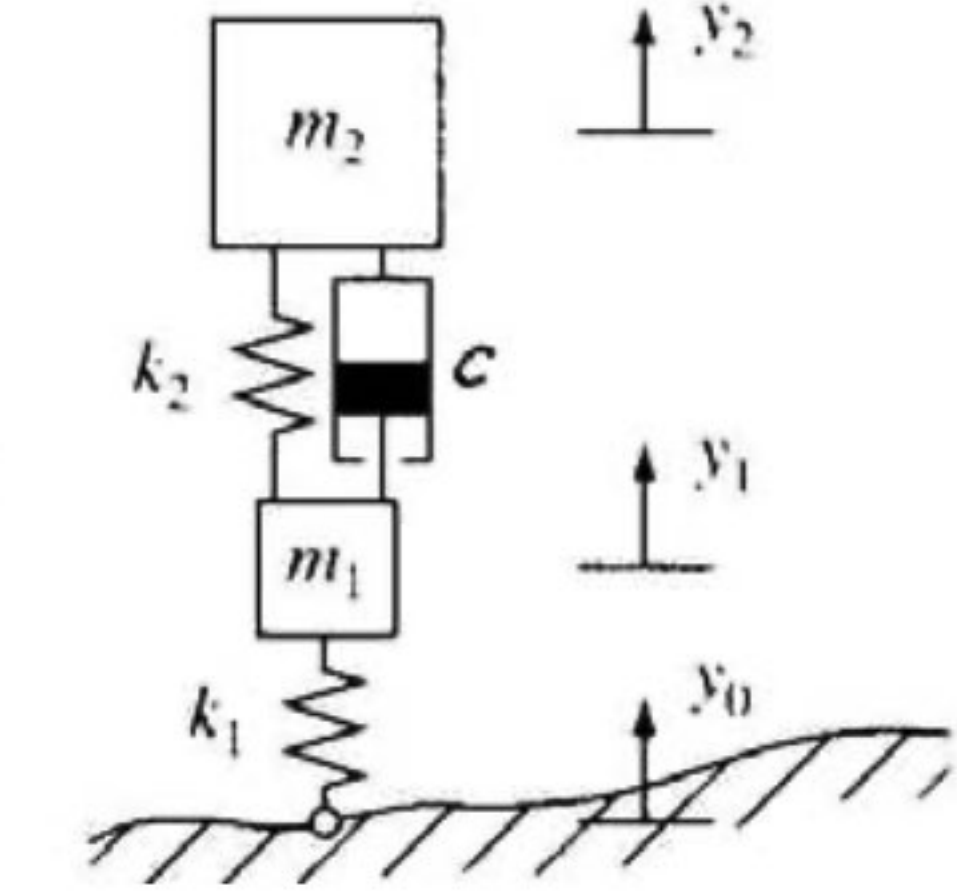
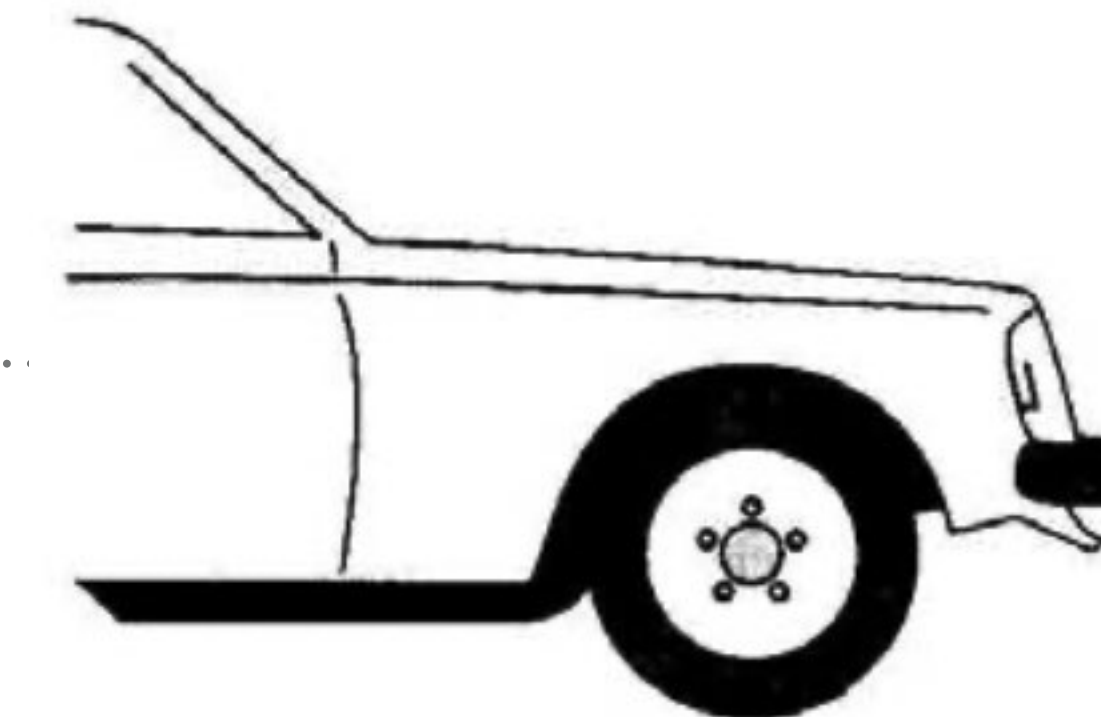
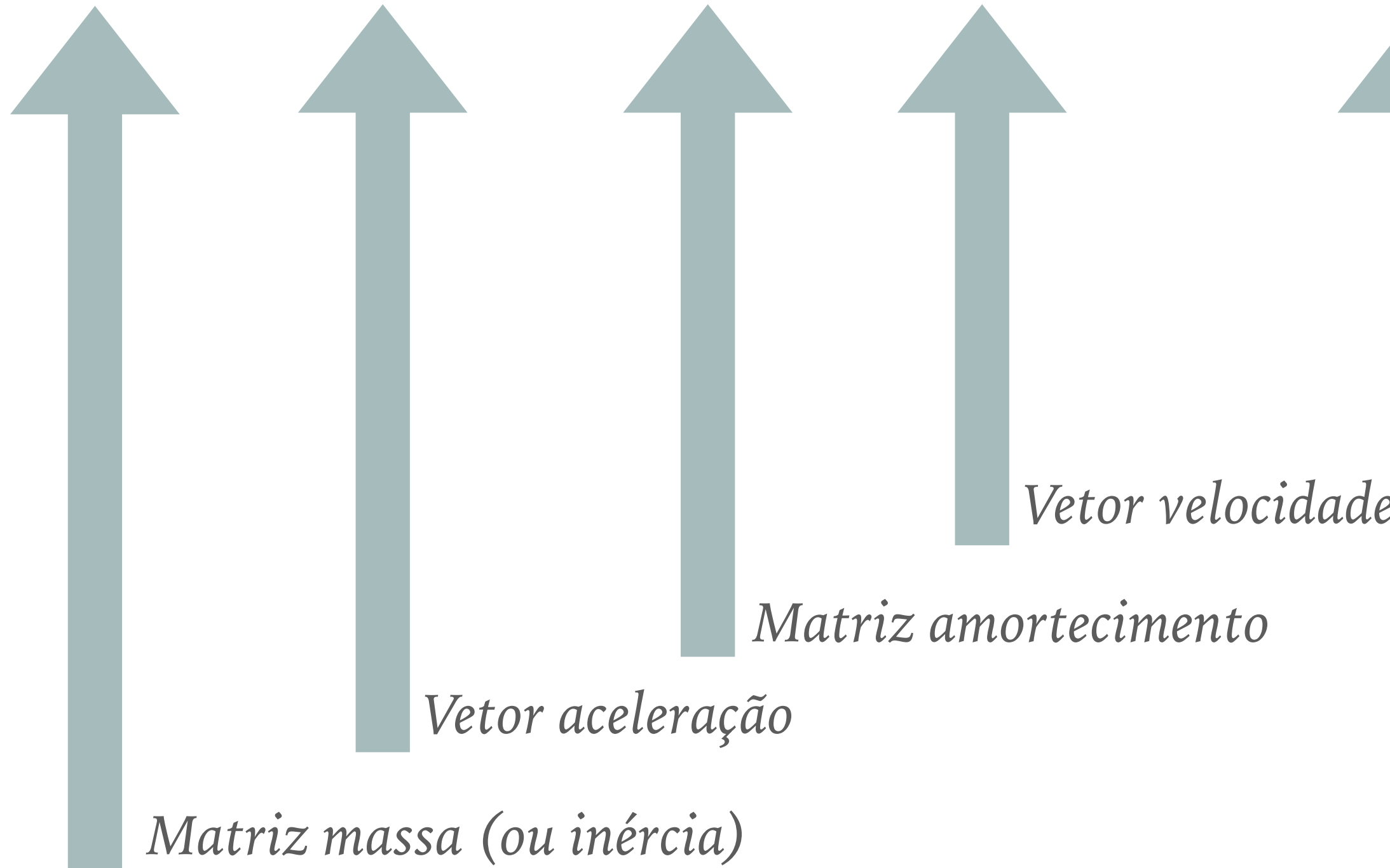
A rigidez do pneu é modelada pela mola k_1 . As massas do pneu, roda, eixo e demais peças não suspensas, são modeladas pela massa m_1 . O coeficiente de amortecimento do amortecedor viscoso e a rigidez da mola da suspensão são modelados, respectivamente, por c e k_2 . Já a massa suspensa distribuída àquele 1/4 de suspensão é modelada pela massa m_2 . Foram adotadas as coordenadas y_1 e y_2 , medidas a partir da posição de equilíbrio estático do sistema, para descreverem os movimentos das massas m_1 e m_2 , respectivamente. A coordenada y_0 servirá para descrever o movimento do solo, devido às irregularidades do terreno.

$$\begin{bmatrix} m_1 & 0 \\ 0 & m_2 \end{bmatrix} \cdot \begin{bmatrix} \ddot{y}_1 \\ \ddot{y}_2 \end{bmatrix} + \begin{bmatrix} c & -c \\ -c & c \end{bmatrix} \cdot \begin{bmatrix} \dot{y}_1 \\ \dot{y}_2 \end{bmatrix} + \begin{bmatrix} (k_1 + k_2) & -k_2 \\ -k_2 & k_2 \end{bmatrix} \cdot \begin{bmatrix} y_1 \\ y_2 \end{bmatrix} = k_1 \cdot \begin{bmatrix} y_1 \\ 0 \end{bmatrix}$$

MODELANDO SISTEMAS MECÂNICOS

► Ex 6: Suspensão de um veículo:

$$\begin{bmatrix} m_1 & 0 \\ 0 & m_2 \end{bmatrix} \cdot \begin{bmatrix} \ddot{y}_1 \\ \ddot{y}_2 \end{bmatrix} + \begin{bmatrix} c & -c \\ -c & c \end{bmatrix} \cdot \begin{bmatrix} \dot{y}_1 \\ \dot{y}_2 \end{bmatrix} + \begin{bmatrix} (k_1 + k_2) & -k_2 \\ -k_2 & k_2 \end{bmatrix} \cdot \begin{bmatrix} y_1 \\ y_2 \end{bmatrix} = k_1 \cdot \begin{bmatrix} y_1 \\ 0 \end{bmatrix}$$



Vetor velocidade

Matriz amortecimento

Matriz massa (ou inércia)

Matriz rigidez

Vetor deslocamento (saída)

Vetor excitação (entrada)

Comentários:

A rigidez do pneu é modelada pela mola k_1 . As massas do pneu, roda, eixo e demais peças não suspensas, são modeladas pela massa m_1 . O coeficiente de amortecimento do amortecedor viscoso e a rigidez da mola da suspensão são modelados, respectivamente, por c e k_2 . Já a massa suspensa distribuída àquele 1/4 de suspensão é modelada pela massa m_2 . Foram adotadas as coordenadas y_1 e y_2 , medidas a partir da posição de equilíbrio estático do sistema, para descreverem os movimentos das massas m_1 e m_2 , respectivamente. A coordenada y_0 servirá para descrever o movimento do solo, devido às irregularidades do terreno.

MODELANDO SISTEMAS MECÂNICOS

Sistemas Rotativos:

- Para determinar a relação entre o torque e deslocamento para um sistema deste tipo, devemos considerar um bloco de massa rotacional e os torques agindo sobre esta massa.
- Quando vários torques agem sobre um corpo simultaneamente, sua resultante equivalente simples pode ser determinada somando-se, em cada direção, os torques em questão.
- Num sistema envolvendo torque sendo gerado para girar uma massa na extremidade de um eixo (figura (a)) pode ser representado pelo bloco rotacional mostrado na figura (b). O que dá origem à equações como:

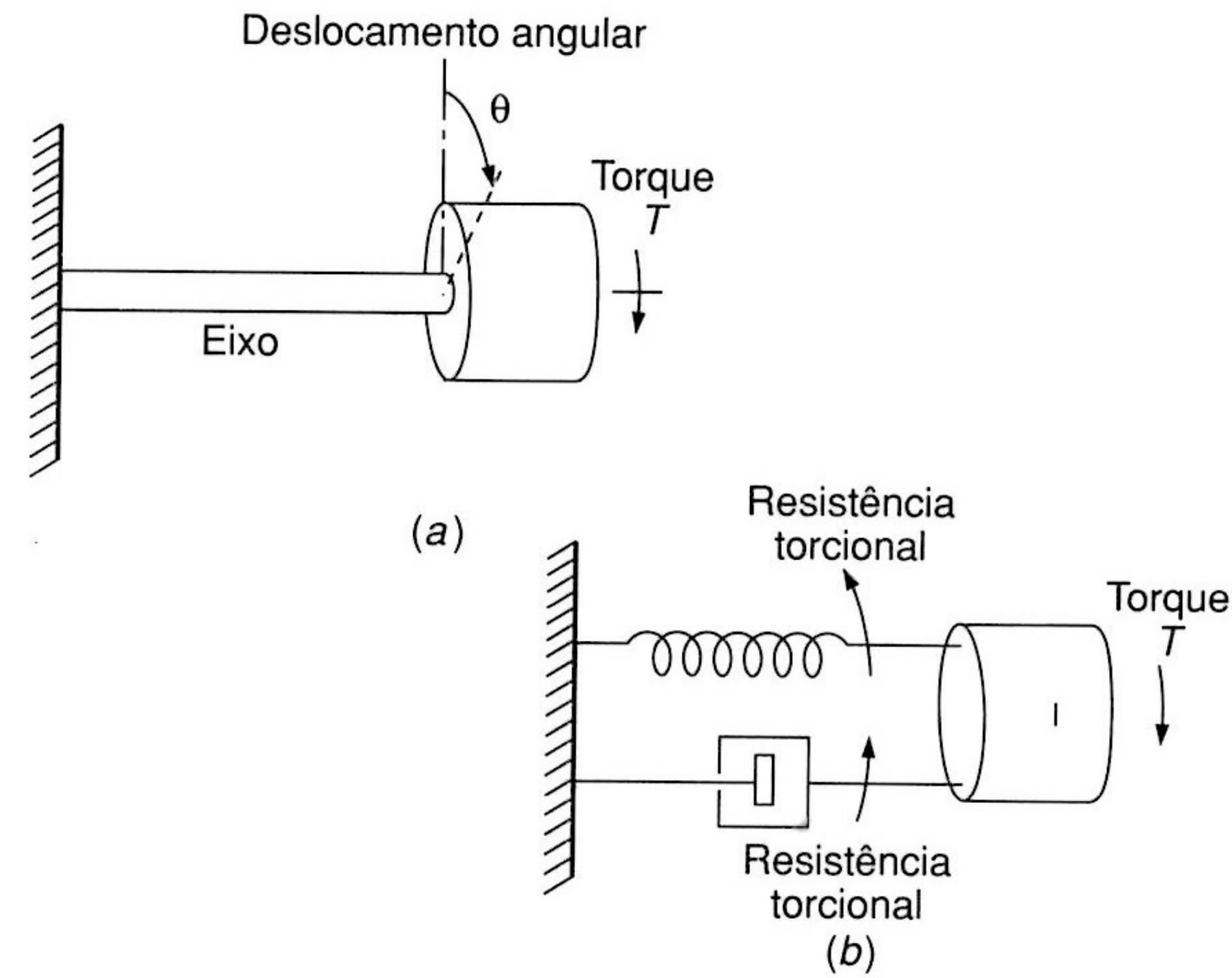
$$I \frac{d^2\theta}{dt^2} + c \frac{d\theta}{dt} + k\theta = T$$

$$\frac{1}{\omega_n^2} \frac{d^2\theta}{dt^2} + \frac{2\zeta}{\omega_n} \frac{d\theta}{dt} + \theta = \frac{T}{k}$$

onde ω_n = frequência natural de oscilação angular e ζ = fator amortecimento para o movimento angular:

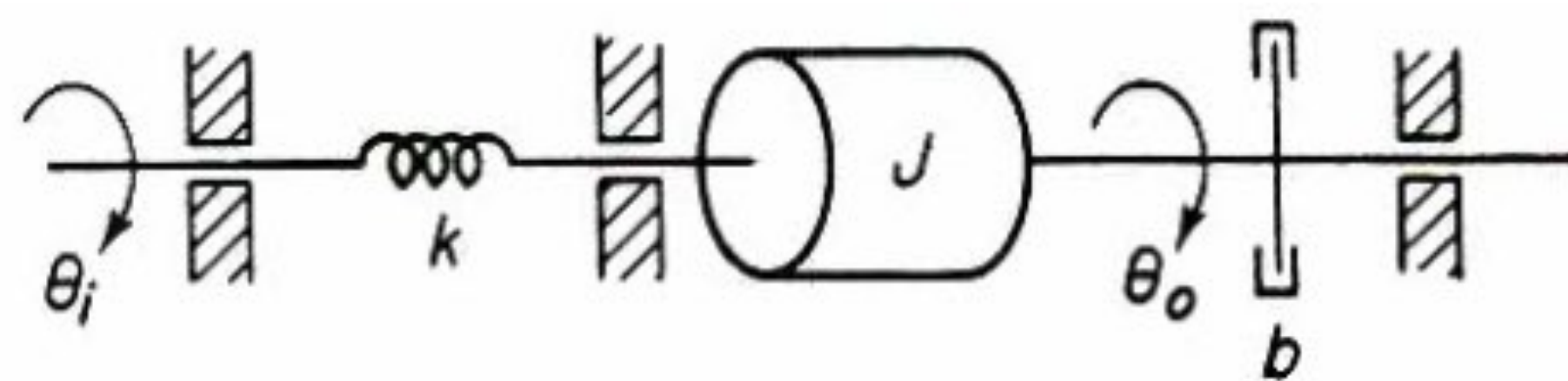
$$\omega_n = \sqrt{(k/I)}$$

$$\zeta = \frac{c}{2\sqrt{(Ik)}}$$

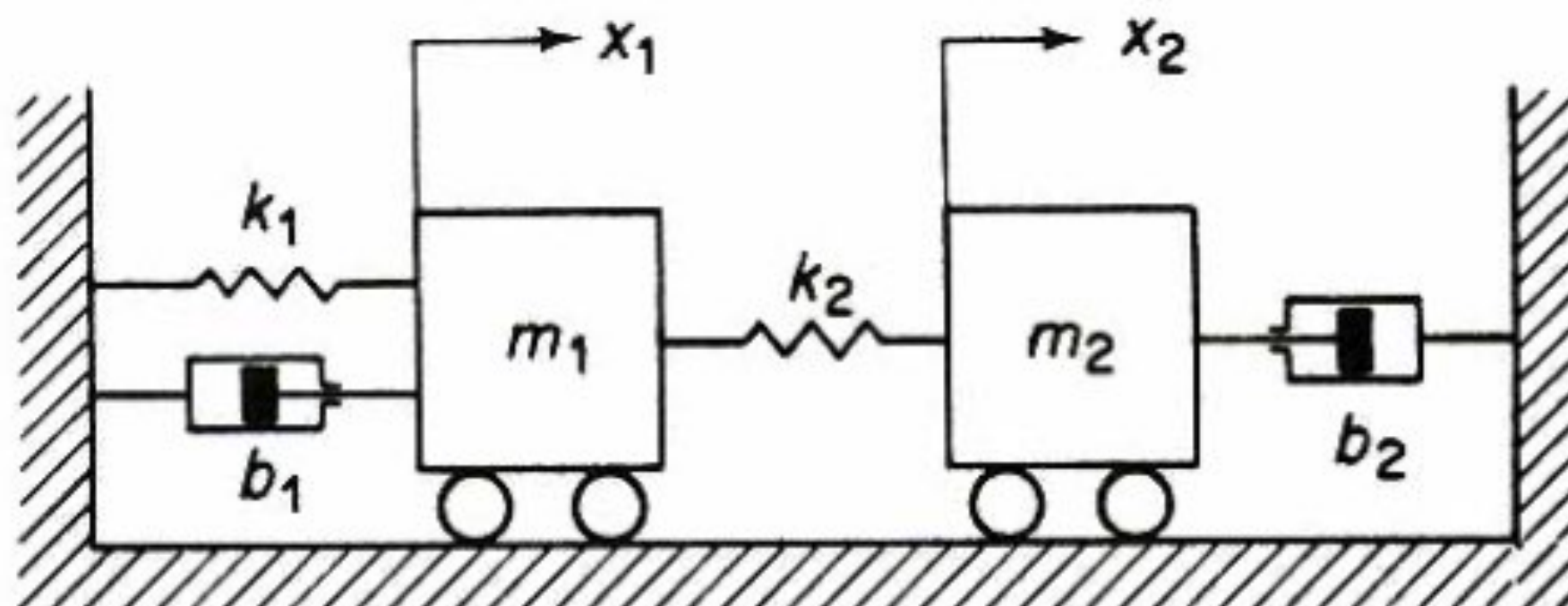


EXEMPLOS:

- Modelar os sistemas abaixo (encontrar suas equações diferenciais):



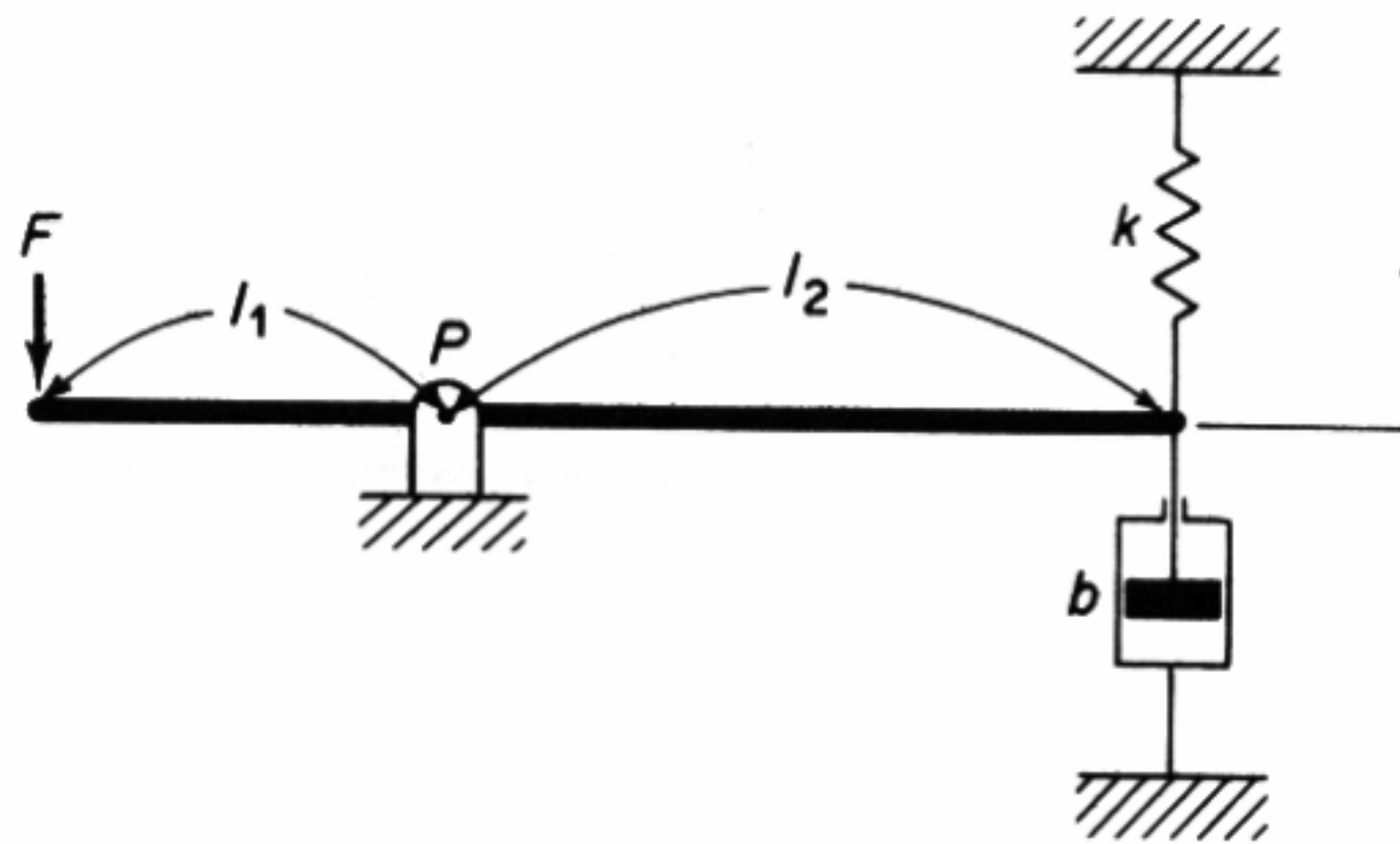
$$J\ddot{\theta}_o + b\dot{\theta}_o + k\theta = k\theta_i$$



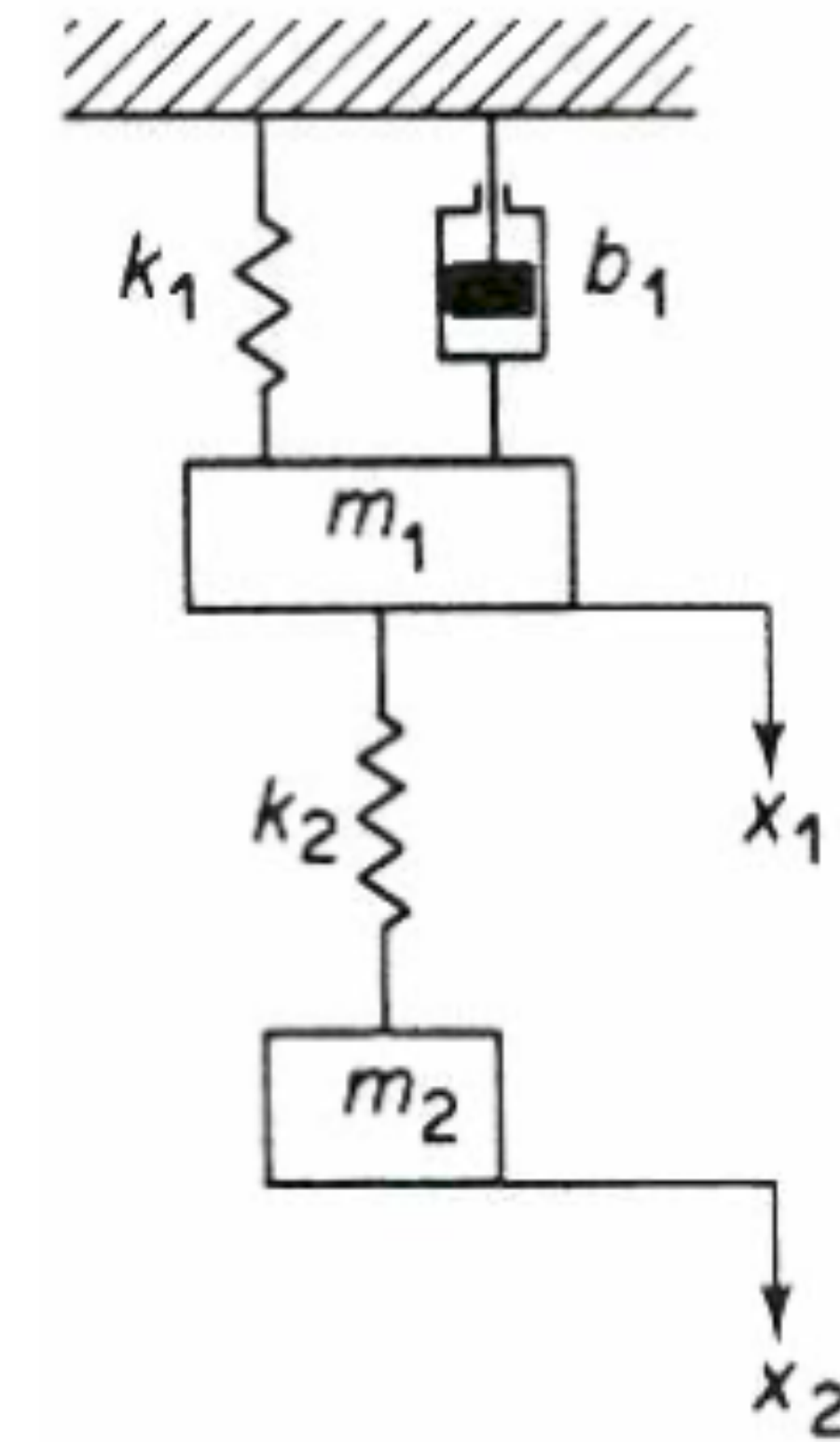
$$\begin{aligned} m_1.\ddot{x}_1 + b_1.\dot{x}_1 + (k_1 + k_2).x_1 &= k_2.x_2 \\ m_2.\ddot{x}_2 + b_2.\dot{x}_2 + k_2.x_2 &= k_2.x_1 \end{aligned}$$

EXEMPLOS:

- Modelar os sistemas abaixo (encontrar suas equações diferenciais):



$$F \cdot \frac{l_1}{l_2} = b \dot{x} + kx$$



$$\begin{aligned}m_1 \ddot{x}_1 + b_1 \dot{x}_1 + (k_1 + k_2)x_1 &= k_2 x_2 \\m_2 \ddot{x}_2 + k_2 x_2 &= k_2 x_1\end{aligned}$$